

2 ej  
29



**UNIVERSIDAD NACIONAL AUTÓNOMA DE MÉXICO**

**FACULTAD DE CIENCIAS**

**ESPACIOS FIBRADOS DE  
SEIFERT.**

**T E S I S**

**QUE PARA OBTENER EL TÍTULO DE:**

**M A T E M Á T I C O**

**P R E S E N T A :**

**VICTOR MANUEL NUÑEZ HERNANDEZ**

**MEXICO, D. F.**

**1986**



## **UNAM – Dirección General de Bibliotecas Tesis Digitales Restricciones de uso**

### **DERECHOS RESERVADOS © PROHIBIDA SU REPRODUCCIÓN TOTAL O PARCIAL**

Todo el material contenido en esta tesis está protegido por la Ley Federal del Derecho de Autor (LFDA) de los Estados Unidos Mexicanos (México).

El uso de imágenes, fragmentos de videos, y demás material que sea objeto de protección de los derechos de autor, será exclusivamente para fines educativos e informativos y deberá citar la fuente donde la obtuvo mencionando el autor o autores. Cualquier uso distinto como el lucro, reproducción, edición o modificación, será perseguido y sancionado por el respectivo titular de los Derechos de Autor.

# Introducción

Las variedades de Seifert (espacios fibrados) constituyen uno de los ejemplos más importantes de 3-variedades.

Definiremos "espacio fibroso" en términos topológicos y después de establecer algunas propiedades de los espacios fibrados, determinaremos para un espacio fibrado dado  $F$ , un sistema de invariantes que es completo, en el sentido de que si  $F'$  tiene el mismo sistema de invariantes que  $F$ , entonces  $F$  y  $F'$  son homeomorfos bajo

Un homeomorfismo que preserve fibras (§1-§8).

Se debe notar que el caso orientable es esencialmente distinto del caso no orientable, porque, en el primer caso, los invariantes dependen de una orientación dada al espacio fibrado.

Obtendremos propiedades de algunos espacios cubrientes de espacios fibrados (§9) y calcularemos el grupo fundamental de un espacio fibrado dado a partir de un sistema de invariantes (§10).

Aplicaremos estos resultados

para obtener propiedades de ciertos casos concretos (§11-§13).

Finalmente, encontraremos ejemplos de 3-variedades que no admiten fibración.

## CONTENIDO

1. Espacios fibrados	1
2. Superficie de órbitas	20
3. Ejemplos de espacios fibrados	38
4. Remoción y sellado (cirugía)	56
5. Clases de espacios fibrados.	79
6. Determinación de las clases	101
7. Los espacios fibrados orientables	118
8. Los espacios fibrados no orientables	133

9. Espacios cubrientes	146
10. Grupo fundamental	164
11. Fibraciones de $S^3$ (lista completa)	175
12. Espacios de Poincaré fibrados	179
13. Construcción de es- pacios de Poincaré a partir de nodos toroidales	188
14. Espacios que no pue- den fibrase	194



# 1. Espacios Fibrados.

Def. Un toro sólido fibrado  $V$  se obtiene de un cilindro fibrado  $D^2 \times I$ , donde las fibras son las rectas  $\{x\} \times I$ ,  $x \in D^2$ , rotando a  $D^2 \times \{1\}$  (pero dejando fijo a  $D^2 \times \{0\}$ ) un ángulo de:

$$2\pi\left(\frac{\nu}{\mu}\right)$$

e identificando a  $D^2 \times \{0\}$  con  $D^2 \times \{1\}$  (i.e.,  $(x, 0)$  se identifica con  $(p(x), 1)$ , donde  $p$  es la rotación).  $\nu$  y  $\mu$  son enteros,  $(\nu, \mu) = 1$  y se llaman los números de definición del toro sólido fibrado  $V$ .

Esta identificación es equivalente a

$$\begin{aligned} D^2 \times I &\longrightarrow D^2 \times S^1 \\ (te^{i\theta}, s) &\longmapsto \left(t e^{i\left(\theta + s \frac{\nu - \mu}{\mu} \theta\right)}, e^{2\pi i s}\right) \end{aligned}$$

Observación Si  $v$  se reemplaza por  $v + k\mu$  o por  $-v$ , entonces el nuevo toro sólido fibrado se puede mapear en el original mediante un homeomorfismo que preserva fibras.

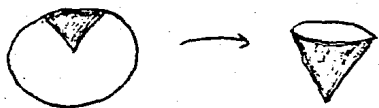
Por tanto, sin perder generalidad,  $\mu > 0$  y  $0 \leq v \leq \frac{1}{2}\mu$ .

Al hacer la identificación en el cilindro  $\mathbb{D}^2 \times I$  para obtener el toro sólido, las fibras de  $\mathbb{D}^2 \times I$  se descomponen en clases, de tal manera que cada clase contiene exactamente  $\mu$  fibras (de  $\mathbb{D}^2 \times I$ ) que se unen para convertirse en una sola fibra en el toro

sólido, a excepción de la clase que contiene al eje de  $D^2 \times I$  que consiste del eje solamente y que se convierte también en una fibra.

Si  $\mu=1$ , el toro sólido se llama un toro sólido ordinario

Observación Si en un toro sólido fibrado  $V$  con números característicos  $\mu$  y  $\nu$ , identificamos cada fibra en un punto, el espacio de identificación es homeomorfo a un disco que es un sector de un disco meridional de  $V$  de ángulo  $2\pi/\nu$  cuyos radios frontera se identifican.



Luego, para cada toro sólido fibrado, tenemos asociada

una identificación  $\pi: V \rightarrow D^2$ , tal que  $\pi(\text{la fibra central}) = 0$

Def. Un espacio fibrado de Seifert  $M$ , es una 3-variedad conexa y sin frontera tal que

(1) Existe una 2-variedad  $B$  (la superficie de órbitas de  $M$ ) y una función continua y su proyección  $\eta: M \rightarrow B$  tal que para cada  $x \in B$ ,  $\eta^{-1}(x)$  es una curva simple cerrada.

Las curvas  $\eta^{-1}(x)$  para  $x \in B$  se llaman las fibras de  $M$ .

(2) Para cada  $x \in B$ , existe una vecindad  $U \in \mathcal{N}_x$  tal que  $\eta^{-1}U$  es una vecindad fibrada de  $\eta^{-1}(x)$ ; es decir, es una vecindad tal que existen homeomorfismos  $\varphi: \eta^{-1}U \rightarrow V$ ,  $\bar{\varphi}: U \rightarrow D^2$

tales que  $\eta^{-1}U \xrightarrow{\varphi} V$  conmuta y  $\bar{\varphi}(x) = 0$ ,

$$\begin{array}{ccc} \eta^{-1}U & \xrightarrow{\varphi} & V \\ \eta \downarrow & & \downarrow \pi \\ U & \xrightarrow{\bar{\varphi}} & D^2 \end{array}$$

donde  $V \xrightarrow{\pi} D^2$  es un toro sólido fibrado.

Notación técnica  $(S', 1) = (\{z \in \mathbb{C} \mid |z| = 1\}, 1)$ ,  
 $(T, x_0) := (S', 1) \times (S', 1)$ ,  $\lambda(t) := (e^{2\pi i t}, 1)$ ,  
 $\mu(t) := (1, e^{2\pi i t})$ ;  $\ell := [\lambda]$ ,  $m = [\mu]$  en  
 $\pi_1(T, x_0)$ .

Lema  $p\ell + qm \in \pi_1(T)$  está representado por una curva simple cerrada si y solo si  $(p, q) = 1$ .

Dem. Si  $(p, q) = 1$ ,

$$\downarrow \text{ef } w: \mathbb{I} \rightarrow T \\ t \mapsto (e^{2p\pi i t}, e^{2q\pi i t})$$

por tanto  $w$  es simple cerrada  
 y  $[\omega] = p\ell + qm$  en  $\pi_1(T)$ .

Supongamos que  $w: (I, \partial I) \rightarrow (T, \partial T)$  es simple cerrada y  $[w] \neq 0$ .

Cortando a  $T$  a lo largo de  $w$ , obtenemos un anillo; como cortando  $T$  a lo largo de  $\lambda$  también obtenemos un anillo, por tanto existe un homeomorfismo  $h: T \rightarrow T$  tal que  $h\lambda = w$ .

Como existen enteros  $p, q, r, s$  tales que  $h_*(\lambda) = [w] = p\ell + qm$  y  $h_*(m) = r\ell + sm$  y como  $h_*$  es isomorfismo, por tanto  $\det \begin{pmatrix} p & q \\ r & s \end{pmatrix} = \pm 1$ , i.e.,  $(p, q) = 1$ .  $\square$

Corolario Una pareja  $p\ell + qm$  de elementos no triviales de  $\pi_1(T)$  está representada por una pareja de trayectorias simples cerradas que se intersectan transversalmente en un solo punto si y solo si  $\det \begin{pmatrix} p & q \\ r & s \end{pmatrix} = \pm 1$ .

Dem. Si  $\det \begin{pmatrix} p & q \\ r & s \end{pmatrix} = \pm 1$ , definimos

$$w: I \rightarrow T \\ t \mapsto (e^{2p\pi i t}, e^{2q\pi i t})$$

$$p: I \rightarrow T \\ t \mapsto (e^{2r\pi i t}, e^{2s\pi i t}).$$

Entonces  $w$  y  $p$  son simples cerradas, se intersectan exactamente en un punto transversalmente y  $[w] = pl + qm$ ,  $[p] = rl + sm$ .

Si  $w, p: (I, \partial I) \rightarrow (T, x_0)$  son simples, se intersectan transversalmente

en un solo punto y  $[w] = pl + qm$  y

$[p] = rl + sm$ , entonces existe un

homeomorfismo  $h: T \rightarrow T$  tal que

$h(\lambda) = w$  y  $h(m) = p$ . Como  $h$  es

un isomorfismo, por tanto  $\det \begin{pmatrix} p & q \\ r & s \end{pmatrix} = \pm 1$ .

□



En particular se tiene que dos curvas en  $T$  se intersectan transversalmente en un punto si y solo si sus clases generan a  $\pi_1(T)$

Def. Un meridiano  $M$  de un toro sólido  $V$  es una curva simple orientada en  $T = \partial V$ , que no es contractible en  $T$  pero sí es contractible en  $V$ .

Un homeomorfismo  $H: V \rightarrow V$  mapea un meridiano en un meridiano. Porque si  $h: T \rightarrow T$  es la restricción de  $H$  a  $T = \partial V$ , entonces  $h$  es un homeomorfismo y el diagrama

$$\begin{array}{ccc} T & \xrightarrow{h} & T \\ i \downarrow & & \downarrow i \\ V & \xrightarrow{H} & V \end{array}$$

conmuta, donde  $i: T \hookrightarrow V$  es la inclusión.

Por tanto el diagrama

$$\begin{array}{ccc} \pi_1(T) & \xrightarrow{h_{\#}} & \pi_1(T) \\ i_{\#} \downarrow & & \downarrow i_{\#} \\ \pi_1(V) & \xrightarrow{H_{\#}} & \pi_1(V) \end{array}$$

conmuta. Si  $\{a, m\}$  genera a  $\pi_1(T)$ , donde  $m$  es un meridiano, entonces  $i_{\#}(pa + qm) = pa$  para  $p, q \in \mathbb{Z}$ ; si  $h_{\#}(a) = pa + qm$  y  $h_{\#}(m) = ra + sm$  con  $p, q, r, s \in \mathbb{Z}$ , entonces como  $h_{\#}$  es isomorfismo, portanto  $\det \begin{pmatrix} p & q \\ r & s \end{pmatrix} = \pm 1$ ;  $i_{\#}h_{\#}(m) = ra$  y  $H_{\#}i_{\#}(m) = H_{\#}(0) = 0$ , por tanto  $ra = 0$ , luego  $ps = \pm 1$  y por tanto  $s = \pm 1$  porque  $ps - qr = \pm 1$ ; luego  $h_{\#}(m) = \pm m$ . Por tanto, si  $\mu$  es un meridiano, entonces  $h(\mu)$  es un meridiano, luego  $H(\mu)$  es un meridiano

El recíproco también es cierto:

un homeomorfismo  $h: T \rightarrow T$  se puede extender a  $H: V \rightarrow V$ , si  $h$  mapea un meridiano en un meridiano.

Una versión más débil de esta afirmación se prueba en el lema 6.

Si no se toma en cuenta la orientación, un meridiano se puede mapear a cualquier otro meridiano bajo una deformación (un homeomorfismo isotópico a la identidad) de  $T$ ).

Def. Una longitud  $B$  del toro sólido es una curva simple cerrada sobre  $T$  que intersecciona a  $M$  en exactamente un punto y no es contraíble en  $V$ .

La longitud  $B$  está determinada (módulo deformaciones de  $T$ ) por su orientación y múltiplos de  $M$ , es decir, si  $B'$  es otra longitud, entonces  $B' \sim \pm B + kM$  sobre  $\mathbb{Z}$  p.a.  $\mathbb{Z}$



El signo " $\sim$ " denota "homólogo".

En adelante, escribiremos relaciones en el primer grupo de homología aditivamente y relaciones en el grupo fundamental multiplicativamente.

Cualquier pareja meridianos, longitud se puede mapear en cualquier otra pareja meridianos, longitud mediante un homeomorfismo del toro sólido en si mismo.

Sin embargo no siempre una longitud se puede mapear en otra longitud bajo una deformación continua de  $T$ .

El homeomorfismo del toro sólido que envía a una longitud en otra que no es homologa sobre  $T$  no se puede obtener por una deformación de la identidad.

Sea  $A$  una fibra orientada del toro sólido fibrado  $V$  contenida en  $T$ ,  $M$  un meridianos y  $B$  una longitud; si  $A', M', B'$  es

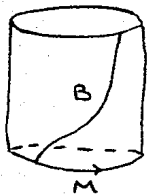
otro sistema similar, entonces:

$$\left. \begin{array}{l} (1) \quad H \sim \varepsilon_1 H' \\ (2) \quad M \sim \varepsilon_2 M' \\ (3) \quad B \sim \varepsilon_3 B' + \alpha M' \end{array} \right\} \text{ sobre } T$$

donde  $\varepsilon_i = \pm 1$ ,  $\alpha \in \mathbb{Z}$ .

Proposición Dos toros sólidos fibradados son homeomorfos bajo un homeomorfismo que preserva fibras si y solo si tienen los mismos números de definición.

Dem.



Eligiendo a  $B$  adecuadamente (la trayectoria más corta en  $\partial D^2 \times I$  de un punto  $x \in \partial D^2 \times \{0\}$  a su equivalente en  $\partial D^2 \times \{1\}$ ) como en la figura) y orientando

a  $M$  y a  $H$  adecuadamente, se tiene

$$H \sim \nu M + \mu B \quad (\text{sobre } T)$$

Lo que significa precisamente que  $\nu$  y  $\mu$  son los números de definición de  $V$ . Sean  $H', M', B'$  otro sistema de curvas fibra, meridiano y longitud respectivamente, entonces

$$H' \sim \nu M' + \mu B' \quad \text{sobre } T$$

Porque  $M'$  y  $B'$  es un sistema fundamental sobre  $T$  (i.e., sus clases generan a  $H_1(T)$ ) y además  $(\mu, \nu) = 1$  porque  $H'$  es simple cerrada y  $\mu \neq 0$  porque  $H'$  no es homologa a un meridiano. Usando las formulas (1), (2) y (3):

$$\begin{aligned} e_1 H' &\sim H \sim \nu M + \mu B \sim \\ &\sim \nu (e_2 M') + \mu (e_3 B' + \alpha M') \sim \\ &\sim (e_2 \nu + \mu \alpha) M' + (e_3 \mu) B' \end{aligned}$$

Sobre  $T$

$$\text{y } e_1 H' \sim e_1 \nu M' + \mu B'$$

$$\text{Por tanto } e_1 ((e_2 \nu + \mu \alpha) M' + e_3 \mu B') \sim \nu M' + \mu B'$$

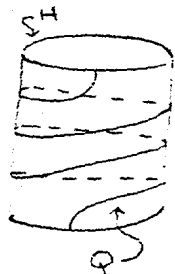
Comparando coeficientes,  $|\mu| = |\mu|$ ; como  $\mu > 0$ ,  $\therefore \mu = |\mu|$

y  $\nu$  es igual a  $|\mu|$  dividido modulo  $m (= \mu)$  a un número en el intervalo  $[-\frac{1}{2}m, \frac{1}{2}m]$ .

Por tanto los números  $\mu$  y  $\nu$  son los característicos del toro sólido fibrado.

Def. Una curva cruzada (Querkreis)

$Q$  en  $V$  es una curva simple cerrada sobre  $T$  que intersecta a cada fibra de  $T$  en exactamente un punto.



Por tanto una curva cruzada está determinada por la fibration de  $T$  (salvo deformaciones, orientación y múltiplos de la fibra), es decir, si  $Q$  y  $Q'$  son curvas cru-

zadas, entonces

$$(H) \quad Q \sim xH + yQ' \quad (\text{sobre } T)$$

Esto es porque  $\{H, Q\}$  y  $\{H, Q'\}$  son sistemas fundamentales, luego el determinante de la transformación que manda a (las clases de)  $H$



en  $H'$  y a  $Q$  en  $Q'$  es  $\pm 1$ ; como  $Q \sim rQ' + yH$  sobre  $T$ , por tanto la transformación está representada por  $\begin{pmatrix} 0 & r \\ 1 & y \end{pmatrix}$ , por tanto  $r = \epsilon_4 = \pm 1$ .

La frontera de un toro sólido fibrado es un toro fibrado, por tanto las fronteras de dos toros sólidos se pueden mapear una en la otra mediante un homeomorfismo que preserva fibras.

Si  $T_1$  y  $T_2$  son los dos toros fibrados,  $H_1$  una fibra de  $T_1$  y  $H_2$  una fibra de  $T_2$ , entonces cortando a  $T_i$  a lo largo de  $H_i$  ( $i=1,2$ ), obtenemos dos cilindros  $C_1$  y  $C_2$ , porque  $H_i \times I$  sobre  $T_i$ .

En los cilindros  $C_1$  y  $C_2$ , cada curva meridiana es una fibra de  $T_1$  y de  $T_2$  respectivamente. El homeomorfismo está dado mapeando  $C_1$  sobre  $C_2$ , manteniendo curvas meridiana en curvas meridiana.

Proposición. Un toro solido fibrado está determinado por la fibrición de su toro frontera si sobre este toro se elige alguna curva simple cerrada  $M$  distinguida como meridiano ( $M$  no debe ser trivial sobre  $T$  ni homóloga a una fibra).

Dem.

Si orientamos a una fibra  $H$  en  $T$  y elegimos una curva cruzada  $Q$ , entonces  $M$  se puede expresar como

$$M \sim \alpha Q + \beta H \text{ sobre } T \quad (\alpha \neq 0, (\alpha, \beta) = 1).$$

(Podemos elegir, a priori a  $\alpha$  y  $\beta$  de

tal manera que  $0 \leq \beta < \alpha$ , porque si

$H'$  y  $Q'$  son otra fibra y otra curva  
cruzada respec., entonces

$$H \sim \epsilon_1 H', \quad Q \sim \epsilon_4 Q' + \gamma H' \text{ sobre } T$$

Luego

$$M \sim \alpha Q + \beta H \sim$$

$$\sim \alpha \epsilon_4 Q' + (\alpha \gamma + \epsilon_1 \beta) H' = \alpha' Q' + \beta' H'$$

Por la condición  $\alpha' > 0$ , determinamos  
a  $\epsilon_4$  y  $\beta' = \alpha \gamma + \epsilon_1 \beta$  se puede reducir  
módulo  $\alpha'$  a  $0 \leq \beta' < \alpha'$  determinando  
de manera única a  $\epsilon_1$  y a  $\gamma$ ).

$$\text{Si } B \sim pQ + \sigma H$$

es una longitud en  $T$ , podemos su-  
poner (eligiendo una orientación  
adecuada para  $B$ ) que

$$\det \begin{pmatrix} \alpha & \beta \\ p & \sigma \end{pmatrix} = 1.$$

Por tanto

$$\begin{aligned} H &\sim \alpha \gamma H - \beta B H \sim \\ &\sim -\rho M + \rho \alpha Q + \alpha B - \alpha \rho Q \sim \\ &\sim \alpha B - \rho M \end{aligned}$$

Como en la proposición anterior, se sigue que los números de definición  $\mu$  y  $\nu$  se determinan de manera única de esta última ecuación:

$$\mu = |\alpha|, \quad \nu = |\rho| \text{ reducido mod } (\alpha) \text{ al intervalo } \left[-\frac{1}{2}\alpha, \frac{1}{2}\alpha\right].$$

Es decir, el toro sólido fibrado está determinado de manera única por la fibration de su frontera y por  $M$  (por tanto por  $\alpha$  y  $\beta$ ) debido a la proposición anterior.  $\square$

## 2. Superficie de Órbitas

Proposición. Si  $f$  es la superficie de órbitas de un espacio fibrado  $F$ , entonces

- (1) la proyección  $\eta: F \rightarrow f$  es una identificación
- (2)  $f$  es una 2-variedad cerrada o abierta si  $F$  es cerrada o abierta.
- (3)  $f$  es conexa.

Dem. "(1)"

Sea  $W \subset f$  tal que  $\eta^{-1}W$  es abierto de  $F$ .

Sea  $x \in W$ , como  $\eta^{-1}W$  es abierto, por tanto para cada punto  $\tilde{x} \in \eta^{-1}(x)$ , existe una vecindad abierta  $U_{\tilde{x}} \ni \tilde{x}$  tal que  $U_{\tilde{x}} \subset \eta^{-1}W$ .

Sea  $V_x$  una vecindad fibrada de  $\eta^{-1}(x)$ ;

def.  $D_{\frac{1}{2}} := \{(z, w) \in \mathbb{D}^2 \times S^1 \mid |z| \leq \frac{1}{2}\}$ ; sea

$\varphi: \mathbb{D}^2 \times S^1 \rightarrow V_x$  un homeomorfismo tal que  $\varphi(0, 0, s^1) = \eta^{-1}(x)$ , entonces existe una  $n \in \mathbb{N}$

tal que  $\varphi(D_n) \subset U_{\tilde{x}}$ . De lo contrario

elegimos para cada  $l \in \mathbb{N}$ ,  $t_l \in \varphi(D_l)$  tal que  $t_l \notin U_{\tilde{x}}$ ; como  $\mathbb{D}^2 \times S^1$  es compacto, existe un punto límite de  $\{\varphi^{-1}(t_l)\}$  en  $\mathbb{D}^2 \times S^1$ . S.P.G.  $\varphi^{-1}(t_l) \rightarrow \varphi(t)$  para alguna

$t \in V_x$ . Luego  $t \in \eta^{-1}(x)$ ; como  $t \in U\bar{x}_i$  para alguna  $\bar{x}_i \in \eta^{-1}(x)$  y  $U\bar{x}_i$  es abierto, por tanto existe  $l \in \mathbb{N}$  tal que  $t \in U\bar{x}_l$ , lo que es una contradicción.

Por tanto  $\eta(\text{int } \mathcal{D}_n) \subset W$

Supongamos que  $\eta(\text{int } \mathcal{D}_n)$  no es abierto; existe por tanto un punto  $y \in \eta(\text{int } \mathcal{D}_n)$  tal que para cada  $l \in \mathbb{N}$ , la bola  $B(y, \frac{1}{l}) \not\subset \eta(\text{int } \mathcal{D}_n)$ ; sea  $y_l \in B(y, \frac{1}{l})$  tal que  $y_l \notin \eta(\text{int } \mathcal{D}_n)$ .

Por la elección de  $\mathcal{D}_n$ , se tiene que  $\eta^{-1}(y) \subset \text{int } \mathcal{D}_n$ ; luego existe una vecindad fibrada  $V_y$  de  $\eta^{-1}(y)$  tal que  $V_y \subset \text{int } \mathcal{D}_n$ . Como  $\eta^{-1}B(y, \frac{1}{l})$  es una vecindad abierta de  $\eta^{-1}(y)$ , a partir de cierta  $l \in \mathbb{N}$ ,  $\eta^{-1}(y_l) \subset V_y$ . Por tanto  $y_l = \eta(\eta^{-1}(y_l)) \subset \eta(V_y) \subset \eta(\text{int } \mathcal{D}_n)$ , lo que es una contradicción.

Por tanto  $\eta(\text{int } \mathcal{D}_n)$  es abierto

Por tanto  $W$  es abierto

Como  $\eta$  es continua y su praxectica, por tanto  $\eta$  es una identificación.

"(2) y (3)" Inmediatos  $\square$

Corolario. Sea  $F$  un espacio fibrado.

La superficie de órbitas  $f$  de  $F$  es el espacio que resulta de identificar cada fibra de  $F$  en un punto

Convención. Al "pasar" de un espacio fibrado  $F$  a la superficie de órbitas  $f$ , "pasaremos" de letras mayúsculas a letras minúsculas, por ejemplo, a la fibra  $H$  de  $F$ , le corresponde el punto  $h \in f$ , etc.

Def. Si  $\Omega_H$  es una vecindad fibrada de la fibra  $H$ , su imagen  $\omega_h$  se llama una vecindad de órbitas del punto  $h$  que es imagen de  $H$ .

Observación. Las vecindades de órbitas son discos cerrados.



Lema. Si  $x, y \in \text{int } D^n$ , entonces existe un homeomorfismo  $h: D^n \rightarrow D^n$  isotópico a la identidad tal que  $h(x) = y$  y  $h|_{\partial D^n} = 1_{\partial D^n}$ .

Dem. Def.  $g: D^n - \partial D^n \rightarrow \mathbb{R}^n$  ; es claro que  $g$   
 $z \longmapsto \frac{z}{1-|z|}$   
 es función continua y que  $g^{-1}: \mathbb{R}^n \rightarrow D^n - \partial D^n$   
 $w \longmapsto \frac{w}{1+|w|}$

también es función continua.

Def.  $f: \mathbb{R}^n \rightarrow \mathbb{R}^n$  ,  $\therefore f$  es un homeomor-  
 $w \longmapsto w + g(y) - g(x)$

fismo y  $f \circ g(x) = g(y)$ . Además  $f$  es isotópico a la identidad mediante la isotopía:

$$H: \mathbb{R}^n \times I \rightarrow \mathbb{R}^n \quad ; \quad \text{si } H_t(w) = H(w, t), \\ (w, t) \longmapsto w + t(g(y) - g(x))$$

entonces  $g^{-1} \circ H_t \circ g: D^n - \partial D^n \rightarrow D^n - \partial D^n$  es homeomor-  
 fismo por cada  $t \in I$ .  $\therefore g^{-1} \circ f \circ g$  es isotópico a  
 la identidad y además  $g^{-1} \circ f \circ g(x) = y$ ;

$$\text{Como } \lim_{|w| \rightarrow 1} g^{-1} \circ f \circ g(w) = \lim_{|w| \rightarrow 1} \frac{\frac{w}{1-|w|} + t(g(y) - g(x))}{1 + \left| \frac{w}{1-|w|} + t(g(y) - g(x)) \right|} =$$

$$= \lim_{|w| \rightarrow 1} \frac{1-|w|}{1-|w|} \frac{\frac{w}{1-|w|} + t(g(y) - g(x))}{1 + \left| \frac{w}{1-|w|} + t(g(y) - g(x)) \right|} =$$

$$= \lim_{|w| \rightarrow 1} \frac{w + t(1-|w|)(g(y) - g(x))}{1-|w| + \left| 1-|w| \right| \left| \frac{w}{1-|w|} + t(g(y) - g(x)) \right|} =$$

$$= \lim_{|w| \rightarrow 1} \frac{w + t(1-|w|)(g(w) - g(x))}{1-|w| + |w + t(1-|w|)(g(w) - g(x))} = w$$

Por tanto  $G_t : \mathbb{D}^n \rightarrow \mathbb{D}^n$

$$\begin{array}{l} w \longmapsto w \quad \text{si } w \in \partial \mathbb{D}^n \\ w \longmapsto g^{-t} \circ f \circ g(w) \quad \text{si } w \in \mathbb{D}^n - \partial \mathbb{D}^n \end{array}$$

es un homeomorfismo para cada  $t \in I$ .

Luego  $h := G_1 : \mathbb{D}^n \rightarrow \mathbb{D}^n$  es un homeomorfismo isotópico a la identidad tal que  $h(x) = y$  y  $h|_{\partial \mathbb{D}^n} = 1_{\partial \mathbb{D}^n}$ .

Lema 1 Si  $W_h$  es una vecindad de órbitas del punto  $h \in f$  y si  $e$  es un 2-disco contenido en  $W_h$  tal que  $h \notin \partial e$ , entonces  $e$  es también una vecindad de órbitas:

- de  $h$  si  $h \in \text{inte } e$
- de cada punto interior de  $e$  si  $h \notin e$ .

Las vecindades fibradas  $E$  (res-

pectivamente  $\Omega_H$ ) preimágenes de  $e$  (respect.  $w_H$ ) son en el caso

- homeomorfas bajo un homeomorfismo que preserva fibras
- $E$  es un toro sólido ordinario.

Dem.

"(a)" Las fibras que se mapean en los puntos de  $e$  forman un conjunto fibrado  $E$  contenido en  $\Omega_H$  que contiene a la fibra  $H$  en su interior. Si pensamos en  $\Omega_H$  como en un cilindro fibrado con sus discos frontera identificados bajo una rotación, obtenemos a la vecindad de órbitas  $w_H$  de un disco meridional  $\tilde{w}_H \subset \Omega_H$  al identificar los puntos de

$\tilde{U}_n$  que son equivalentes bajo el grupo cíclico de rotaciones de orden  $n$  actuando sobre  $\tilde{U}_n$ .

Los puntos de  $\tilde{U}_n$  que se mapean en  $e$  forman un 2-disco  $\tilde{E}$  que contiene al punto central  $\tilde{h}$  de  $\tilde{U}_n$  en su interior y que se mapea en sí mismo bajo el grupo cíclico de rotaciones. El subespacio  $E$  de  $\Omega_H$  está formado de rectas paralelas al eje del cilindro  $\Omega_H$  que pasa a través de puntos de  $\tilde{E}$ .

Se mostrará que  $\tilde{E}$  se puede mapear sobre  $\tilde{U}_n$  bajo un homeomorfismo  $\tilde{\alpha}$  que deja fijo a  $\tilde{h}$  y tal que cualesquiera  $n$  puntos que son equivalentes bajo el grupo cíclico de

rotaciones se mapean de nuevo sobre  $\mu$  puntos equivalentes.

Sea  $a$  un homeomorfismo de  $e$  sobre  $W_n$  que preserva orientación.

Que  $a$  preserve orientación tiene sentido, porque como  $e$  es una

subvariedad de  $W_n$  de la misma dimensión, una orientación sobre

$W_n$  induce una orientación sobre  $e$ ; y dada una orientación

sobre  $e$ , se tiene sobre  $W_n$  una orientación determinada, a saber,

la orientación de  $W_n$  que induce sobre  $e$  la orientación dada.

Como  $e$  y  $W_h$  son 2-discos, existen homeomorfismos  $\varphi: D^2 \rightarrow W_h$  y  $\psi: e \rightarrow D^2$ ; sea  $g: D^2 \rightarrow D^2$  un homeomorfismo isotópico a la identidad tal que  $g\psi(h) = \varphi^{-1}(h)$ , por tanto  $\varphi^{-1}g\psi: e \rightarrow W_h$  es un homeomorfismo que deja fijo a  $h$ .

Tomamos  $a := \varphi^{-1}g\psi$  si éste preserva orientación; en caso contrario, tomamos  $b: D^2 \rightarrow D^2$  un homeomorfismo que invierta la orientación y que deje fijo a  $\varphi^{-1}(h)$ . entonces  $\varphi^{-1}b g \psi: e \rightarrow W_h$  es un homeomorfismo que preserva orientación y que deja fijo a  $h$ . tomamos  $a := \varphi^{-1}b g \psi$ .

Sea  $\gamma_e$  un arco simple de  $h$  a la frontera de  $E$  contenido en  $E$ , y sea  $\gamma_w := a(\gamma_e)$  que es un

arco simple de  $h$  a la frontera de  $U_n$ . Por tanto  $\tilde{E}$  (respec.  $\tilde{U}_n$ ) se descompone en  $\mu$  sectores circulares consecutivos por las  $\mu$  preimágenes de  $\gamma_e$  (respec.  $\gamma_w$ )

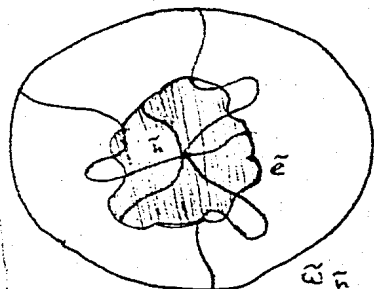
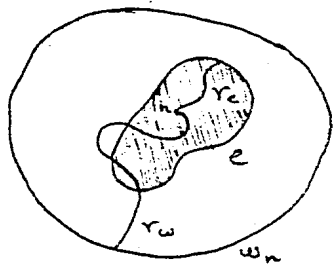
$\tilde{E}^1, \tilde{E}^2, \dots, \tilde{E}^\mu$  (respec.  $\tilde{U}_n^1, \tilde{U}_n^2, \dots, \tilde{U}_n^\mu$ )

que se inter cambian cíclicamente

bajo el grupo de rotaciones. El homeomorfismo  $\tilde{a}$  determina un homeomorfismo de

$\tilde{E}^i$  sobre el sector  $\tilde{U}_n^i$  y por tanto un homeomorfismo  $\tilde{a}$  de  $\tilde{E}$  sobre  $\tilde{U}_n$  que deja fijo a  $\tilde{h}$ . Tomando el mapeo correspondiente sobre las rectas de  $E$  y  $\Omega_n$ , obtenemos un

homeomorfismo que preserva fibras de  $E$  sobre  $\Omega_n$  y que deja fija a la fibra  $H$ .



"(b)" En este caso el disco  $e$  en  $W_h$  le corresponden  $\mu$  2-discos ajenos  $\tilde{e}^1, \dots, \tilde{e}^\mu$  en  $\tilde{W}_h$  que se intercambian bajo el grupo cíclico de rotaciones. El conjunto fibrado  $E$  correspondiente, está constituido en  $\Omega_H$  de  $\mu$ -cilindros fibrados congruentemente que están sobre los discos  $\tilde{e}^i$  hasta  $\tilde{e}^\mu$ .  $E$  se obtiene de estos cilindros identificándolos uno tras otro, pegando los discos fondo y tapa correspondientes bajo la identidad. Por tanto  $E$  es un toro sólido ordinario en el que cada fibra interior se puede tomar como la fibra de enmedio.  $\square$

Lema 2 Si  $\Omega_H^1$  y  $\Omega_H^2$  son dos vecindades fibradas de la fibra  $H$ , éstas son homeomorfas bajo un homeomorfismo que preserve fibras y que deja fija a  $H$ .

Dem. En la superficie de órbitas existe un disco  $e$  que contiene a  $h$  en su interior y que está contenido en la intersección de las vecindades de órbitas  $W_h^1$  y  $W_h^2$ . Por el lema 1,  $e$  es la imagen de una vecindad fibrada  $E$  de la fibra  $H$  que es homeomorfa a  $\Omega_H^1$  y a  $\Omega_H^2$  bajo homeomorfismos que preservan fibras y que dejan fija a  $H$ . El homeomorfismo buscado es uno de éstos dos seguido del inverso del otro.  $\square$



Este último lema implica que para una fibra  $H$  dada, los números  $\mu$  y  $\nu$  son los mismos para todas las vecindades fibradas de  $H$ , por tanto son un invariante de  $H$ . Si  $\mu > 1$ ,  $H$  se llama una fibra excepcional de orden  $\mu$  del espacio; si  $\mu = 1$ ,  $H$  se llama una fibra ordinaria. Si una fibra en la vecindad de una fibra excepcional  $H$  de orden  $\mu$  se aproxima a  $H$ , su límite recorre a  $H$   $\mu$  veces. En un toro sólido fibrado todas las fibras son fibras ordinarias, excepto posiblemente la fibra central. En una vecindad fibrada de una fibra excepcional  $H$  de orden  $\mu$ , tenemos que  $\mu \cdot H$  es homologa a una fibra ordinaria de la vecindad fibrada.

Los puntos de la superficie de órbitas que son imágenes de fibras excepcionales se llaman puntos excepcionales; por supuesto que como puntos de la superficie de órbitas, son indistinguibles de los puntos ordinarios.

Teorema 1 Un espacio fibrado cerrado contiene a lo más un número finito de fibras excepcionales.

Dem.

Si no fuera así, existiría un punto del

espacio tal que cada vecindad de él inter-  
sectaría un número infinito de fibras excep-  
cionales. La fibra que pasa por este punto  
no tendría por tanto una vecindad fibrada.  $\square$

Def. Sea  $D$  un 2-disco,  $K$  una triangulación de  $D$ ,  $\sigma \in K$  un 2-simplejo, entonces  $\sigma$  es libre en  $K$  si  $\sigma \cap \partial D$  es una o dos aristas de  $\sigma$ .

Lema Sea  $D$  un 2-disco y  $K$  una triangulación de  $D$ . Si  $K$  tiene más de un 2-simplejo, entonces  $K$  tiene un 2-simplejo libre

Dem. Se probara por inducción que  $K$  tiene al menos dos 2-simplejos libres.

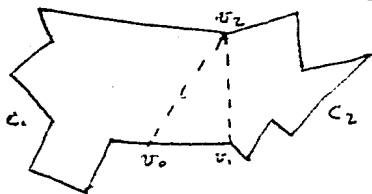
Si  $K$  tiene exactamente dos 2-simplejos, entonces el lema es claro. Podemos suponer que  $K$  tiene más de dos 2-simplejos.

Supongamos como hipótesis de inducción que la afirmación se cumple para cada complejo  $L$  que es triangulación de un 2-disco y que tiene menos 2-simplejos que  $K$ .

Existen al menos dos 2-simplejos  $\tau, \zeta \in K$  que tienen una arista en la frontera de  $|K|$ . Si ambos son libres, entonces no hay nada que probar. Supongamos entonces que

$$\sigma = \langle v_0, v_1, v_2 \rangle \in K, \quad \langle v_0, v_1 \rangle \subset \partial |K|$$

y que  $\sigma$  no es libre. Entonces ni  $\langle v_0, v_2 \rangle$  ni  $\langle v_1, v_2 \rangle$  están contenidas en  $\partial |K|$  y  $v_2 \in \partial |K|$ .



Los puntos  $v_0$  y  $v_2$  descomponen a polígono  $J := \partial|K|$  en dos líneas quebradas  $C_1$  y  $C_2$  y  $|K| = \bar{D}_1 \cup \bar{D}_2$  donde  $\bar{D}_1$  y  $\bar{D}_2$  son los interiores de  $C_1 \cup \langle v_0, v_2 \rangle$  y  $C_2 \cup \langle v_0, v_2 \rangle$

respectivamente. Sea  $L_1$  el complejo que consiste de los simplejos de  $K$  que están contenidos en  $\bar{D}_1$  junto con  $\langle v_0, v_1, v_2 \rangle$  y sus caras. Sea  $L_2$  el conjunto de todos los simplejos de  $K$  que están contenidos en  $\bar{D}_2$ . Por la hipótesis de inducción, cada uno de los complejos  $L_i$  tiene dos 2-simplejos libres. Por tanto cada uno tiene un 2-simplejo libre  $\sigma_i$  diferente de  $\langle v_0, v_1, v_2 \rangle$ .

Se sigue que cada  $\sigma_i$  es libre no solo en  $L_i$ , sino también en  $K$ , que es lo que se quería probar.  $\square$

Lema Sea  $D$  un 2-disco,  $K$  una triangulación de  $D$ ,  $\sigma \in K$  un 2-simplejo. Existe una sucesión de 2-células  $w_1 = \sigma, w_2, \dots, w_s = D$  tal que  $w_i$  es unión de 2-simplejos de  $K$  y  $w_i$  se obtiene de  $w_{i-1}$ , uniendo un 2-simplejo adyacente a  $w_{i-1}$  a lo largo de una o dos aristas.

Dem.

Se probará por inducción sobre el número de 2-simplejos de  $K$ .

Si el único 2-simplejo de  $K$  es  $\sigma$ , entonces el lema es claro. Por tanto podemos suponer que  $K$  tiene más de un 2-simplejo.

Supongamos como hipótesis de inducción que el lema es cierto para cada complejo  $L$  que es triangulación de un 2-disco y que tiene menos 2-simplejos que  $K$ .

Como  $K$  tiene al menos dos 2-simplejos, por tanto  $K$  tiene al menos dos 2-simplejos libres, es decir  $K$  tiene un 2-simplejo  $\tau$  libre que es distinto de  $\sigma$ . Sea

$D_1 = \overline{|\tau| - \tau}$  y  $L$  el complejo que consiste de los simplejos de  $K$  que están contenidos en  $D_1$ .

Como  $\tau$  es libre, por tanto  $D_1$  es un 2-disco y como  $L$  tiene menos 2-simplejos que  $K$ , por tanto existe una sucesión de 2-celdas  $w_1 = \sigma^2, w_2, \dots, w_{s-1} = D_1$  con las propiedades requeridas. Definimos  $w_s = w_{s-1} \cup \tau$ . Como  $\tau$  es libre, por tanto  $w_1 = \sigma^2, w_2, \dots, w_s = D$  es una sucesión de 2-celdas con las propiedades requeridas.  $\square$

Lema 3 Si  $w$  es un 2-disco (cerrado) en la superficie de órbitas  $F$  de un espacio fibrado  $F$  que no contiene puntos excepcionales, entonces  $w$  es una vecindad de órbitas de cada uno de sus puntos interiores. Si  $w$  contiene exactamente un punto excepcional en su interior, entonces  $w$  es una vecindad de órbitas de este punto excepcional.

Dem. Sea  $h$  un punto excepcional, o, si  $w$  no contiene puntos excepcionales, sea  $h$  un punto interior de  $w$ . Tomemos una triangulación de  $w$  tal que cada 2-simplejo esté cubierto por una vecindad de órbitas. Podemos pedir además que  $h$  esté en el interior de un 2-simplejo. Entonces por el lema 1, cada 2-simplejo es una vecindad de órbitas. Las correspondientes vecindades fibradas son toros sólidos excepto (posiblemente) la vecindad fi-

brada  $\Delta_H$  de  $H$  correspondiente a la vecindad  $S_n$  de  $h$ . Por el lema anterior, existe una sucesión  $w_1 = S_n, w_2, \dots, w_r = w$  tal que cada  $w_i$  es una 2-célula, unión de 2-simplices de la triangulación y tal que cada una se obtiene de su predecesora adjuntando un 2-simplejo adyacente a lo largo de una o dos aristas.

Los correspondientes conjuntos fibrados  $\Omega_1 = \Delta_H, \Omega_2, \dots, \Omega_r = \Omega$  son vecindades fibradas de  $H$ . Porque como  $w_i$  se obtiene de  $w_{i-1}$  pegando un 2-simplejo a lo largo de una 1-célula (que puede consistir de uno o dos 1-simplices), obtenemos a  $\Omega_i$  de  $\Omega_{i-1}$  pegando un toro sólido ordinario  $\Delta$  a  $\Omega_{i-1}$  coherentemente (preservando fibras) a lo largo de un anillo fibrado. Este es de nuevo un toro sólido fibrado.  $\square$

### 3. Ejemplos de Espacios Fibrados.



1. Sea  $f$  una 2-variedad sin frontera.

Entonces  $F = f \times S^1$  es un espacio fibrado sin fibras excepcionales. Las fibras son las curvas  $\{x\} \times S^1$ ,  $x \in f$ .

Si  $f$  es orientable, como  $S^1$  es orientable, entonces  $F = f \times S^1$  es orientable.

Si  $f$  es no orientable, entonces  $F$  es no orientable.

En efecto. Supongamos que  $F = f \times S^1$  es orientable; como  $f$  es una subvariedad propiamente encajada en  $F$  y  $f$  no separa a  $F$ , por tanto cortando a  $F$  a lo largo de  $f$  obtenemos una 3-variedad  $F'$  tal que  $\partial F'$  es la unión ajena de dos copias de  $f$ .  $F'$  hereda la orientación de  $F$  y  $F'$  induce una orientación

sobre  $\partial F'$ , en particular  $f$  es orientable.

Claramente la superficie de órbitas de  $F = f \times S^1$  es  $f$ .

1. Pensamos en la esfera de dimensión 3 como

$$S^3 = \{(x_1, x_2, x_3, x_4) \in \mathbb{R}^4 \mid x_1^2 + x_2^2 + x_3^2 + x_4^2 = 1\}$$

Construiremos ejemplos de fibraciones de  $S^3$  con fibras excepcionales.

Las fibras son las curvas traza de cierto grupo de traslaciones rígidas en una variable de la esfera en ella misma.

Como curvas en  $\mathbb{R}^4$  están dadas por

$$x_1 = x_1 \cos mt - x_2 \operatorname{sen} mt$$

$$x_2 = -x_1 \operatorname{sen} mt + x_2 \cos mt$$

$$x_3 =$$

$$x_3 \cos nt + x_4 \operatorname{sen} nt$$

$$x_4 =$$

$$-x_3 \operatorname{sen} nt + x_4 \cos nt$$

$m$  y  $n$  son enteros positivos primos relativos;  $t$  es un parámetro continuo que varía de 0 a  $2\pi$ .

Claramente las curvas traza son curvas cerradas simples para cada  $(x_1, x_2, x_3, x_4) \in S^3$ .

y  $S^3$  es unión de fibras.

Supongamos que  $(x_1, x_2, x_3, x_4)$  está en la fibra  
de  $(y_1, y_2, y_3, y_4)$ ; por tanto

$$x_1 = y_1 \cos mt + y_2 \operatorname{sen} mt$$

$$x_2 = -y_1 \operatorname{sen} mt + y_2 \cos mt$$

$$x_3 = y_3 \cos nt - y_4 \operatorname{sen} nt$$

$$x_4 = -y_3 \operatorname{sen} nt + y_4 \cos nt$$

para alguna  $t \in [0, 2\pi]$ .

$$\text{Por tanto, } x_1 \cos n(2\pi-t) + x_2 \operatorname{sen} n(2\pi-t) =$$

$$= x_1 \cos nt - x_2 \operatorname{sen} nt =$$

$$= y_1 \cos mt \cos nt + y_2 \operatorname{sen} mt \cos nt$$

$$+ y_1 \operatorname{sen} mt \operatorname{sen} nt - y_2 \cos mt \operatorname{sen} nt$$

$$= y_1$$

De manera análoga

$$y_2 = -x_1 \operatorname{sen} n(2\pi-t) + x_2 \cos n(2\pi-t)$$

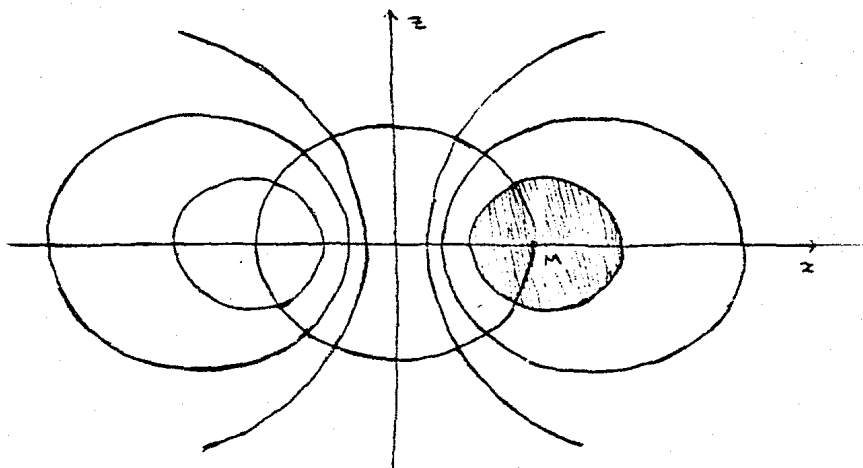
$$y_3 = x_3 \cos n(2\pi-t) + x_4 \operatorname{sen} n(2\pi-t)$$

$$y_4 = -x_3 \operatorname{sen} n(2\pi-t) + x_4 \cos n(2\pi-t)$$

Por tanto  $(y_1, y_2, y_3, y_4)$  está en la fibra  
de  $(x_1, x_2, x_3, x_4)$ , i.e., cada punto de  
 $S^3$  está en exactamente una fibra.

Visualizamos a la esfera proyectándola estereográficamente de su polo norte  $(0,0,0,1)$  en el plano ecuatorial  $x_4=0$ . El plano ecuatorial es un espacio euclídeo de dimensión 3 con las coordenadas cartesianas  $x, y, z$ , que cerramos de nuevo a la esfera, compactándolo adjuntándole un punto al infinito, la imagen del polo norte. La proyección estereográfica mapea al grupo de traslaciones rígidas descrito anteriormente, en un grupo de transformaciones del espacio que deja fijos al eje  $z$  y al círculo unitario  $\{x^2+y^2=1, z=0\}$ .

Entonces el continuo de toros que tiene al eje  $z$  como eje de rotación y que intersecta a cada una de las 2-esferas, que pasa por el círculo unitario, ortogonalmente, se mapean en ellos mismos bajo este grupo de transformaciones.



La figura muestra una sección del toro con el plano  $xz$ . Cada uno de los toros es frontera de un toro sólido que contiene al círculo unitario en su interior y está fibrado por las curvas traza del grupo de traslaciones. Esto porque un semiplano bordeado por el eje  $z$  rota al rededor del eje  $z$  bajo una transformación del grupo

La sección circular del semiplano con un toro sólido (sombreado en la figura) rota al rededor de su centro esférico  $M$  con un ángulo de  $2\pi/m$  durante el tiempo que el semiplano rota una vez al rededor del eje  $z$ .

Los números característicos  $\mu$  y  $\nu$  del toro sólido fibrado son por tanto  $\mu = m$  y  $\nu =$  el valor absoluto de  $n$  reducido  $\text{mod}(m)$  a  $[\frac{1}{2}m, \frac{1}{2}m]$ .

La parte de la hiperesfera que está fuera del toro considerado es también un toro sólido fibrado que tiene al eje  $z$  como su fibra central y como fibras a las curvas traza. Esto porque bajo las traslacion rígida de la esfera  $x'_1 = x_3$ ,  $x'_2 = x_4$ ,  $x'_3 = x_1$ ,  $x'_4 = x_2$ , esto es, bajo la transformación correspondiente

del espacio, el círculo unitario y el eje  $z$  se intercambian. Los números característicos de este toro sólido son  $u=n$  y  $v=m$  reducido módulo al intervalo  $[\frac{1}{2}n, \frac{1}{2}n]$ .

El círculo unitario es por tanto una fibra excepcional de multiplicidad  $m$ , y el eje  $z$  una fibra excepcional de multiplicidad  $n$ .

Cualquier otra curva es una fibra ordinaria porque por ejemplo, está contenida en un toro sólido fibrado que es recubierta fibrada del círculo unitario.

Cada fibra ordinaria se enrolla  $m$  veces alrededor del eje  $z$  y  $n$  veces al rededor del círculo unitario; por tanto está anudada, es, asaber, el nudo toroidal  $m, n$ , si  $m, n$  son distintos de 1.



La superficie de órbitas de una fibration de la hiperesfera  $S^3$ , es siempre  $S^2$ . Porque cada curva cerrada en  $S^3$  es contraíble a un punto, por tanto lo mismo se cumple para la superficie de órbitas. Como  $S^3$  es cerrada, la superficie de órbitas también; por tanto solo puede ser la 2-esfera.

3. Sean  $V_1$  y  $V_2$  dos toros sólidos.

Si  $h: \partial V_2 \rightarrow \partial V_1$  es un homeomorfismo, formamos el espacio

$$M = V_1 \cup_{\tilde{h}} V_2$$

que es el resultado de identificar cada  $x \in \partial V_2$  con  $h(x) \in \partial V_1$  en la unión disjunta de  $V_1$  y  $V_2$ .

Claramente  $M$  es una 3-variedad cerrada y conexa.

Como se tiene la sucesión exacta (Mayer-Vietoris)

$$H_3(V_1) \oplus H_3(V_2) \rightarrow H_3(M) \rightarrow H_2(V_1 \cap V_2) \rightarrow \\ \rightarrow H_2(V_1) \oplus H_2(V_2)$$

y como  $H_3(V_1) \cong H_3(V_2) \cong H_2(V_1) \cong H_2(V_2) = 0$  porque  $V_1 \cong V_2 \cong S^1$ ; y además

$$H_2(V_1 \cap V_2) \cong H_2(S^1 \times S^1) \cong \mathbb{Z}$$

por tanto se tiene la sucesión exacta

$$0 \rightarrow H_3(M) \rightarrow \mathbb{Z} \rightarrow 0$$

Luego  $H_3(M) \cong \mathbb{Z}$  y por tanto  $M$  es orientable.

$M$  depende, salvo homeomorfismo, solo de la clase de homotopía de  $h(m_2)$  en  $\partial V_1$ , donde  $m_2$  es un meridiano de  $V_2$  (ver demostración del lema 6).

Def. Eligiendo generadores fijos  $\ell_1$  y  $m_1$  para  $\pi_1(\partial V_1)$  donde  $m_1$  es un meridiano de  $V_1$ , podemos escribir

$$h_*(m_2) = p\ell_1 + qm_1,$$

donde  $p$  y  $q$  son enteros primos relativos. La variedad resultante  $M$  se llama el espacio lente

de tipo  $(p, q)$  y se denota como

$$M = L(p, q).$$

En otras palabras, una 3-variedad es un espacio leute si, y solo si contiene un toro sólido tal que la cerradura de su complemento es también un toro sólido.

Usualmente  $S^3 = L(1, 0)$  y  $S^2 \times S^1 = L(0, 1)$

no se consideran espacios leute.

Si  $M_1$  y  $B_1$  son meridiano y longitud sobre  $\partial V_1$ , entonces el espacio lente está determinado por la homología

$$h(M_2) \sim p B_1 + q M_1$$

donde  $M_2$  es un meridiano de  $V_2$ .  $p \neq 0$ , de otra manera  $L(p, q) \cong S^2 \times S^1$ .

Fibramos a  $V_1$  de tal manera que  $H \sim y B_1 + x M_1$ ,

donde  $(y \neq p \text{ ó } x \neq q)$  y  $(y, x) = 1$ , la fibración del espacio lente está determinada de manera única por esta fibración de  $V_1$ .

Explícitamente: los números de definición de  $V_1$  son  $\mu_1 = |y|$ ,  $\nu_1 = |x|$  reducido módulo  $\mu_1$ .

Si  $Q$  es una curva cruzada en  $\partial V_1$ , entonces

$$Q \sim \ell B_1 + m M_1$$

con  $\det \begin{pmatrix} y & \ell \\ x & m \end{pmatrix} = +1$  (i.e., se puede elegir de esta manera).

Por tanto

$$B_1 \sim m H + (-x) Q$$

$$M_1 \sim -\ell H + y Q$$

$$\text{porque } \begin{pmatrix} y & \ell \\ x & m \end{pmatrix}^{-1} = \frac{1}{pm - x\ell} \begin{pmatrix} m - \ell & \\ -x & y \end{pmatrix} = \begin{pmatrix} m - \ell & \\ -x & y \end{pmatrix}$$

Se han elegido una fibrición sobre  $\partial V_2 = \partial V_1$  y una curva meridiano tal que  $h(M_2) \neq H$  y que es no trivial sobre  $\partial V_2$ :

$$h(M_2) \sim p B_1 + q M_1 \sim$$

$$\sim p(mH - xQ) + q(-\ell H + yQ) \sim$$

$$\sim (pm - q\ell)H + (qy - px)Q$$

Eligiendo a una longitud

$$B_2 \sim rQ + sH$$

tal que  $\det \begin{pmatrix} qy - px & pm - ze \\ r & s \end{pmatrix} = +1$ ,

se tiene que  $\mu_2 = |qy - px|$  y

$V_2 = \mathbb{R}^4$  reducido módulo  $\mu_2$

son los números de definición de  $V_2$ .

Observese que como  $pz - qr = 1$  p. a.  $z, r \in \mathbb{Z}$ , si fibramos a  $V_1$  con

$H \sim rB_1 + zM_1$ , entonces  $V_2$  es un toro sólido ordinario.

Por ejemplo en  $L(2,3)$ , fibrando a  $V_1$  con  $H \sim B_1 + 2M_1$ , entonces  $L(2,3)$  no tiene fibras excepcionales.

En el espacio  $L(p, q)$ , fibrando a  $V$ , con

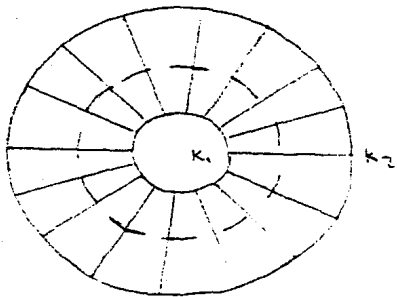
$$H = pB_1 + xM_1 \quad (x \neq q).$$

se tiene que la fibra es homóloga a cero en  $L(p, q)$ .

Como  $\pi_1(L(p, q)) \cong \mathbb{Z}_p$ , por tanto la superficie de órbitas de  $L(p, q)$  es  $S^2$  para cualquier pareja  $(p, q)$  y cualquier fibración (ver §14).



4. La suma conexa de dos espacios proyectivos  $P^3 \# P^3$  se obtiene



identificando puntos diametralmente opuestos de las esferas  $K_1$  y  $K_2$  que son frontera de  $S^2 \times I$  (ver figura), porque la 2-esfera punteada en la fi-

gura separa a esta variedad en dos espacios proyectivos agujerados. Las fibras son los radios de  $S^2 \times I$ ; dos radios diametralmente opuestos forman una fibra.

Esta fibración no tiene fibras excepcionales y su superficie de órbitas es  $P^2$ .

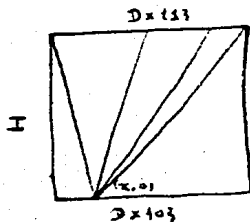
Los invariantes de la fibración (ver §7) son  $(Cn; 1|0)$ ;  $b=0$ , porque  $P^3 \# D^3$  admite un homeomorfismo que preserva fibras y que invierte la orientación (reflexión c.r. a la  $S^2$  punteada). Por tanto  $(Cn; 1|0) = (Cn; 1|-b)$  por tanto  $b = -b$ .

5.  $(S^2 \times S^1) \# (S^2 \times S^1)$  no admite ninguna fibración (ver §14).

4. Remoción y Sellado  
(Cirugía).

Lema Si:  $h: (D, *) \rightarrow (D, *)$  es un homeomorfismo (PL) de un  $n$ -disco, que es la identidad sobre la esfera frontera, entonces existe una isotopía (PL) de  $h$  a la identidad que deja fijos a  $\partial D$  y al punto base.

Dem. Si el punto base está en  $\partial D$ , elegimos a  $x$  como un punto cualquiera en  $\text{int } D$ . Si el punto base no está en  $\partial D$ , elegimos a  $x$  como el punto base. Sea  $\varphi: D \rightarrow \Delta^n$  una equivalencia PL de  $D$  con un  $n$ -simplejo. Triangulamos  $D$  de tal manera que  $x$  es un vértice y tal que  $\varphi \circ h$  es simplicial (La última condición solo se impone si  $h$  es PL por supuesto). Triangulamos  $D \times I$  tomando la triangulación de  $D$  en  $D \times \{1\}$ , la triangulación producto de  $\partial D \times I$  y considerando a  $D \times I$  como el cono sobre  $(D \times \{1\}) \cup (\partial D \times I)$  con  $(x, 0)$  como el vértice del cono.



Definimos un homeomorfismo que preserva niveles  $H: D \times I \rightarrow D \times I$  como sigue:

$H|_{\partial D \times I}$  es la identidad;

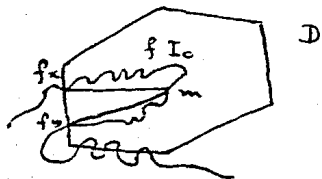
$H|_{D \times \{1\}}$  es  $h$ ;  $H(x, 0) = (x, 0)$ ;

y  $(\varphi \times 1)H: D \times I \rightarrow \Delta^n \times I$  es lineal en cada

arco rectilíneo en  $\mathbb{D} \times I$ , tal que un extremo del arco es  $(x, 0)$  y el otro está en  $(\mathbb{D} \times \{1\}) \cup (\partial \mathbb{D} \times I)$   $\square$

Teorema Sea  $M$  una 2-variedad,  $f: (S^1, s) \rightarrow (\text{int } M, m)$  un encaje. Entonces existe una isotopía ambiental que deja fijos a  $m$  y al exterior de un subconjunto compacto de  $\text{int } M$  y que cambia a  $f$  por un encaje P.L.

Dem Sea  $D$  un disco P.L. pequeño en  $\text{int } M$  que es una vecindad de  $m$ . Entonces  $f^{-1}(\text{int } D)$  consiste de una unión ajena de intervalos abiertos. Sea  $I_0$  la cerradura del intervalo abierto que contiene a  $m$  y sean  $x$  y  $y$  sus extremos. Trazamos arcos P.L.  $X$  y  $Y$  en  $D$  de tal manera que  $X \cap Y = m$ ,  $X \cap \partial D = f_x$  y  $Y \cap \partial D = f_y$ .



Tenemos un homeomorfismo  
 $(f|_{I_0}, f_x, f_y, m) \rightarrow (X \cup Y, f_x, f_y, m)$

De acuerdo al teorema de Schönflies, podemos extender éste a un ho-

meomorfismo de  $D$  en sí mismo que es la identidad en  $\partial D$ . Por el lema anterior, existe una isotopía de  $M$  que deja fijos a  $m$  y a  $M - D$  y que cambia  $f|_{I_0}$  a un mapeo P.L.

Sean  $D_1, \dots, D_n$  discos en  $\text{int} M - fI_0$  tales que  $f(S' - \text{int} I_0)$  está cubierto por  $\text{int} D_1, \dots, \text{int} D_n$ .

$f^{-1} \text{int} D_i$  es una unión de intervalos abiertos. Así,  $S' - \text{int} I_0$  está cubierto por un número finito de estos intervalos abiertos,  $\text{int} I_1, \dots, \text{int} I_n$  con cerraduras  $J_1, \dots, J_n$ . Por conveniencia definimos  $I_0 = I_{n+1}$ . Sin perder generalidad suponemos que  $I_r \cap I_s \neq \emptyset$  si y solo si  $|r-s| \leq 1$ . Para cada  $i$  elegimos un subarco  $J_i$  de  $\text{int} I_i$  de tal manera que  $\text{int} J_0 \cup \dots \cup \text{int} J_n$  cubre a  $S'$ .

Para cada  $r$  trataremos de encontrar un homeomorfismo  $\varphi_r$  de  $M$  que es isotópico a la identidad por una isotopía que deja fijos a  $m$  y al exterior de un subconjunto compacto de  $\text{int} M$  y tal que  $\varphi_r f$  es P.L. en  $J_0 \cup \dots \cup J_r$ . Hemos definido a  $\varphi_0$ .

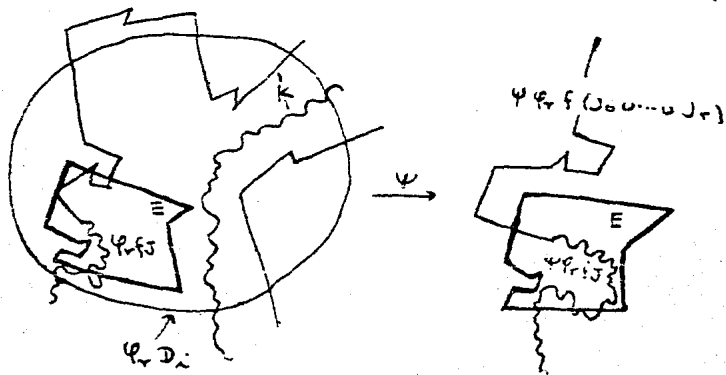
Supongamos que hemos definido a  $\varphi_0, \dots, \varphi_r$  para  $r < n$ . Definiremos  $\varphi_{r+1}$ .

Supongamos que  $\text{int} I_{r+1}$  es una componente de  $f^{-1} \text{int} D_i$ .  $\varphi_r(\text{int} D_i)$  hereda la estructura PL de  $M$  y es homeomorfo PL a un plano.

$$K := \varphi_r f (S' - \text{int } I_{r+1}) \cap \varphi_r (\text{int } D_i)$$

es un subespacio cerrado de  $\varphi_r \text{int } D_i$ . Elegimos una subvariedad compacta PL  $E$  de  $\varphi_r \text{int } D_i$  que contenga a  $\varphi_r f J_{r+1}$  en su interior y que es ajena a  $K$ . Sin perder generalidad podemos suponer que  $E$  es un disco.

Sea  $J_{r+1} \subset J \subset I_{r+1}$  donde  $J$  es la cerradura de una componente de  $f^{-1} \varphi_r^{-1}(\text{int } E)$ .



Existe una isotopía ambiental PL de  $M$ , que deja fijos a  $M - \text{int } \varphi_r D_i$  y a  $J$ , de la identidad a un homeomorfismo  $\psi$  tal que  $E \cap \psi \varphi_r f (J_0 \cup \dots \cup J_r)$  es un arco en  $E$  que intersecta a  $\partial E$  solo en un extremo (si  $r=0$  tenemos dos arcos en vez de uno). Ahora apli-



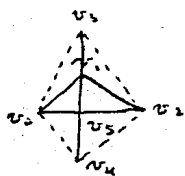
como el lema anterior a  $E$  como en el primer párrafo de esta demostración para obtener una isotopía, que deja fijo al exterior de  $E$ , de la identidad a un homeomorfismo  $\eta$  tal que  $\eta \Psi \varphi_r \circ f|_J$  es P.L. Definimos  $\varphi_{r+1} := \eta \Psi \varphi_r$ .

Lema Sea  $J$  una curva cerrada simple PL en  $\mathbb{R}^2$ . Entonces existe un homeomorfismo  $h: \mathbb{R}^2 \rightarrow \mathbb{R}^2$  tal que  $h(\bar{J})$  es la frontera de un 2-simplejo.

Dem Sea  $I$  el interior de  $J$  y sea  $K$  una triangulación de  $\bar{I}$ .

Cualquier 2-simplejo libre de  $K$  puede revertirse mediante un homeomorfismo  $h: \mathbb{R}^2 \rightarrow \mathbb{R}^2$ .

Caso 1 Supongamos que  $\langle v_0, v_1, v_2 \rangle$  es libre en  $K$  y  $\langle v_0, v_1, v_2 \rangle \cap \text{Fr}(K) = \langle v_0, v_2 \rangle$ . Tomamos a  $v_3, v_4$  y  $v_5$  como en la figura:  $v_3, v_4, v_5$  y  $v_1$



son colineales y  $v_5$  está suficientemente cerca de  $v_4$  y  $v_1$  de  $v_3$  de tal manera que  $\langle v_0, v_3, v_2, v_4 \rangle$  intersecta a  $\partial K$  solo en  $\langle v_0, v_2 \rangle$ .

Definimos a  $h$  como la identi-

dad en el complemento de la figura ( $h := \text{Id}_{\mathbb{R}^2 - \langle v_0, v_3, v_2, v_4 \rangle}$ ). Por tanto  $v_0, v_2, v_3$  y  $v_4$  que son fijos. Definimos  $h(v_5) = v_1$  y extendemos a  $h$  lineal-

mente de tal manera que  $h(v_0, v_1, v_2) = \langle v_0, v_4, v_1 \rangle$ ,  
 $h \langle v_2, v_4, v_1 \rangle = \langle v_2, v_4, v_1 \rangle$ ,  $h \langle v_0, v_3, v_2 \rangle = \langle v_0, v_1, v_2 \rangle$ ,  
 $h \langle v_2, v_3, v_2 \rangle = \langle v_2, v_1, v_2 \rangle$ .

Caso 2 Sup que  $\langle v_0, v_1, v_2 \rangle$  es libre en  $K$  con  
 $\langle v_0, v_1, v_2 \rangle \cap \partial |K| = \langle v_0, v_1 \rangle \cup \langle v_1, v_2 \rangle$ .

Usamos el inverso del homeomorfismo  $h$  definido en el caso 1.

En cualquiera de los casos, el efecto de  $h$  es reducir en 1 el número de 2-simplejos de  $K$ . El teorema se sigue por inducción sobre el número de simplejos de  $K$ .  $\square$

Lema Sean  $J$  y  $J'$  curvas cerradas simples PL en  $\mathbb{R}^2$ , entonces existe un homeomorfismo  $h: \mathbb{R}^2 \rightarrow \mathbb{R}^2$  q.  $h(J) = J'$

Dem. Por el lema anterior, tenemos homeomorfismos

$$f: \mathbb{R}^2 \rightarrow \mathbb{R}^2, \quad f(J) = \partial J^2 = \partial \langle v_0, v_1, v_2 \rangle$$

$$f_2: \mathbb{R}^2 \rightarrow \mathbb{R}^2, \quad f_2(J') = \partial J'^2 = \partial \langle w_0, w_1, w_2 \rangle$$

$$\text{Sean } t_1: \mathbb{R}^2 \rightarrow \mathbb{R}^2, \quad x \mapsto x - v_0$$

$$t_3: \mathbb{R}^2 \rightarrow \mathbb{R}^2, \quad x \mapsto x + w_0$$

$$t_2: \mathbb{R}^2 \rightarrow \mathbb{R}^2, \quad \sum a_i (t_1, t_2) \mapsto \sum a_i (t_3, w_0) \quad (\sum a_i = 1)$$

Def.  $f_3: \mathbb{R}^2 \rightarrow \mathbb{R}^2$  como  $f_3 := t_3 \circ t_2 \circ t_1$ .

Entonces  $h := f_2^{-1} \circ f_3 \circ f_1: \mathbb{R}^2 \rightarrow \mathbb{R}^2$  es tal que

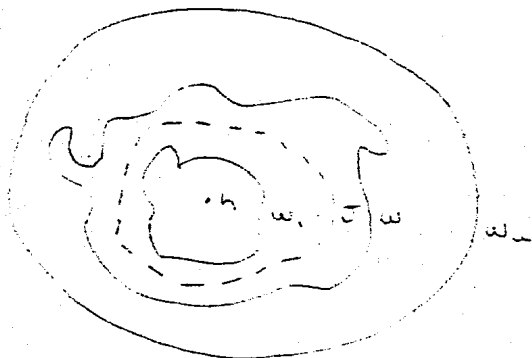
$$h(\mathbb{J}) = \mathbb{J}' +$$

Lema 4 Si  $\Omega$  y  $\Omega'$  son vecindades fibradas de una fibra  $H$  en un espacio fibrado  $F$ , entonces existe una deformación de  $F$  que preserva fibras que envía a  $\Omega$  en  $\Omega'$  y que deja fija a  $H$ .

Dem. Por el lema 1, existe una vecindad fibrada  $\Omega_1$  de  $H$  que está contenida en los interiores de  $\Omega$  y de  $\Omega'$ , porque para las vecindades de órbitas  $w$  y  $w'$  de  $h$ , existe una vecindad de órbitas  $u$  de  $h$  que está contenida en  $\text{int}w \cap \text{int}w'$ .

Sea  $w_u$  un 2-disco que contiene a  $w$  en su interior y no contiene puntos excepcionales salvo (posiblemente)  $h$ . Este 2-disco existe porque las vecindades de órbitas son cerradas y los puntos excepcionales no tienen puntos de acumulación. Por el lema 3,  $w_u$  es también una vecindad de órbitas de  $h$ .

Mapeamos a  $w_1$  sobre un disco de  $\mathbb{R}^2$  con la imagen de  $h$  como su centro.  $w_1$  y  $w_2$  se mapean a discos



contenidos en el interior de  $w_1$  (más precisamente, de la imagen de  $w_1$ ) y tal que  $\partial w_1 \cap \partial w_2 = \emptyset$ .

Existe una curva simple cerrada  $J$  contenida en el interior de la región entre  $w_1$  y  $w_2$ .

Sea  $K$  la cerradura del interior de  $J$  en  $\mathbb{R}^2$  ( $K$  es un 2-disco) y sea  $L$  la cerradura de la región entre  $J$  y  $w_1$  ( $L$  es un anillo).

Entonces existe una isotopía ambiental que deja fijo al exterior de un subcon-

junto compacto de  $\text{int}(K-h)$  que deforma a  $w$ , en una curva poligonal, y existe una isotopía que deja fijo al exterior de un subconjunto compacto de  $L$  y que cambia a  $w$  por una curva poligonal.

Estas dos isotopías nos dan una isotopía ambiental de  $W_h$  que deja fijos a  $h$  y a  $\partial W_h$ .

Expandamos ahora a  $\text{int } W_h$  en  $\mathbb{R}^2$  (expansión radial), entonces las curvas  $w$ , y  $w$  así deformadas se convierten bajo la expansión en dos curvas  $C_1$  y  $C_2$ , cerradas, simples PL en  $\mathbb{R}^2$ , por tanto existe una deformación de  $\mathbb{R}^2$  que manda a  $C_1$  en  $C_2$ .

Tomando la inversa de la expansión, obtenemos una deformación de  $w_h$  que manda a  $w$ , en  $w$  deformada y que deja fijos a  $h$  y a  $\partial W_h$ .

Tomando la inversa de la deformación que cambia a  $w$  en una curva PL, tenemos una deformación

de  $W_a$  que manda a  $W_1$  en  $W_2$  y  
deja fijos a  $h$  y a la frontera  
de  $W_a$ .

Esta deformación, corresponde  
a una deformación que preserva  
fibras de la vecindad fibrada  
 $\mathcal{R}_a$  de  $H$  que deja fijos a  $H$  y  
a la frontera de  $\mathcal{R}_a$  (puntualmente)  
y que manda a  $\mathcal{R}_1$  en  $\mathcal{R}_2$ .

Obtenemos esta deformación de  $\Omega_a$  cortando a  $\Omega_a$  en un cilindro euclidiano y transfiriendo la deformación de  $\omega_a$  a todos los discos meridionales.  $\square$

Def. Remover una fibra  $H$  de un espacio fibrado  $F$  significa remover de  $F$  los puntos interiores de una vecindad fibrada  $\Omega_H$  de  $H$ .

De remover una fibra  $H$  de un espacio fibrado  $F$  resulta un espacio fibrado  $\bar{F}$  con frontera. La frontera es un toro fibrado.

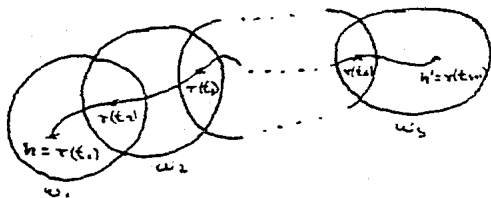
La superficie de órbitas  $\bar{f}$  de  $\bar{F}$  se obtiene de la superficie de órbitas  $f$  de  $F$  removiendo los puntos interiores de la vecindad de órbitas  $\omega_H$  en la que se mapa la vecindad fibrada removida  $\Omega_H$ .

Lema 5 El espacio fibrado con frontera  $\bar{F}$  que se obtiene de  $F$  removiendo una fibra ordinaria  $H$  es independiente de la elección de la fibra ordinaria  $H$ .

Dem. Sean  $H, H'$  fibras ordinarias de  $F$  y  $h, h'$  sus imágenes en la superficie de órbitas  $f$ . Sea  $\gamma$  una trayectoria simple de  $h$  a  $h'$  sobre  $f$  que no pasa por puntos excepcionales.

Como la imagen de  $r$  es un compacto, la podemos cubrir con un número finito de vecindades de órbitas que no contienen puntos excepcionales  $w_1, w_2, \dots, w_s$  y podemos elegir

puntos  $0 = t_1 < t_2 < \dots < t_s = 1$  tales que  $r(t_{i+1}) \in \text{int } w_i \cap \text{int } w_{i+1}$ .



Sea  $\psi_i: w_i \rightarrow w_i$  una deformación tal que  $\psi_i(r(t_i)) = r(t_{i+1})$  y  $\psi_i|_{\partial w_i} = 1_{\partial w_i}$  para

$1 \leq i \leq s$ . La deformación  $\psi_i$  de  $w_i$  corresponde a una deformación que preserva fibras del toro sólido ordinario  $\Omega_i$  que envía a la fibra  $H_i$  correspondiente a  $r(t_i)$  en la fibra  $H_{i+1}$  correspondiente a  $r(t_{i+1})$  y que deja al toro frontera de  $\Omega_i$  fijo puntualmente. Esta deformación de  $\Omega_i$  corresponde a una deformación  $\phi_i: F \rightarrow F$  que es la identidad fuera de  $\Omega_i$ . La composición  $\phi_s \circ \phi_{s-1} \circ \dots \circ \phi_1$  es una deformación que envía a  $H \in H'$   $\square$

Los mismos argumentos se aplican al espacio agujerado  $F$  y muestran que el espacio obtenido de  $F$  al remover un número arbitrario de fibras ordinarias es independiente de la elección de las fibras ordinarias que se remueven. La úni-



ca condición es que las vecindades removidas sean ajenas.

Del espacio fibrado con frontera  $\bar{F}$  que se obtiene de  $F$  removiendo una fibra podemos construir nuevos espacios fibrados (cerrados) cerrando el toro frontera  $\bar{\Pi}$  de  $\bar{F}$  con un toro sólido fibrado, el toro sellador  $V$ . Esto se consigue mediante un empaste que preserve fibras del toro  $\bar{\Pi}$  frontera de  $V$  al toro  $\bar{\Pi}$ .

Dado el toro sellador  $V$ , esta pegadura se puede hacer de un número infinito de formas esencialmente distintas. Pero el cerrado del espacio está completamente determinado si se conoce la imagen  $\bar{M}$  de una curva meridional de  $V$  sobre el toro  $\bar{\Pi}$ . Obviamente  $\bar{M}$  no puede ser homológicamente cero ni homólogo a una fibra sobre  $\bar{\Pi}$  porque esto sería cierto para la curva meridional  $M$  sobre  $\Pi$ ; además  $\bar{M}$  no tiene puntos singulares. Estas son todas las condiciones para  $\bar{M}$ . En efecto, tenemos el

Lema 6 Si, sobre el toro  $\bar{\Pi}$  frontera de un espacio fibrado con frontera  $\bar{F}$  tenemos una curva simple cerrada  $\bar{M}$  sobre  $\bar{\Pi}$  que no es homóloga a cero ni a una fibra sobre  $\bar{\Pi}$ , entonces existe exactamente un toro sólido fibrado  $V$  cuyo toro frontera  $\bar{\Pi}$  se puede mapear bajo un homeomorfismo que preserve fibras sobre  $\bar{\Pi}$  de tal manera que  $\bar{M}$  es

homotópico a cero en  $V$ . El espacio fibrado (cerrado)  $F$ , resultante está determinado de manera única por  $\bar{F}$  y la clase de homología de  $\bar{M}$  sobre  $\bar{\Pi}$ .

Dem

"(a)" Mostraremos primero que existe uno y solo un toro sólido fibrado  $V$  que satisface las condiciones del teorema. Si  $\bar{Q}$  es una curva cruzada y  $\bar{H}$  una fibra orientada sobre  $\bar{\Pi}$ , tenemos

$$\bar{M} \sim \alpha \bar{Q} + \beta \bar{H} \quad (\alpha \neq 0, (\alpha, \beta) = 1) \text{ sobre } \bar{\Pi}.$$

Se mostró en §1 que existe exactamente un toro sólido fibrado  $V$  con meridiano  $M$ , fibra  $H$  y curva cruzada elegida adecuadamente  $Q$  tal que sobre el toro  $\Pi$  frontera de  $V$  se cumple

$$M \sim \alpha Q + \beta H$$

Podemos mapear a  $\Pi$  sobre  $\bar{\Pi}$  bajo un homeomorfismo que preserve fibras tal que  $Q$  va a  $\bar{Q}$  y  $H$  a  $\bar{H}$ . Para esto, cortamos  $\Pi$  y  $\bar{\Pi}$  a lo largo de  $Q$  y  $H$ , y  $\bar{Q}$  y  $\bar{H}$ , respectivamente y obtenemos dos rectángulos conformados por las fibras y podemos mapear estos rectángulos uno sobre otro bajo un homeomorfismo que preserve fibras. Entonces  $\bar{M}$  se mapea a  $M$  y por tanto  $\bar{M}$  se convierte en un meridiano de  $V$ .

(b)" Mostraremos ahora que el espacio fibrado  $F$ , está determinado de manera única por  $F$  y por la clase de homología de  $\bar{M}$  (sobre  $\bar{\Pi}$ ). Todos los mapeos que preservan fibras de  $\bar{\Pi}$  sobre  $\bar{\Pi}$  bajo los que  $\bar{M}$  se vuelve homotópicamente cero en  $V$  se obtienen de un solo mapeo tal seguido de un mapeo que preserve fibras  $A_{\Pi}: \bar{\Pi} \rightarrow \bar{\Pi}$  que mapee al meridiano  $M$ , o más precisamente a su clase de homología, en ella misma o su negativa. Habremos probado la independencia de la fibrición resultante de  $F$ , de la elección de los mapeos anteriores una vez que mostremos que podemos extender  $A_{\Pi}$  a un homeomorfismo que preserve fibras  $A_V: V \rightarrow V$  cuya restricción a  $\bar{\Pi}$  es  $A_{\Pi}$ .

Revisaremos primero como se transforman las clases de homología de  $\bar{\Pi}$  bajo  $A_{\Pi}$ .

Sean  $H, Q$  y  $M$  una fibra, una curva cruzada y un meridiano sobre  $\bar{\Pi}$  respectivamente con una orientación fija y supongamos que

$$M \sim \alpha Q + \beta H$$

Podemos elegir a  $Q$  tal que  $\alpha > 0$  y  $0 \leq \beta < \alpha$ .

Como  $M$  es una curva simple cerrada,  $\alpha$  y  $\beta$  son primos relativos. Sean  $H', Q'$  y  $M'$  las imágenes de estas curvas bajo  $A_{\Pi}$ . Como  $A_{\Pi}$  preserve fibras tenemos que

$$H' \sim \epsilon_1 H, \quad Q' \sim \epsilon_2 Q + \lambda H \quad (\epsilon_1, \epsilon_2 = \pm 1) \quad (1)$$

El meridiano  $M$  se mapea bajo  $A_n$  en

$$M' \sim \alpha Q' + \beta H' \sim \epsilon_2 \alpha Q + (\epsilon_1 \beta + \alpha \lambda) H$$

Como  $M' \sim \epsilon_3 M$ , por tanto

$$\epsilon_2 \alpha Q + (\epsilon_1 \beta + \alpha \lambda) H \sim \epsilon_3 (\alpha Q + \beta H)$$

Comparando coeficientes obtenemos  $\epsilon_2 = \epsilon_3$  y

$$\alpha \lambda + \epsilon_1 \beta = \epsilon_2 \beta \quad (2)$$

Supongamos que  $\alpha > 2$ ; si  $\epsilon_1 = \epsilon_2$ , ent.  $\alpha \lambda = 0$  y por tanto  $\lambda = 0$ ; supongamos que  $\epsilon_1 \neq \epsilon_2$ , por tanto  $2\beta = \alpha \lambda$  o  $2\beta = \alpha(-\lambda)$ , en todo caso  $2\beta = \alpha R$  con  $R \geq 0$ ; como  $(\alpha, \beta) = 1$ , se tiene que  $\beta | R$ , por tanto  $R \geq \beta$ ; como  $\alpha > 2$ , por tanto  $\alpha R > 2\beta$  lo que es una contradicción, por tanto  $\epsilon_1 = \epsilon_2$  y se cumple que si  $\alpha > 2$  entonces  $\lambda = 0$

Por (1) solo hay dos posibilidades

$$\alpha > 2 \quad \begin{cases} H' \sim H & Q' \sim Q \\ H' \sim -H & Q' \sim -Q \end{cases}$$

Supongamos que  $\alpha = 2$ , por tanto  $2\lambda + \epsilon_1 \beta = \epsilon_2 \beta$ ;

si  $\epsilon_1 = \epsilon_2$ , entonces  $\lambda = 0$ ; si  $\epsilon_1 \neq \epsilon_2$ , entonces

$$2\beta = 2\lambda \quad \text{o} \quad 2\beta = -2\lambda, \quad \text{por tanto} \quad \lambda = 1 \quad \text{o} \quad \lambda = -1$$

Luego para  $\alpha = 2$  debemos tener  $\lambda = +1, -1$  o  $0$ .

Por tanto hay cuatro posibilidades

$$\alpha = 2 \quad \left\{ \begin{array}{ll} H' \sim H & Q' \sim Q \\ H' \sim -H & Q' \sim -Q \\ H' \sim -H & Q' \sim Q + H \\ H' \sim H & Q' \sim -Q - H \end{array} \right.$$

Para  $\alpha = 1$ , como  $0 \leq \beta < \alpha$ , se tiene de nuevo  $\lambda = 0$  y obtenemos las cuatro posibilidades

$$\alpha = 1 \quad \left\{ \begin{array}{ll} H' \sim \pm H & Q' \sim \pm Q \end{array} \right.$$

con todas las cuatro combinaciones de los signos.

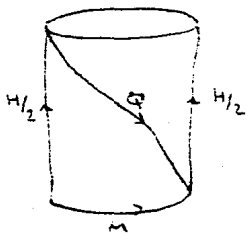
El mapeo  $A_V$  que debemos construir será la composición de dos homeomorfismos que preservan fibras  $A_V = J_V \circ B_V$ .  $B_V: V \rightarrow V$  es un homeomorfismo que preserva fibras que transforma las clases de homología sobre  $\Pi$  de la misma manera que  $A_\Pi$ .  $J_V: V \rightarrow V$  mapea cada clase en sí misma.

Cortemos a  $V$  en un cilindro circular recto.

- Para  $\alpha \geq 2$ , en el caso  $H' \sim -H$ ,  $Q' \sim -Q$ , definiremos a  $B_V$  como una rotación de  $V$  alrededor de una recta ortogonal al eje del cilindro. Entonces  $B_V$  preserva fibras y manda a cada clase de homología de  $\Pi$  en su negativa.
- Para  $\alpha = 1$ , obtenemos a  $B_V$  de una rotación como en el caso anterior ( $H' \sim -H$ ,  $Q' \sim -Q$ ); o como una reflexión c.r. a un plano ortogonal

al eje del cilindro ( $H' \sim -H, Q' \sim Q$ ); o una reflexión c.r. a un plano que contiene al eje del cilindro ( $H' \sim H, Q' \sim -Q$ ).

- En el caso  $x=2$ , la fibra está con formada por dos rectas diametralmente opuestas paralelas a la fibra de enmedio. Como  $M \sim 2Q + H$ ,



la curva cruzada a parece como en la figura. Una transformación (3) ( $H' \sim -H, Q' \sim Q + H$ ), se obtiene reflejando el cilindro c.r. a el plano ortogonal al eje del cilindro que pasa por el punto medio de este. Una transformación (4)

( $H' \sim H, Q' \sim -Q - H$ ), se obtiene reflejando c.r. a un plano que contiene el eje del cilindro.

Falta mostrar que para un mapeo arbitrario que preserva fibras  $J_\pi: \pi \rightarrow \pi$  que manda cada clase de homología de  $\pi$  sobre sí misma, existe un mapeo que preserva fibras  $J_V: V \rightarrow V$  tal que  $J_V \circ \pi = J_\pi$ .

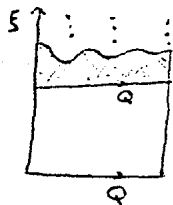
Mostraremos primero que  $J_\pi$  se puede deformar a la identidad mediante una deformación que preserva fibras.

Como la imagen  $Q'$  de  $Q$  es homóloga a  $Q$  sobre el toro frontera por hipótesis, tomamos una traslación rígida de cada fibra sobre sí misma de tal

manera que  $Q'$  se mapea sobre  $Q$  como subconjuntos de  $\Pi$ .

Esta deformación es seguida de una deformación que preserva fibras que intercambia a las fibras y tal que la composición de las dos deformaciones deja a  $Q$  fija puntualmente.

El mapeo  $J_{\Pi}$  deformado de esta manera aparece en el rectángulo fibrado que se obtiene de  $\Pi$  cortando a lo largo de  $Q$  y de una fibra  $H$  como un mapeo  $C$  que preserva fibras que deja a las dos aristas paralelas  $Q$  fijas puntualmente y que traslada a los puntos interiores sólo a lo largo de sus fibras.



. Completamos el rectángulo a una banda (un espacio homeomorfo a  $\mathbb{R}^2 \times Q$ ) mediante la región que está sombreada en la figura y definimos un mapeo  $C': \text{banda} \rightarrow \text{banda}$  que coincide con  $C$  en el rectángulo y es la identidad en la región sombreada.

Sea  $T(t)$  un estiramiento de la banda "hacia arriba" que deja a la frontera inferior  $Q$  fija:

la ordenada  $E$  de un punto debe ir a  $tE$  ( $t \geq 0$ ).

Entonces  $T(t) \circ C' \circ T(t) =: C'(t)$  es un homeomorfismo de la banda que mapea preservando fibras al rectángulo sobre sí mismo para  $t \geq 1$ . Para  $t=1$ , este mapeo coincide con  $C$  en el rectángulo.

Conforme  $t \rightarrow \infty$ ,  $C'(t)$  se aproxima continuamente a la identidad.

Luego  $C$  y por tanto  $J_{\pi}$  se deforma a la identidad por una deformación que preserva fibras.

Describamos esta deformación de  $J_{\pi}$  mediante un parámetro  $\tau$  que decrece de 1 a  $\frac{1}{2}$ . Sea  $J_{\pi}(\tau)$  el mapeo correspondiente a  $\tau$ .

Para extender  $J_{\pi}$  al mapeo descrito  $J_V$ , consideremos  $V$  en un cilindro (de radio 1) e introduzcamos coordenadas cilíndricas  $z, \varphi, \rho$ .

Entonces para  $\rho = r = \text{constante}$ , obtenemos un toro concéntrico de radio  $r$ .

Mapeamos cada uno de los toros sobre sí mismo bajo un homeomorfismo que preserva fibras. El toro frontera se mapea bajo  $J_{\pi} = J_{\pi}(1)$ . Si el mapeo  $J_{\pi}(\tau)$  en las coordenadas  $z, \varphi$  está dado por

$$\left. \begin{aligned} z' &= z'(z, \varphi, z) \\ \varphi' &= \varphi'(z, \varphi, z) \end{aligned} \right\} (J_{\pi}(\tau))$$

el mapeo  $J_V$  para  $1 \geq \rho \geq \frac{1}{2}$  está definido

como

$$\left. \begin{aligned} z' &= z'(z, \varphi, \rho) \\ \varphi' &= \varphi'(z, \varphi, \rho) \\ \rho' &= \rho \end{aligned} \right\} (J_V)$$



mientras que para  $\frac{1}{2} \geq p \geq 0$  es la identidad.  
Esta construcción del homeomorfismo  $A_V$   
completa la prueba del lema  $\square$

## 5. Clases de Espacios Fibrados

Si  $w: I \rightarrow f$  es una trayectoria sobre la superficie de órbitas de un punto  $h_1$  a un punto  $h_2$ , tenemos para cada  $s \in I$  un punto  $h(s)$  de  $f$  y por tanto una fibra  $H(s)$  que se mapea en  $h(s)$ .

Orientamos cada fibra  $H(s)$  arbitrariamente. Si la misma fibra  $H$  pertenece a distintos valores de  $s$ , lo que sucede si  $w$  tiene puntos múltiples, le asignamos a  $H$  el mismo número de orientaciones mutuamente independientes. Sea  $\Omega_s$  una vecindad fibrada de  $H(s)$ , la correspondiente vecindad de órbitas  $\omega_s$  de  $h(s)$ , intersecta a  $w(I)$  en una vecindad  $N_s$  de  $h(s)$  en  $w(I)$ . Si para cada  $s$ , las fibras  $H(t)$  con  $h(t) \in N_s$  son homólogas en  $\Omega_s$ , dando una fibra excepcional de orden  $\mu$  cuenta  $\mu$  veces, decimos que las fibras están orientadas simultáneamente a lo largo de  $w$ .

Si  $w(I)$  está cubierta por una sola vecindad de órbitas, es claro que existe una orientación simultánea de las fibras a lo largo de  $w$ , porque solo necesitamos orientar todas las fibras que se proyectan en  $w$  de tal manera que sean homólogas en la vecindad fibrada correspondiente.

En el caso general,  $W(I)$ , por ser compacto, está cubierto por un número finito de vecindades de órbitas que descomponen a  $w$  en un número finito de segmentos, de tal manera que cada segmento está contenido en el interior de una vecindad de órbitas. Las fibras de los segmentos individuales se pueden orientar simultáneamente de tal manera que cada fibra en la intersección de dos segmentos obtenga la orientación igual de los dos segmentos. Por tanto las fibras se pueden orientar simultáneamente a lo largo de  $w$ .

Evidentemente las fibras se pueden orientar simultáneamente a lo largo de  $w$  solo de dos maneras: La orientación de las fibras a lo largo de  $w$  está determinada por la orientación de una sola fibra, por ejemplo, de la fibra inicial  $H(c)$ .

Bajo una orientación simultánea de las fibras de  $w$ , la orientación de la primera fibra se traslada a lo largo de  $w$  a la última fibra.

Si  $w$  y  $w'$  son curvas homotópicas de la superficie de órbitas que van ambas de  $h_1$  a  $h_2$  y si la fibra  $H_1$  está orientada, entonces la traslación de la orientación a  $H_2$  a lo largo de  $w$  y  $w'$  da el mismo resultado, i.e.,

la orientación de la fibra se preserva a lo largo de la trayectoria cerrada  $w(w')^{-1}$ .

En efecto,  $w(w')^{-1}$  es la frontera de un disco con singularidades, es decir, la imagen de una 2-célula  $e$  (por ejemplo, la imagen de la homotopía que existe entre  $w$  y  $w'$ ). Triangulamos  $e$  de tal manera que la imagen de cada 2-simplejo esté contenida en una vecindad de órbitas.

Como la trayectoria  $w(w')^{-1}$  se puede construir de trayectorias hechas de aristas de los 2-simplejos cancelando aristas que se recorren en direcciones opuestas y como la orientación de las fibras se preserva a lo largo de una trayectoria cerrada que esté contenida en una vecindad de órbitas, por tanto la orientación de las fibras se preserva a lo largo de  $w(w')^{-1}$ .

Si la orientación de las fibras se preserva a lo largo de  $w$ , asociamos a  $w$  el valor +1. En otro caso le asociamos a  $w$  el valor -1.

Como este valor es invariante bajo homotopías de  $w$ , a cada elemento de  $\pi_1(f)$  le corresponde un único valor.

Al producto  $ab$  le corresponde el producto

de los valores correspondientes a  $a$  y a  $b$  y el inverso de  $a$  tiene el mismo valor que  $a$  para  $a, b \in \pi_1(f)$ .

Por tanto tenemos un homomorfismo

$$\pi_1(f) \rightarrow \mathbb{Z}_2 \quad \text{y como el valor de cada conmutador } a b a^{-1} b^{-1} \text{ es } +1 \text{ para } a, b \in \pi_1(f), \text{ tenemos un homomorfismo inducido } H_1(f) \rightarrow \mathbb{Z}_2.$$

Esto implica que el valor de una curva está determinado por su clase de homología. Por tanto los valores de todas las curvas están determinados si se conocen los valores de un sistema fundamental de curvas del grupo fundamental, o incluso del grupo de homología.

Def. Dos espacios fibrados  $F$  y  $F'$  pertenecen a la misma clase si existe un homeomorfismo de las superficies de órbitas  $f$  y  $f'$  tal que cada curva se mapea a otra con el mismo valor (i.e. si existe un homeomorfismo  $h: f \rightarrow f'$  tal que el diagrama:

$$\begin{array}{ccc} \pi_1(f) & \xrightarrow{\text{valor}} & \mathbb{Z}_2 \\ h_* \downarrow & \nearrow & \\ \pi_1(f') & \xrightarrow{\text{valor}} & \end{array} \quad \text{conmuta}.$$

Por tanto la clase de un espacio fibrado está determinada por su "superficie de

### Orbitas evaluada".

Se tiene que dos espacios fibrados pertenecen a distintas clases si sus superficies de órbitas no son homeomorfas y que para una superficie simplemente conexa solo hay una clase porque cada curva sobre ella es nulhomotópica y por tanto tiene valor 11.

Si removemos una fibra del espacio fibrado y cerramos el hoyo producido con un nuevo toro sellador, la clase del espacio fibrado no cambia. Esto sucede porque la clase está determinada si conocemos el valor de una sola curva en cada clase de homología.

Los representantes de las clases de homología se pueden elegir de tal manera que no sean afectados al perforar y sellar el espacio fibrado. Es decir, en este proceso de cambiar el espacio no se afecta a la evaluación de las curvas y tampoco se afecta a la superficie de orbitas

Si removemos todas las fibras excepcionales de un espacio fibrado  $F$  y sellamos los hoyos producidos con toros sólidos ordinarios, obtenemos de  $F$  (pero no de manera única) otro espacio fibrado  $F_0$  sin fibras excepcionales y que pertenece a la misma clase que  $F$ .

Recíprocamente, podemos recuperar a  $F$  a partir de  $F_0$ .

Quisiéramos caracterizar a todos los espacios sin fibras excepcionales que pertenecen a la misma clase.

Teorema 3 Cada clase de espacios fibrados cerrados determina (y esta determinada) por un único espacio fibrado con frontera: el espacio clasificador  $\bar{F}_0$

El espacio clasificador es el único espacio fibrado con frontera y sin fibras excepcionales que tiene como superficie de órbitas a la superficie de órbitas agujerada que caracteriza a la clase. De  $\bar{F}_0$  obtenemos todos los espacios de la clase removiendo  $r$  fibras ( $r \in \mathbb{N}$ ) y sellando los  $r$  toros frontera con toros selladores arbitrarios.



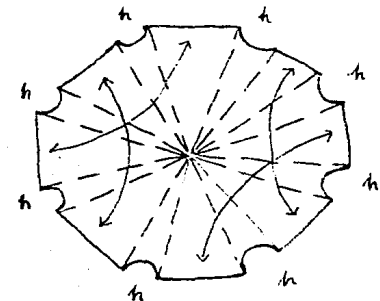
Dem.

Sea  $F_0$  un espacio fibrado cerrado sin fibras excepcionales y sea  $f$  la superficie de órbitas de  $F_0$ .

Cortemos a  $f$  en un polígono fundamental  $\bar{v}$ .

Cambiamos a  $\bar{v}$  en un polígono  $\bar{v}$  cortando sus vértices, lo que significa que cambiamos a la superficie  $f$  en una

superficie agujerada  $\bar{F}$ , cortando un 2-disco que contiene un vértice  $h$  de  $\bar{v}$ . Podemos pensar en  $\bar{F}$  como en la superficie de órbitas de un espacio  $\bar{F}_0$  que se obtiene



de  $F_0$  removiendo una fibra  $H$ . Entonces  $\bar{F}_0$  está determinado de manera única por  $F_0$ , porque por el lema 5,  $\bar{F}_0$  no depende de la elección de la fibra ordinaria removida.

Triangulamos  $\bar{F}$  usando las aristas del polígono  $\bar{v}$ . Por el lema 3, las fibras de  $\bar{F}_0$  que se mapean a puntos de un 2-simplejo de la triangulación, constituyen un toro sólido fibrado. Podemos construir al polígono  $\bar{v}$  paso a paso de 2-simplejos, de tal manera que después de cada paso obtenemos un 2-disco. Esta construcción corresponde a una

construcción de  $\bar{F}_0$  a partir de toros sólidos fibrados ordinarios que nos da un toro sólido ordinario  $\bar{V}$ . Las aristas de  $\bar{V}$  corresponden a anillos fibrados en la frontera de  $\bar{V}$ .

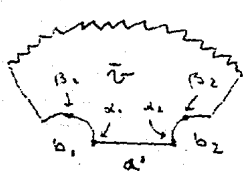
Si dos aristas  $a'$  y  $a''$  en  $\bar{V}$  se identifican con un arco  $a$  de  $\bar{F}$ , tenemos que, identificar los anillos correspondientes  $A'$  y  $A''$  en  $\bar{V}$  con un anillo fibrado  $A$  de  $\bar{F}_0$  bajo un homeomorfismo que preserve fibras.

Si identificamos de esta manera a todos los anillos correspondientes de  $\bar{V}$ , obtenemos a  $\bar{F}_0$ .

Si sabemos como se identifican dos aristas  $a'$  y  $a''$  de  $\bar{V}$  (bajo un mapa que preserve o cambie la orientación) y si la orientación de las fibras se preserva o cambia a lo largo de una curva cerrada de  $\bar{F}$  que intersecta a las aristas de  $\bar{V}$  en un solo punto de la arista  $a$ , entonces los anillos  $A'$  y  $A''$  se deben identificar bajo un homeomorfismo que preserve fibras que induzca en  $a'$  y  $a''$  el homeomorfismo conocido y que invierta o preserve la orientación de las fibras inducida por una orientación simultánea de las fibras de  $\bar{V}$  en  $A'$  y  $A''$ .

La identificación de los anillos  $A'$  y  $A''$  está determinada de manera única salvo un homeomorfismo que preserve orientación y preserve fibras de uno de los anillos en sí mismo, digamos  $A'$ . Este mapeo de  $A'$  se puede extender a un mapeo que preserve fibras del toro sólido  $\bar{V}$  que deja fijos a todos los otros anillos (que se corresponden en pares).

En efecto. Sean  $x_1$  y  $x_2$  los extremos de  $a'$ . Sea  $M$  un meridiano de  $\bar{V}$  tal que  $M \cap (\partial\bar{V} - A') = \{x_1, x_2\}$ ; sea  $j_1 := \overline{M - A'}$ ; por tanto  $j_1$  es un arco de  $x_1$  a  $x_2$  contenido en la cerradura del exterior de  $A'$  en  $\partial\bar{V}$ . Se tiene que  $j_1 \cup a'$  es una curva simple cerrada en  $\partial\bar{V}$  y  $j_1 \cup a' \sim M + \mathbb{R}H$  sobre  $\partial\bar{V}$  para alguna fibra  $H$ .



Sea  $b_1$  el arco en  $\bar{V}$  que es subconjunto de la frontera del disco retirado de  $\bar{V}$  y

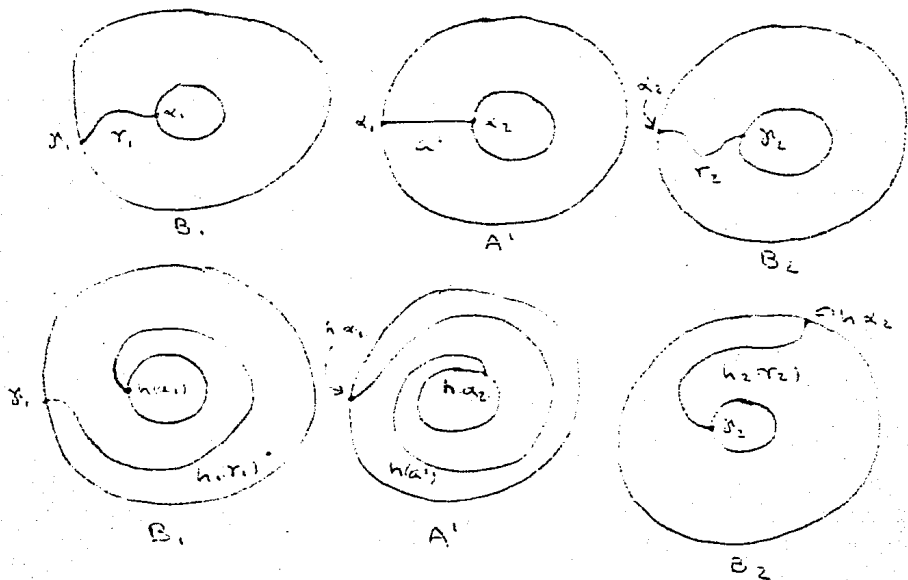
que tiene a  $x_1$  como extremo y sea  $b_2$  el arco en  $\bar{V}$  similar a  $b_1$ , que es asisacente a  $a'$  por  $x_2$ . Sea  $\beta_1$  un punto interior de  $b_1$  y  $\beta_2$  un punto interior de  $b_2$ . Sean  $B_1$  y  $B_2$  los anillos en  $\partial\bar{V}$  tales que su proyección en  $\bar{V}$  son los arcos  $\overline{\beta_1 x_1}$  y  $\overline{\beta_2 x_2}$  respectivamente.

Por tanto  $M \cap \partial B_1 = \{x_1, a_1\}$  y  $M \cap \partial B_2 = \{x_2, a_2\}$  para puntos  $a_1 \in \partial B_1$  y  $a_2 \in \partial B_2$

(esto se puede suponer sin perder generalidad escogiendo a  $M$  adecuadamente); sea  $j_2 = \overline{M - (B_1 \cup A' \cup B_2)}$ .

Sea  $r_1$  un arco contenido en  $B_1$  de  $\beta_1$  a  $x_1$  que intersecta a cada fibra en exactamente un punto y sea  $r_2$  un arco contenido en  $B_2$  de  $\beta_2$  a  $x_2$  que intersecta a cada fibra en exactamente un punto tales que  $j_2 \cup r_1 \cup a' \cup r_2 \sim M$  sobre  $\partial\bar{V}$  (eligiendo orientaciones adecuadas de  $j_2, a', r_2$  y  $r_1$ ).

Sea  $h$  un homeomorfismo de  $A'$  que preserva orientación y preserva fibras.



Elegimos  $h_1: B_1 \rightarrow B_1$  y  $h_2: B_2 \rightarrow B_2$  homeomorfismos que preservan fibras y preservan orientación tales que  $h_i$  restringido a la componente de la frontera de  $B_i$  que se proyecta

2.  $\beta_2$  en  $\bar{V}$  es la identidad,

$h_2(x_i) = h_1(x_i)$ , para  $i=1,2$ ; y  $\beta_2 \cup h_1(r_1) \cup$   
 $\cup h_1(A_1) \cup h_2(r_2) \sim M$  sobre  $\partial \bar{V}$ .

Luego podemos extender a  $h: A' \rightarrow A'$   
 a un homeomorfismo  $\tilde{g}: E$  que preserva  
 fibras  $\tilde{g}: \partial \bar{V} \rightarrow \partial \bar{V}$  definido como

$$\tilde{g}|_{A_1} = h_1, \quad \tilde{g}|_{B_1} = h_1, \quad \tilde{g}|_{B_2} = h_2 \quad \text{y}$$

$$\tilde{g}|_{\overline{\partial \bar{V}} - (A_1 \cup A_2 \cup B_1)} = \text{identidad.}$$

Como  $\tilde{g}$  manda a la clase de homología de  $M$  en sí misma,  $\tilde{g}$  se puede deformar a la identidad mediante una isotopía que preserva fibras, de acuerdo a la demostración del lema 6, y se puede extender por tanto a un homeomorfismo  $G: \bar{V} \rightarrow \bar{V}$  que preserva fibras y deja fijos puntualmente a los arillos de  $\partial \bar{V}$  que se proyectan en  $\bar{V}$  a aristas distintas de  $a'$ .

Por tanto, el mapeo de  $A'$  en  $A'$  no afecta el cerrado de  $\bar{V}$  en  $F_0$ . Luego todos los espacios fibrados con frontera obtenidos de esta manera se pueden mapear sobre  $\bar{F}_0$  bajo un homeomorfismo que preserva fibras.

Esto muestra que todos los espacios fibrados  $F_0$  sin fibras excepcionales que pertenecen a la misma clase dan el mismo espacio fibrado (con frontera)  $\bar{F}_0$  después de remover una fibra arbitraria. Si removemos  $r+1$  fibras a la vez de una, obtenemos otra vez el mismo espacio fibrado (que tiene  $r+1$  toros como frontera) que es el espacio obtenido de  $\bar{F}_0$  removiendo  $r$  fibras.

Empezamos con un espacio fibrado dado  $F$  y definimos su clase, i.e., su superficie de órbitas evaluada. Ahora empezaremos con una superficie cerrada evaluada arbitraria y mostraremos que es la superficie de órbitas evaluada de una clase.

Teorema 4 Para una superficie cerrada evaluada arbitraria existe una clase correspondiente de espacios fibrados. Una evaluación de la superficie se obtiene de una evaluación arbitraria de un sistema ca-

mónico de curvas fundamentales, i.e., las aristas de un polígono fundamental de Poincaré de la superficie.

Dem.

Cortamos a la superficie dada  $f$  en el polígono fundamental  $v$  como antes y cortamos todos los vértices de  $v$  para obtener  $\bar{v}$ .

El toro sólido ordinario  $\bar{v}$  que tiene a  $\bar{v}$  como disco meridional se puede convertir en un espacio fibrado (con frontera)  $\bar{F}_0$  identificando bajo un mapeo que preserva fibras a dos anillos  $A'$  y  $A''$  sobre la frontera de  $\bar{v}$  que se mapean a las aristas correspondientes  $a'$  y  $a''$  de  $\bar{v}$  de tal manera que una fibra de  $A'$  se identifica con una fibra de  $A''$  si el punto correspondiente de  $a'$  se identifica con el punto correspondiente de  $a''$ .

Esencialmente hay dos mapeos distintos de  $A'$  en  $A''$ , porque si orientamos las fibras de  $\bar{v}$  simultáneamente de tal manera que cualesquiera dos fibras orientadas sean homólogas, podemos mapear  $A'$  en  $A''$  bajo un mapeo que preserve la orientación de las fibras y bajo otro que la cambie.



En el primer caso la orientación de una fibra de  $A'$  se preserva a lo largo de una curva que vaya de un punto de  $A'$  a través del interior de  $\bar{V}$  a el punto equivalente de  $A''$ ; en el segundo caso, se cambia.

Si identificamos de esta manera cualesquiera dos anillos de  $\bar{V}$  que corresponden a aristas equivalentes de  $\bar{v}$  bajo alguno de los dos mapeos, obtenemos un espacio con frontera  $\Pi_0$  que consiste de fibras. Estas fibras de la frontera corresponden a la curva frontera de  $\bar{v}$ . Por tanto  $\Pi_0$  es un toro o una botella de Klein.

Para mostrar que  $\Pi_0$  es un toro observamos que, si recorremos la curva frontera de  $\bar{v}$ , cruzamos cada arista del polígono  $\bar{v}$  exactamente dos veces. En ambos casos la orientación de las fibras o bien se preserva o bien se cambia, así que si recorremos una vez la curva frontera, la orientación de las fibras se preserva. Esto solo sucede si  $\Pi_0$  es un toro. Porque si una curva en  $\Pi_0$  invierte la orientación, entonces forzadamente invierte la orientación de las fibras, por tanto al proyectarla en la curva frontera de  $\bar{v}$  invertiría la orientación de las fibras, lo que es imposible.

El espacio obtenido de  $\bar{V}$  bajo las identificaciones es por tanto un espacio fibrado con frontera sin fibras excepcionales. Su superficie de órbitas es la superficie  $f$  agujerada cuya evaluación se obtiene de una evaluación arbitraria de las aristas de un polígono fundamental (del polígono fundamental dual a  $v$ ).

Una evaluación arbitraria de las curvas fundamentales, i.e., de los generadores del grupo fundamental, proporciona una evaluación bien definida de todo el grupo fundamental; porque cada generador aparece exactamente dos veces en la única relación en la presentación del grupo fundamental; y por tanto, una evaluación arbitraria de los generadores da una evaluación bien definida de la única relación de definición del grupo fundamental y por tanto de cada relación entre los elementos del grupo fundamental.

Queremos resolver el problema de cuando y de cuantas maneras distintas la superficie de orbitas  $\bar{f}_0$  se puede encajar en el espacio clasificador  $\bar{F}_0$  en tal forma que cada fibra la intersecte en exactamente su punto imagen.

Cortamos a  $\bar{f}_0$  en un poligono fundamental  $\bar{u}$  que a diferencia del poligono  $\bar{u}$  de antes, contiene al agujero de  $\bar{f}_0$  en su interior, i.e.,  $\bar{u}$  es un 2-disco agujerado. Esto corresponde a cortar  $\bar{F}_0$  en un toro sólido ahuecado  $\bar{U}$ .

La superficie frontera "interior"  $\Pi_0$  de  $\bar{U}$  se mapea sobre la frontera del hoyo de  $\bar{u}$ , mientras que la frontera "exterior"  $\Sigma$  de  $\bar{U}$  está descompuesta en un número par  $2j$  de anillos equivalentes a pares que se mapean sobre las aristas del poligono  $\bar{u}$ .

Supongamos que  $\bar{f}_0$  está encajada en  $\bar{F}_0$ . Entonces  $\bar{f}_0$  aparece en  $\bar{U}$  como un anillo que intersecta a  $\Sigma$  necesariamente en una curva cruzada  $Q$  y a  $\Pi_0$  en una cruzada  $Q_0$ .

Si  $Q_1, \dots, Q_j, Q_{j+1}, \dots, Q_k$  son las  $2j$  aristas orientadas que conforman a  $Q$  y que corresponden a las  $2j$  superficies laterales de  $\Sigma$ , entonces si dos superficies laterales (anillos)  $A_i, A_{i'}$  se identifican, las dos aristas  $Q_i$  y  $Q_{i'}$  que contienen se tienen que identificar bajo un mapeo que preserva  $\epsilon$  que cambia la orientación.

(Recíprocamente) una curva cruzada  $Q$  con esta propiedad se puede siempre encontrar sobre  $\Sigma$  escogiendo los segmentos de recta cruzados  $Q_1, Q_2, \dots, Q_j$  arbitrariamente, pero de tal manera que los extremos vayan al mismo punto bajo la identificación de las superficies laterales.

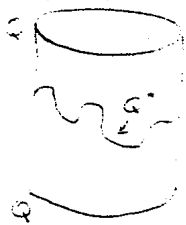
Entonces  $\bar{F}_0$  se puede encajar en  $\bar{F}_0$ ; por ejemplo, podemos cortar a  $\bar{U}$  en un cilindro ahuecado (anillo  $\times I$ ) y trazar desde los puntos de  $Q$  radios que sean ortogonales al eje del cilindro. Estos radios en  $\bar{U}$  conforman a la superficie de órbitas requerida.

Supongamos ahora que hemos encajado a  $\bar{F}_0$  en  $F_0$  de dos maneras distintas, con curvas cruzadas  $Q^+$  y  $Q^-$  en vez de  $Q$  y  $Q_0$ . Los segmentos  $Q_i^+$  y  $Q_i^-$  de  $Q^+$  y  $Q^-$  respectivamente que están en la misma cara lateral  $A_i$  de  $\Sigma$  tienen (después de elegir una orientación de  $\Sigma$ ) un cierto número de intersección  $x_i^+$ ; esto porque podemos suponer que  $Q_i^+$  y  $Q_i^-$  no tienen extremos en común, lo que se puede lograr mediante una pequeña deformación de las superficies de orbitas encajadas.

Como bajo la identificación de las caras laterales correspondientes  $A_i$  y  $A_i'$ , las rectas  $Q_i^+$  y  $Q_i^-$  se identifican con las rectas  $Q_i^-$  y  $Q_i^{+'}$  (respectivamente con  $-Q_i^-$  y  $-Q_i^{+'}$ ), por tanto el número de intersección es  $x_i^- = \pm x_i^+$ . Luego  $x = \sum_{i=1}^n x_i^- + x_i^+$ ; el número de intersección de  $Q$  y  $Q^+$  es cero, todas las caras laterales de  $\Sigma$  están identificadas del primer modo, i.e., si  $\bar{F}_0$  es orientable. En otro caso podemos elegir a  $Q^+$  tal que  $x$  es un número

por cada  $s$ . Por tanto  $s: \mathbb{R} \rightarrow \Sigma$  es orientable,  
 $Q$  se puede deformar sobre  $Q^*$  y por tanto  
 $Q_0 \in Q_0^*$ .

En efecto. Si  $Q \cap Q^* = \emptyset$  como  $Q$  y  $Q^*$  son  
 curvas esenciales sobre  $\Sigma$ , se tiene que  
 $Q$  y  $Q^*$  bordean un anillo fibrado en  $\Sigma$ ;  
 porque al cortar  $\Sigma$  a lo largo de  $Q$ ,  
 obtenemos un anillo fibrado en el que



$Q^*$  continúa siendo una  
 curva simple y esencial, por  
 tanto  $Q^*$  separa a este anillo  
 en dos anillos fibrados.  
 Luego existe una deforma-  
 ción de  $\Sigma$  que manda a  
 $Q^*$  sobre  $Q$  (por ejemplo, tomando

una traslación rígida de cada fibra  
 sobre sí misma).

Podemos suponer por tanto que  $Q \cap Q^* \neq \emptyset$ .

Considérese el cubricado universal

$$p: \mathbb{R}^2 \longrightarrow S^1 \times S^1 \cong \Sigma$$

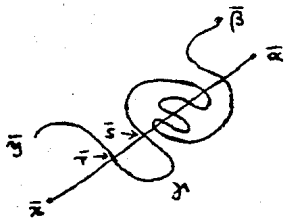
$$(x, y) \longmapsto (e^{ix}, e^{iy})$$

Como  $Q \cap Q^* \neq \emptyset$ , existen  $x \in Q$ ,  $y \in Q^*$ ;  $x, y \notin Q \cap Q^*$   
 y un abierto  $U$  de  $\Sigma$  tales que  $x, y \in U$  y

$p$  restringido a una componente  $W$  de  $p^{-1}(U)$  es homeomorfismo.

Sea  $\bar{x} := p^{-1}(x) \cap W$  y  $\bar{y} := p^{-1}(y) \cap W$

Eligiendo adecuadamente el homeomorfismo  $S^1 \times S^1 \cong \Sigma$ , podemos levantar a  $Q$ , mediante  $p$ , a un segmento de recta que comienza en  $\bar{x}$  y termina en un punto  $\bar{z} \in \mathbb{R}^2$ . Levantamos a  $Q^*$  a un arco  $w$  que comienza en  $\bar{y}$  y termina en un punto  $\bar{\beta} \in \mathbb{R}^2$ .



Por construcción, como  $Q$  y  $Q^*$  tienen número de intersección cero, por tanto el número de intersección del segmento  $\bar{x}\bar{z}$  y  $w$  es CERO.

Podemos, por tanto, encontrar un subarco  $\mathcal{J}$  de  $w$  con extremos  $\bar{r}$  y  $\bar{s}$  que esté contenido en un lado de la recta que contiene a  $\bar{x}\bar{z}$  y tal que  $\mathcal{J} \cap \bar{x}\bar{z} = w \cap \bar{r}\bar{s} = \{\bar{r}, \bar{s}\}$

Como  $p(\mathcal{J} - \{\bar{r}, \bar{s}\}) \subset \Sigma - Q$  y  $\Sigma - Q$  es "región fundamental",  $\mathcal{J} \cup \bar{r}\bar{s}$  está contenido en el interior de una región fundamen-

tal  $R$ . Como  $\mathcal{A} \cup \bar{\Gamma}$  es una curva simple cerrada en  $\mathbb{R}^2$ , por tanto es frontera de un disco en  $\mathbb{R}^2$ . Con técnicas similares a las de los lemas anteriores al lema 4, podemos mover al arco  $\mathcal{A}$  mediante este disco para deshacer la intersección de  $\bar{\Gamma}$  y  $\bar{\Gamma}$  en al menos los puntos  $\bar{\Gamma}$  y  $\bar{\Gamma}$  sin crear nuevas intersecciones, obteniendo una isotopía ambiental de  $\mathbb{R}^2$  que deja fijo al exterior de un subconjunto compacto de  $\text{int}(\mathbb{R}^2)$ . Como  $R$  es una región fundamental, esta isotopía se puede trasladar a  $\Sigma$  mediante  $p$ .

Luego hemos reducido en al menos dos puntos la intersección de  $Q$  y  $Q^*$ . Continuando de esta manera, podemos separar a  $Q$  y  $Q^*$  mediante una deformación de  $\Sigma$  y por tanto, deformar a  $Q^*$  sobre  $Q$ .



Se sigue que si  $\bar{F}_0$  es orientable, sobre la superficie frontera  $\Pi_0$  de  $\bar{F}_0$ , existe una curva cruzada  $Q_0$  que esta determinada salvo su orientacion y deformaciones, tal que  $Q_0$  es la interseccion de  $\Pi_0$  y la superficie de orbitas  $\bar{F}_0$  encajada en  $\bar{F}_0$ .

Si  $\bar{F}_0$  es no orientable, existen junto con  $Q_0$  una cantidad infinita de curvas cruzadas  $Q_0^i$  que pueden ser la interseccion de  $\bar{F}_0$  y  $\Pi_0$ . Todas estas difieren de  $Q_0$  por un múltiplo par de la fibra.

Observacion: Si cortamos el (toro fibrado)  $X \cong U$  a lo largo de la superficie de orbitas encajada  $\bar{F}_0$ , obtenemos un prisma fibrado agujerado en el cual las superficies fondo y tapa son equivalentes y las superficies laterales "exteriores" son equivalentes a pares.

## 6. Determinación de las Clases.

Sea  $F$  un espacio fibrado orientable.

Supongamos que su superficie de orbitas  $f$  es orientable de género  $p$ . Como  $F$  es orientable, la orientación de las fibras se preserva a lo largo de cualquier curva de la superficie. En efecto, si  $w$  es una curva cerrada de valor  $-1$  sobre  $f$  (que no pasa por puntos excepcionales), existe una deformación que preserva fibras del espacio  $F$ , que traza a la fibra  $H$  a lo largo de la curva  $w$ . Esto sucede porque como  $w$  es compacto, se puede cubrir con un número finito de vecindades de orbitas sin puntos excepcionales. Sobre cada vecindad de orbitas se puede aplicar la deformación que preserva fibras de la demostración del lema 5 y por tanto trasladar la fibra, paso a paso a lo largo de  $w$  a su posición inicial. En particular se puede elegir la deformación de tal manera que una vecindad de orbitas  $\mathcal{U}$  del punto  $h$ , regrese a ella misma bajo la identidad, porque a lo largo de  $w$  la orientación de la superficie no cambia (porque  $f$  es orientable). El toro sólido  $\Omega$  correspondiente se mapea sobre sí mismo bajo un mapeo que invierte la orientación. Pero la orientación de un espacio orientable no se invierte bajo

una deformación (un homeomorfismo isotópico a la identidad). Por tanto todas las curvas tienen valor  $+1$  y para cada superficie de órbitas orientable, existe una única clase de espacios fibrados orientables.

El producto topológico de una superficie de género  $g$  agujerada y  $S^1$  es un espacio fibrado orientable cuya superficie de órbitas es la superficie de género  $g$  agujerada y todas sus curvas tienen valor  $+1$ . Como este espacio no tiene fibras excepcionales, es el espacio clasificador  $\overline{F}_0$ .

Incluso si la superficie de órbitas  $f$  es no orientable, solo hay una única clase correspondiente de espacios orientables.

Como en el caso anterior observamos que la orientación de las fibras se preserva a lo largo de una curva sobre la superficie de órbitas que preserva orientación.

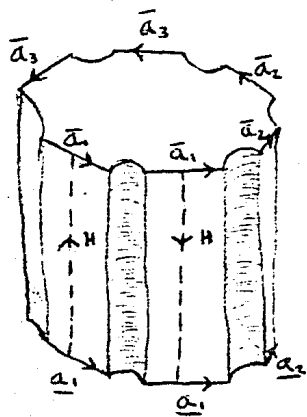
Pero si  $w$  es una curva de la superficie de órbitas que invierte la orientación, entonces el espacio es orien-

table solo si la orientación de las fibras se invierte a lo largo de  $w$ .

En efecto, supongamos que la orientación de las fibras se preserva a lo largo de  $w$ . Tomemos una deformación del espacio que preserve fibras que traza a la fibra  $H$  a lo largo de la curva  $w$  como en el caso anterior. Como se preserva la orientación de  $H$ , podemos elegir la deformación de tal manera que una vecindad fibrada  $\Omega$  de  $H$  regrese a ella misma bajo la identidad. Esto quiere decir que la correspondiente vecindad de órbitas  $\omega$  del punto  $h$  regresa a ella misma bajo la identidad al recorrer una vez a  $w$ ; por tanto  $w$  debe preservar la orientación sobre  $f$ , lo que es imposible.

Por tanto la evaluación está determinada por la superficie de órbitas.

El espacio clasificador no es en este caso el producto topológico de la superficie de genero  $k$  agujerada y  $S^1$ , sino que se tiene que construir con el método del teorema 4.



En la figura se muestra el caso  $R=3$ . En el prisma tenemos que identificar los discos tapa y fondo bajo la identidad. Las dos superficies laterales en las que se ha dibujado la fibra  $H$  se deben identificar de tal manera que

la arista  $a_i$  de una superficie se identifique con la arista de la otra superficie (pensando cada superficie como  $I \times I$ , hay que identificar las bajo una rotación de  $180^\circ$  c.r. a el centro del cuadrado, seguido de una reflexión c.r. a la fibra  $H$ ); De manera similar hay que identificar las otras cuatro superficies laterales sin sombrear. Los seis lados sombreados se convierten en el toro frontera del espacio clasificador y la superficie tapa se convierte en la superficie de órbitas.

Sea  $F$  un espacio fibrado no orientable. Supongamos que su superficie de órbitas  $f$  es orientable. Entonces el género de  $f$  es mayor que cero, porque de otra manera  $F$  sería orientable.

Para cada superficie de órbitas orientable de género mayor que cero existe exactamente una clase de espacios no orientables.

La afirmación es cierta para  $p=1$  ( $p$ : género de  $f$ ), porque si  $a$  y  $b$  son curvas simples cuyas clases generan a  $\pi_1(f)$ , entonces  $a$ , digamos, tiene valor  $-1$ . Podemos suponer entonces que  $b$  tiene valor  $-1$ ; si no es el caso, reemplazamos  $a$  y  $b$  por  $ab$ .

Supongamos que la afirmación es cierta para  $p-1$ . Probaremos que en una superficie de género  $p > 1$ , existe una asa en la cual todas las curvas tienen valor  $\pm 1$ . Elijamos un sistema fundamental de curvas de la superficie  $a_1, b_1, \dots, a_p, b_p$ . Si hay un par  $a_i, b_i$  con valor  $\pm 1$ , la afirmación es cierta. Si  $a_1$ , por ejemplo,

tiene valor  $-1$ , entonces podemos suponer que  $b_i$  tiene valor  $+1$  (si no, reemplazamos a  $b_i$  por  $a_i b_i$ ). Existe una curva  $a_j$  o  $b_j$  ( $j \geq 1$ ) de valor  $-1$ . Por tanto una de las curvas  $a_i a_j$  o  $a_i b_j$  tiene valor  $+1$  y junto con  $b_i$  genera una asa donde cada curva tiene valor  $+1$ .

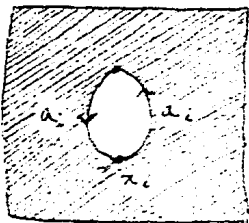
Recortando esta asa obtenemos una superficie agujerada de género  $p-1$ , que tiene algunas curvas con valor  $-1$ , y donde, por hipótesis de inducción, la afirmación es cierta. Por tanto la afirmación es cierta para  $f$ .

Como la clase es única, podemos elegir (sobre una superficie de género  $p \geq 1$ ) un sistema canónico tal que todas sus curvas tengan valor  $-1$ .



Supongamos que la superficie de órbitas  $f$  es no orientable de género  $R$ .

Representamos a  $f$  como una esfera con  $R$  gorros cruzados  $x_1, \dots, x_R$ .



Sea  $a_i$  una curva simple cerrada que intersecta al gorro  $x_i$  en exactamente un punto ( $a_i$  invierte orientación por tanto). Entonces  $H_1(f) = \langle a_1, \dots, a_R; 2a_1 + \dots + 2a_R \rangle$

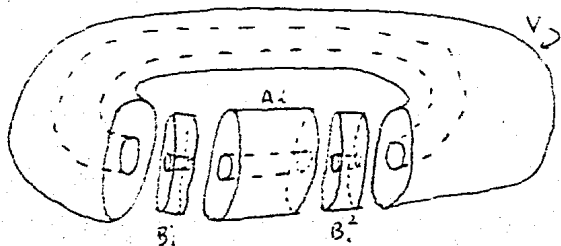
Por tanto la evaluación de  $f$  está determinada por la evaluación de  $a_1, a_2, \dots, a_R$ . Si todas las  $a_i$  tienen valor  $-1$ , entonces  $F$  es orientable.

En efecto. Elegimos para cada  $i$  una curva cerrada simple  $a'_i$  sobre  $f$  homóloga a  $a_i$ , de tal manera que  $\bigcap_{i=1}^R a'_i = \text{un punto}$ . Entonces, recortando a  $f$  a lo largo de las  $a'_i$ , obtenemos un polígono  $\mathcal{U}$  con frontera  $a'_1 a'_1 a'_1 a'_1 \dots a'_R a'_R$ . Recortamos los vértices de  $\mathcal{U}$  y obtenemos el polígono  $\bar{\mathcal{U}}$ , lo que significa que recortamos un disco pequeño de  $f$  que contiene al punto de inter-

sección de las  $\bar{a}_i$  en su interior.

Sea  $\bar{V}$  el prisma  $\bar{E} \times I$ .  $I$  = intervalo los discos tapa y fondo del prisma  $\bar{V}$  bajo la identificación obtenemos un toro sólido  $V$ .  $\bar{E} \times V$  hay que identificar las superficies laterales que contienen a las aristas  $\bar{a}_i = \bar{a}_i \times 0$  y  $\bar{a}_i = \bar{a}_i \times 1$ , que se han convertido en anillos después de la identificación de las tapas, para obtener el espacio  $\bar{E}_0$  cuya frontera es un toro bidimensional.

Podemos descomponer a  $\bar{E}_0$  en el toro sólido  $V$  y  $n$  toros sólidos  $A_i$ . donde  $A_i$  contiene al anillo en el que se han identificado las superficies laterales que contienen a las aristas  $\bar{a}_i$  y  $\bar{a}_i$ . (i.e.  $A_i$  es el anillo "engordado un poco"). De tal manera que  $A_i \cap V =$  = unión ajena de dos toros sólidos  $= B_i^1 \cup B_i^2$ .



Sea  $V_i$  el espacio que se obtiene al identificar en  $V$  a los anillos que contienen a las aristas  $\bar{a}_i$  y  $\underline{a}_i$ , para  $i=1, \dots, n$ . Luego,  $V_{i+1}$  se obtiene de  $V_i$  identificando los anillos que contienen a las aristas  $\bar{a}_{i+1}$  y  $\underline{a}_{i+1}$  y en particular  $V_n = \bar{V} = \underline{V}$ .

Sean  $i: V \cap A_i \rightarrow V$  y  $j: V \cap A_i \rightarrow A_i$  las inclusiones. Como  $V \cong A_i \cong \mathbb{Z}^2 \times S^1 \cong S^1$ , por tanto  $H_*(V) \cong H_*(A_i) \cong \mathbb{Z}$ ; similarmente  $H_*(V \cap A_i) \cong \mathbb{Z} \oplus \mathbb{Z}$ .

Como  $\bar{a}_i$  tiene valor  $-1$ , la identificación de  $V$  en  $V_i$  es tal que:

$$\begin{array}{ccc} (\text{inclusion})_* : H_*(B_i^+) \rightarrow H_*(A_i) & & \\ \downarrow 1 & \longrightarrow & \downarrow 1 \end{array}$$

$$\begin{array}{ccc} (\text{inclusion})_* : H_*(B_i^-) \rightarrow H_*(A_i) & & \\ \downarrow 1 & \longrightarrow & \downarrow -1 \end{array}$$

$$\begin{array}{ccc} (\text{inclusion})_* : H_*(B_i^+) \rightarrow H_*(V) & & \\ \downarrow 1 & \longrightarrow & \downarrow 1 \end{array}$$

$$\begin{array}{ccc} (\text{inclusion})_* : H_*(B_i^-) \rightarrow H_*(V) & & \\ \downarrow 1 & \longrightarrow & \downarrow 1 \end{array}$$

Por tanto

$$\begin{array}{ccc} (\bar{i}_*, \underline{j}_*) : H_*(V \cap A_i) \rightarrow H_*(V) \oplus H_*(A_i) & & \\ (1, 0) & \longrightarrow & (1, 1) \\ (0, 1) & \longrightarrow & (1, -1) \end{array}$$

es un homomorfismo.

Como se tiene la siguiente sucesión exacta (sucesión de Mayer-Vietoris)

$$H_2(V) \oplus H_2(A_1) \rightarrow H_2(V_1) \rightarrow H_1(V \cap A_1) \xrightarrow{(i_1, j_1)} H_1(V) \oplus H_1(A_1)$$

y como  $H_2(V) \cong H_2(A_1) \cong 0$  porque  $V \cong A_1 \cong S^1$ ,

por tanto la siguiente sucesión es exacta:

$$0 \rightarrow H_2(V_1) \rightarrow 0$$

Ahora, si  $j: V_1 \cap A_{i+1} \hookrightarrow A_{i+1}$

e  $i: V_1 \cap A_{i+1} \hookrightarrow V_1$  son las inclusiones, por argumentos similares se tiene

que:  $(i_1, j_1): H_1(V_1 \cap A_{i+1}) \rightarrow H_1(V_1) \oplus H_1(A_{i+1})$

es un homomorfismo, para cada  $i$ .

Como se tiene también la sucesión exacta:

$$H_2(V_i) \oplus H_2(A_{i+1}) \rightarrow H_2(V_{i+1}) \rightarrow H_1(V_i \cap A_{i+1}) \xrightarrow{(i_1, j_1)}$$

$$\xrightarrow{(i_1, j_1)} H_1(V_i) \oplus H_1(A_{i+1})$$

para cada  $i$ , por un argumento de inducción, se tiene que

$$H_2(V_i) = 0 \quad \text{para } i=1, \dots, k.$$

En particular  $H_2(\bar{F}_0) = 0$ .

El espacio  $F$  se obtiene de  $\bar{F}_0$  pegando un toro sólido  $W$  por la frontera, en la frontera de  $\bar{F}_0$ ; "engordando un poco" a  $W$ , tenemos la sucesión exacta (suc. de Mayer-Vietoris):

$$H_3(\bar{F}_0) \oplus H_3(W) \rightarrow H_3(F) \rightarrow H_2(\bar{F}_0 \cap W) \rightarrow \\ \rightarrow H_2(\bar{F}_0) \oplus H_2(W)$$

Como  $\bar{F}_0$  es 3-variedad con frontera, por tanto  $H_3(\bar{F}_0) = 0$ ; como  $\bar{F}_0 \cap W \cong S^1 \times S^1$ , por tanto  $H_2(\bar{F}_0 \cap W) \cong \mathbb{Z}$ ; como  $W \cong S^1$ , por tanto  $H_2(W) = 0$ ; y como  $H_2(\bar{F}_0) = 0$ , por tanto se tiene la sucesión exacta:

$$0 \rightarrow H_3(F) \rightarrow \mathbb{Z} \rightarrow 0$$

por tanto  $H_3(F) \cong \mathbb{Z}$  y por tanto

$F$  es orientable (porque  $F$  es una 3-variedad cerrada).

Por tanto al menos una  $a_i$  tiene valor  $+1$ .

Tenemos los siguientes casos:

Caso (a):  $a_i$  tiene valor  $+1$  para cada  $i$ .

Entonces  $F \equiv +x^2$  y  $F_0 \equiv (f_1 a_1; \dots; a_n) \times S^1$ .

Caso (b)  $R_1$  curvas tienen valor  $+1$  y

$R_2 = R - R_1$  tienen valor  $-1$  ( $R_1 > 0$  y  $R_2 > 0$ ).

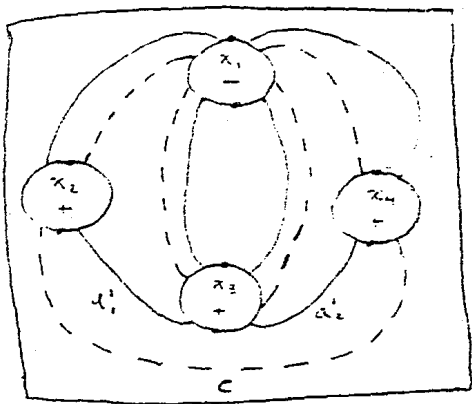
Supongamos que  $f \neq \mathbb{D}^2$  ( $R=1$ ) y  $f \neq$  botella de Klein ( $R=2$ ).

Podemos suponer que  $R_1 \in \{1, 2\}$ . Esto es claro para  $R=3$ . Supongamos que  $R > 3$  y que  $R_1 \notin \{1, 2\}$ ; existen al menos

tres curvas  $a_i$ , digamos  $a_1, a_2$  y  $a_3$ , de valor  $+1$  y una, digamos  $a_4$ , de valor  $-1$ .

Sea  $\ell$  una curva cerrada y simple que separa a los gorros cruzados  $x_1, x_2, x_3$  y  $x_4$  de los otros.  $\ell$  separa a  $f$  en  $f_1 \cup f_2$ , donde  $f_1$  es una esfera con los gorros cruzados  $x_1, x_2, x_3$  y  $x_4$  y una frontera:  $\ell$ .

Sobre  $f_1$  hay dos curvas simples cerradas y ajenas,  $a_1, a_2, a_3$  y  $a_4$ , con  $a_1 + a_2 + a_3$  de valor  $+1$  y  $a_4$  de valor  $-1$ .



Existe una curva cerrada simple  $C$  que invierte la orientación y que es ajena a  $a_1, a_2$ , de tal manera que la superficie  $\bar{Q}$  obtenida de  $Q$  recorriendo  $x_i$  a lo largo de  $a_1, a_2$

resulta ser no orientable. Podemos representar a  $x_1$  como una esfera con dos gorros cruzados y tres curvas frontera:  $i, a_1^2$  y  $a_2^2$ .  $\bar{Q}$  se obtiene de  $\bar{Q}$  identificando puntos diametralmente opuestos de  $a_1^2$  y  $a_2^2$ .

Pegando nuevamente a  $\bar{Q}$  por  $i$ , obtenemos una nueva representación de  $\bar{Q}$  como una esfera con  $R$  gorros cruzados. Como  $a_1$  y  $a_2$  tienen ahora valor  $-1$  el número de gorros cruzados se ha incrementado en al menos 1. Continuando de esta manera, obtenemos  $R_1=1$  o  $R_1=2$ .

Mostraremos ahora que las dos últimas evaluaciones son distintas.

Sea  $d$  una curva simple cerrada sobre  $f$  tal que

$$d \sim \sum_{i=1}^n \alpha_i \gamma_i \quad \text{y} \quad 2d \sim \sum_{i=1}^n 2\alpha_i \gamma_i \quad (1)$$

Por ejemplo se puede elegir como una curva simple cerrada que interseca cada gorro cruzado exactamente una vez. En este caso contando a  $f$  a lo largo de  $d$  obtenemos una superficie orientable con uno o dos agujeros, dependiendo de si  $R_2$  es impar o par.  $d$  se llama una curva cerrada simple productora de orientación. Como  $2d \sim \sum_{i=1}^n 2\alpha_i \gamma_i$  es una consecuencia de  $2d \sim \sum_{i=1}^n 2\alpha_i \gamma_i$  por tanto  $\sum 2\alpha_i d_i$  difiere de  $\sum 2\alpha_i$  solo en un factor y por tanto todos los  $\alpha_i$  son el mismo número impar, porque de otra manera daría. Por tanto  $d$  tiene valor  $(-1)^{R_2}$ .

Por tanto la evaluación de  $f$  con  $R_2$  par es distinta de la evaluación con  $R_2$  impar; en particular las



evaluaciones con  $R_1=1$  y  $R_1=2$  generan evaluaciones distintas de  $f$ .

La investigación de todas las clases de espacios fibrados está completa.

Teorema Para cada superficie de órbitas orientable  $f$  de género  $p$  existe una única clase de espacios fibrados orientables y si  $p > 0$ , exactamente una clase de espacios no orientables.

Para cada superficie de órbitas  $f$  no orientable de género  $R$  existe una única clase de espacios fibrados orientables y si  $R > 2$  existen exactamente tres clases de espacios fibrados no orientables; para  $R=1$  existe una única clase; para  $R=2$  existen dos clases.

La tabla siguiente exhibe las distintas clases.  $O, N$  se refieren a la orientabilidad o no orientabilidad de  $F$ ;  $o, n$  a la superficie de órbitas, cuyo género se debe dar para que la clase este determinada. Nótese que la clase es por tanto el espacio clasificador  $\overline{F}_0$  está determinado de manera única por la evaluación de las curvas de  $F$ .

$Oo$  Todas las curvas tienen valor  $+1$ ;  
 $\overline{F}_0 \cong (\text{toro}) \times S^1$

$On$  Todas las curvas de un solo lado tienen valor  $-1$

$No$  Hay curvas de valor  $-1$

$NnI$  Todas las curvas tienen valor  $+1$ ;  
 $\overline{F}_0 \cong (\text{toro}) \times S^1$

$NnII$  Hay curvas de un solo lado de valor  $-1$  y de valor  $+1$ ; cada curva simple cerrada productora de orientación tiene valor  $-1$

$NnIII$  Hay curvas de un solo lado de valor  $-1$  y de valor  $+1$ ; cada curva simple cerrada productora de orientación tiene valor  $+1$

Para  $p=0$  solo hay la clase  $C_0$ ; para  $R=1$  solo  $C_n$  y  $N_n I$ ; para  $R=2$  solo  $C_n$ ,  $N_n I$  y  $N_n II$ .  $\overline{F}_n$  se puede construir con los métodos del teorema 4.

## 7. Los Espacios Fibrados Orientables.

Procederemos a determinar los invariantes del espacio fibrado orientable  $F$ .

Orientamos el espacio y los invariantes dependerán de la orientación elegida.

Obtendremos estos invariantes removiendo las fibras excepcionales de  $F$  y reemplazándolas por toros sólidos ordinarios cuyos meridianos están determinados de manera única por el espacio fibrado  $F$  y por su orientación.

De esta manera obtendremos del espacio orientado  $F$  un único espacio orientado  $F_0$  sin fibras excepcionales.

Sea  $C_1$  una fibra excepcional de  $F$  y  $\Omega_1$  una vecindad fibrada de  $C_1$ .

El toro sólido  $\Omega_1$  obtiene una cierta orientación de  $F$  que induce una cierta orientación  $\pi_1$  sobre el toro frontera  $\Pi_1$  de  $\Omega_1$ .

Sobre  $\Pi_1$  elegimos una curva cruzada orientada  $Q$  y una fibra orientada  $H$ .

Estas dos curvas determinan una orientación  $o'$  sobre  $\Pi_1$ : cortando a  $\Pi_1$  a lo largo de  $Q$  y  $H$  en un rectángulo, se determina una cierta orientación de este por la sucesión  $QHQ'H'$ . Invertiendo la orientación de una de las curvas  $Q$  y  $H$ , invertimos la orientación  $o'$ . Pero  $o'$  no cambia invirtiendo la orientación de ambas curvas simultáneamente. Orientamos  $Q$  y  $H$  de tal manera que  $o'$  coincida con  $o$ . Esto se puede expresar diciendo que al considerar la orientación  $o$ , las curvas  $Q$  y  $H$  deben tener número de intersección  $+1$ .

Otro par de curvas  $Q_1$  y  $H_1$ , que determinan la misma orientación  $o = o'$  sobre  $\Pi_1$ , está relacionado con  $Q$  y  $H$  (sobre  $\Pi_1$ ) como sigue:

$$H \sim \epsilon H_1 ; Q \sim \epsilon Q_1 + \gamma H_1 \quad (\epsilon = \pm 1, \gamma \in \mathbb{Z}) \quad (1)$$

Porque si  $Q_1$  y  $H_1$  determinan la misma orientación que  $Q$  y  $H$ , el determinante de la transformación debe tener valor  $+1$ . Por las fórmulas de transformación (1) a (4) de §1,  $H \sim \varepsilon_1 H_1$ ,  $Q \sim \varepsilon_2 Q_1 + \gamma H_1$  ( $\varepsilon_i = \pm 1$ ), luego  $\det \begin{pmatrix} \varepsilon_2 & \gamma \\ \gamma & \varepsilon_1 \end{pmatrix} = \varepsilon_2 \varepsilon_1 = +1$ , por tanto  $\varepsilon_1 = \varepsilon_2 (= \varepsilon)$ .

La curva meridiana  $M_1$  del toro sólido  $\Omega_1$  se puede expresar en términos de  $Q$  y  $H$  como

$$\begin{aligned} M_1 &\sim \alpha Q + \beta H \sim \\ &\sim \varepsilon \alpha Q_1 + (\alpha \gamma + \varepsilon \beta) H_1 = \alpha_1 Q_1 + \beta_1 H_1. \quad (2) \end{aligned}$$

Podemos elegir a  $Q_1$  y  $H_1$  tales que

$$\alpha_1 > 1 \quad \text{y} \quad 0 < \beta_1 < \alpha_1 \quad (3)$$

lo que determina a  $\varepsilon$  y a  $\gamma$ .

Si en vez de  $M_1$  elegimos a la curva meridiana con orientación opuesta, solo tenemos que invertir las orientaciones de  $Q_1$  y  $H_1$  para obtener

las misma relación de homología  $M_1 \sim \alpha \cdot Q_1 + \beta \cdot H_1$  (es decir, los números  $\alpha, \beta$  son los mismos para  $M_1$  y para  $-M_1$ ).

Por tanto los números  $\alpha$  y  $\beta$  están determinados de manera única por el meridiano no orientado de  $\Omega_1$ , y la curva cruzada  $Q_1$  está determinada salvo por su orientación.

Removemos ahora a  $\Omega_1$  y sellamos el espacio con un nuevo toro sellador  $V_1$  que tiene a  $Q_1$  como su meridiano.

Por tanto obtuvimos un espacio fibrado orientable  $F_1$ , a partir de  $F$ , que está determinado de manera única, la orientación de  $F$  y la fibra excepcional removida, porque  $F_1$  es independiente de cual vecindad fibrada  $\Omega_1$  de  $C_1$  se remueva, ya que por el lema 4, podemos deformar una vecindad fibrada



arbitraria de  $C_1$  sobre cualquier otra bajo una deformación que preserve fibras de  $F$ .

Aplicamos esta construcción a  $F_1$ , i.e., removemos una fibra excepcional  $C_2$  y obtenemos el par  $x_2, \beta_2$  como invariantes adicionales del espacio orientado  $F$ . Continuando este proceso obtenemos finalmente un espacio orientado  $F_0$  sin fibras excepcionales que está determinado por  $F$  y por su orientación.

$F_0$  es independiente del orden en el que removimos las fibras excepcionales de  $F$  porque podemos remover todas al mismo tiempo eligiendo vecindades fibradas suficientemente pequeñas.

De  $F_0$  removemos una vecindad fibrada  $V_0$  arbitraria y obtenemos el espacio clasificador  $\tilde{F}_0$  de

$F$ . Como  $\bar{F}_0$  es orientable, existe una curva cruzada  $G_0$  sobre el toro frontera  $\bar{N}_0$  de  $\bar{F}_0$ , que está determinada, salvo su orientación y deformaciones, como la frontera de la superficie de órbitas  $\bar{F}_0$  de  $\bar{F}_0$  encajada en  $\bar{F}_0$ . Orientamos  $G_0$  y una fibra  $H_0$  de  $N_0$  de tal manera que induzcan sobre  $N_0$  la misma orientación que la inducida por  $V_0$ . La curva meridiano  $M_0$  de  $V_0$ , que es una curva cruzada, tiene en el sistema  $G_0, H_0$ , la forma

$$M_0 \sim G_0 + bH_0. \quad (4)$$

El entero  $b$  está determinado por el espacio orientado  $F_0$ , por tanto por  $F$  y su orientación.

Esto nos da un sistema completo de invariantes de  $F$  por el siguiente:

Teorema 5 Un espacio 2-esfera orientable  $F$  junto con su orientación está determinada por una correspondencia uno a uno por un sistema de invariantes

$$(0, 0; P | b; \alpha_1, \beta_1; \alpha_2, \beta_2; \dots; \alpha_r, \beta_r)$$

$$(0, n; K | b; \alpha_1, \beta_1; \alpha_2, \beta_2; \dots; \alpha_r, \beta_r)$$

$O$  significa que  $F$  es orientable,  $o$  ( $n$ ) significa que la superficie de órbitas es orientable (no orientable).  $P$  y  $K$  son el género (número de asas o de gorros cruzados) de la superficie de órbitas orientable (respectivamente no orientable). Los tres símbolos de la izquierda determinan por tanto la clase de  $F$ . El número  $b$  determina de manera única la construcción del espacio  $F_0$  a partir del espacio clasificador  $\overline{F}_0$ . Los números  $\alpha_i, \beta_i$  determinan de manera única (uno a uno) las fibras excepcionales en  $F$ .

Vimos como encontrar un sistema de invariantes para un espacio orientado  $F$  dado. Para mostrar que este sistema es completo, construiremos para un sistema dado de invariantes un único espacio orientado  $F$ .

Los números  $p$  (respec.  $k$ ) determinan la clase y por tanto, por el teorema 3, al espacio clasificador  $\overline{F}_0$ .

Podemos orientar a  $\overline{F}_0$  arbitrariamente, porque existe un homeomorfismo que preserva fibras y que invierte la orientación de  $\overline{F}_0$  en sí mismo (reflexión del toro sólido  $\overline{V}$  del teorema 3 c.r. a un disco meridional, por ejemplo).

Esto determina a la curva cruzada  $Q_0$  del toro  $\Pi_0$ , frontera de  $\overline{F}_0$  y a una fibra  $H_0$  salvo inversión simultánea de su orientación.

$b$  determina a  $M_0 \sim Q_0 + bH_0$  salvo

orientación y por tanto el cerrado de  $\overline{F}_0$  a  $F_0$ .

De  $F_0$  debemos remover  $r$  fibras arbitrarias; el espacio resultante que tiene como frontera a  $r$  toros es independiente de la elección de las fibras removidas por el lema 5.

Sobre cada uno de los toros frontera hay una curva cruzada distinguida  $Q_i$  (determinada salvo su orientación), a saber, el meridiano del toro sólido removido; y la orientación de  $F_0$  determina por tanto un par de curvas  $Q_i$  y  $H_i$  salvo inversión simultánea de su orientación. Esto determina de manera al meridiano  $M_i = \alpha_i Q_i + \beta_i H_i$  del nuevo toro sellador (salvo su orientación) y por tanto de manera única el cerrado de  $F_0$  a  $F$ .  $\square$

El teorema nos dice cuando dos espacios fibrados orientables con orientación dada son homeomorfos bajo un homeomorfismo que preserva fibras y orientación.

Describamos ahora para un espacio fibrado orientado un "diagrama" útil  $\bar{V}_0$  que junto con  $\bar{F}_0$  determina al espacio.

Elegimos en  $F$  vecindades fibradas de las fibras excepcionales  $\Omega_i$  ajenas.

Entonces los toros selladores  $V_i$  que reemplazan a los toros removidos en  $F_0$  son ajenos.

Podemos elegir a la vecindad fibrada  $V_0$  que removimos de  $F_0$  para obtener al espacio clasificador  $\bar{F}_0$  de tal manera que contenga a todos los toros selladores  $V_i$  en su interior debido al lema 3.

El espacio fibrado con frontera  $\bar{V}_0$  que se obtiene de  $V_0$  después de remover a los  $V_i$ 's, que es el pro-

topológico de  $S^1$  y un disco con  $r$  agujeros, es el diagrama del espacio fibrado  $F$  si la curva cruzada  $Q_0$  de  $\bar{F}_0$  se traza sobre el toro frontera  $\Pi_0$  de  $\bar{V}_0$  y las curvas meridianales  $M_i$  de los toros removidos  $\mathbb{R}_i$  se trazan sobre los  $r$  toros frontera restantes  $\Pi_i$ .

Obviamente  $Q_0$  determina como se debe pegar sobre el espacio clasificador  $\bar{F}_0$  (que está determinado por  $p$  (respect.  $k$ )) al toro frontera  $\Pi_0$ .

Por el lema 6,  $M_i$  determina el sellado del toro removido  $\mathbb{R}_i$ . Además, si orientamos a  $\bar{V}_0$ , obtenemos una orientación de  $F$ .

Para obtener a los invariantes  $b_1, \beta_1, \dots, \beta_r, \beta_r$  de  $F$  a partir del diagrama  $\bar{V}_0$ , orientamos las fibras de  $\bar{V}_0$  simultáneamente, i.e., de tal manera que sean homólogas en  $\bar{V}_0$ . Entonces la orientación de las fibras

$H_0, H_1, \dots, H_r$  sobre los toros frontera  $\Pi_0, \Pi_1, \dots, \Pi_r$  está determinada. Por tanto las curvas cruzadas  $Q_1, \dots, Q_r$  sobre los toros frontera están determinadas junto con su orientación, requiriendo que la orientación sobre  $\Pi_i$  inducida por  $Q_i$  y  $H_i$  sea la opuesta a la orientación inducida por  $\bar{V}_0$  y requiriendo que los números  $\alpha_i, \beta_i$  en

$$M_i \sim \alpha_i Q_i + \beta_i H_i \text{ (sobre } \Pi_i) \quad (5)$$

satisfagan que  $\alpha_i > 1$  y  $0 < \beta_i < \alpha_i$ .

Los  $Q_i$  son meridianos de los toros selladores  $V_i$ . Cerrando  $\bar{V}_0$  con los  $V_i$ 's, obtenemos un toro sólido ordinario  $V_0$  con el meridiano

$$M_0 \sim Q_0 + b H_0 \text{ (sobre } \Pi_0). \quad (6)$$

Y se tiene que

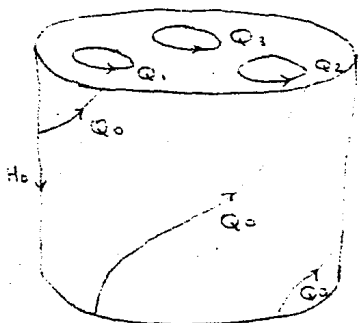
$$M_0 \sim Q_1 + Q_2 + \dots + Q_r \text{ (en } \bar{V}_0)$$



porque, por ejemplo,  $M_0, Q_1, \dots, Q_r$  bordean al disco con  $r$  agujeros "meridional" de  $\bar{V}_0$ .

Y por tanto

$$-Q_0 + Q_1 + \dots + Q_r \sim b H_0 \quad (\text{en } \bar{V}_0) \quad (7)$$



La figura muestra a  $\bar{V}_0$  en el caso  $r=3, b=4$ .

Queremos ahora averiguar como cambian los invariantes si se invierte la orientación de  $F$ .

Teorema 6 El espacio fibrado orientado  $F$  con invariantes

$$(0, 0; p | b; \alpha, \beta; \dots; \alpha_r, \beta_r)$$

$$[\text{respec. } (0, m; k | b; \alpha, \beta; \dots; \alpha_r, \beta_r)]$$

tiene, después de invertir su orientación, los invariantes

$$(0, 0; p | -r - b; \alpha_1, \alpha_1 - \beta_1; \dots; \alpha_r, \alpha_r - \beta_r)$$

$$[\text{respec. } (0, n; k | -r - b; \alpha_1, \alpha_1 - \beta_1; \dots; \alpha_r, \alpha_r - \beta_r)].$$

Dem. Invertir la orientación de  $F$ , corresponde a invertir la orientación de  $\bar{V}_0$  pero dejando fija la orientación de las curvas  $M_i$  y  $Q_0$ . Es útil invertir las orientaciones de las fibras de  $\bar{V}_0$  simultáneamente; sean  $H'_0, H'_1, \dots, H'_r$  las fibras  $H_0, H_1, \dots, H_r$  con orientación opuesta:

$$H'_i \sim -H_i \quad (\text{sobre } \Pi_i, i=0, 1, \dots, r) \quad (8)$$

Debemos reemplazar a  $Q_1, Q_2, \dots, Q_r$  por las curvas cruzadas  $Q'_1, Q'_2, \dots, Q'_r$ .

Entonces

$$Q'_i \sim Q_i + y_i H_i \quad (\text{sobre } \Pi_i, i=1, 2, \dots, r) \quad (9)$$

El coeficiente de  $Q_i$  es  $+1$  porque el determinante de la transformación de la pareja (8) y (9) tiene valor  $-1$ , así que la orientación de  $\bar{V}_0$  se invierte y por tanto la orientación de  $\bar{\Pi}_i$  también.

Por la misma razón

$$Q_0' \sim Q_0 \text{ (sobre } \bar{\Pi}_0) \quad (10)$$

Entonces tenemos para el meridiano  $M_i$

$$\begin{aligned} M_i &\sim x_i Q_i + \beta_i H_i \sim \\ &\sim x_i Q_i + (x_i y_i - \beta_i) H_i = \\ &= x_i Q_i + \beta_i H_i \end{aligned}$$

La condición  $x_i > 1$  y  $0 < \beta_i < x_i$  nos da  $x_i = x_i$  y  $\beta_i = x_i - \beta_i$ , i.e.,  $y_i = 1$ .

$b'$  está determinado (como  $b$  de (7)) por

$$-Q_0' + Q_1' + \dots + Q_r' \sim b' H_0' \quad (11)$$

Usando (7)-(10) obtenemos  $b' = -r - b$ .

8. Los Espacios Fibrados  
no Orientables

~~~~~

Caracterizaremos los espacios fibrados no orientables mediante invariantes que dependen exclusivamente del espacio (porque no hay orientación posible).

Sea  $F$  un espacio fibrado no orientable. Sea  $C_1$  una fibra excepcional en  $F$ ,  $\Omega$  una vecindad fibrada de  $C_1$ ,  $\Pi_1$  la frontera de  $\Omega$ ,  $M_1$  un meridiano sobre  $\Pi_1$ ,  $Q$  una curva cruzada y  $H$  una fibra sobre  $\Pi_1$ , entonces

$$M_1 \sim \alpha Q + \beta H \quad (\text{sobre } \Pi_1) \quad (1)$$

Usando las formulas (1)-(4) de § 1,

$$H \sim \epsilon_1 H_1, \quad Q \sim \epsilon_4 Q_1 + \gamma H_1 \quad (2)$$

podemos elegir una nueva curva cruzada  $Q_1$  y una fibra  $H_1$  sobre  $\Pi_1$  tales que

$$M_1 \sim \alpha_1 Q_1 + \beta_1 H_1 \quad (3)$$

con  $\alpha_1 > 1$ ,  $0 < \beta_1 \leq \frac{1}{2} \alpha_1$ .

Porque la primera condición determina a  $E_1$ . Eligiendo  $a$  y adecuadamente reducimos a  $\beta_1$  al intervalo  $[\frac{1}{2}\alpha_1, \frac{1}{2}\alpha_1]$  y, finalmente, elegimos a  $E_1$ . Como no hay orientación sobre  $\Pi_1$  determinada por  $F$  (porque  $F$  es no orientable),

$E_1$  y  $E_4$  se pueden elegir independientemente (compárese con el caso orientable). Se tiene que  $\alpha_1$  y  $\beta_1$  están determinados de manera única por  $\Omega_1$  y por tanto por  $C_1$ .

Argumentando de manera similar a la demostración del lema 6, tenemos que, si  $\alpha_1 > 2$ ,  $Q_1$  y  $H_1$  están determinados de manera única por  $\Omega_1$  salvo cambio simultáneo de su orientación, lo que está permitido porque la orientación de  $M_1$  no está dada por  $\Omega_1$ .

Pero para  $\alpha_1 = 2$ , junto con  $Q_1$  y  $H_1$ , existe otro sistema

$$Q'_1 \sim Q_1 + H_1, \quad H'_1 \sim -H_1 \quad (4)$$

en el que  $M_1$  también aparece en la forma normalizada (3):

$$M_1 \sim 2Q' + H_1' \quad (5)$$

Si  $\alpha_i > 2$ , removemos  $\Omega_i$  y lo reemplazamos por un toro sólido ordinario  $V_i$  que tiene a  $Q_i$  como su meridiano y hacemos lo mismo con todas las fibras de multiplicidad mayor que 2.

Esto determina de manera única a un espacio fibrado no orientable  $F_s$  que tiene solo  $s$  fibras excepcionales de multiplicidad 2 ( $s \geq 0$ ). Para investigar a  $F_s$  necesitamos el:

Lema 7 Un espacio fibrado no orientable  $\bar{F}$  con frontera que se obtiene de un espacio fibrado (cerrado) removiendo un número finito de fibras excepcionales admite un

autohomeomorfismo que preserva fibras y que deja fijos puntualmente a los toros frontera, excepto por uno  $\bar{\Pi}$ .

Sobre  $\bar{\Pi}$  una curva cruzada dada  $Q$  se mapea a una curva cruzada de la forma

$$Q' \sim (Q + 2zH) \text{ o } Q' \sim -(Q + 2zH) \quad (6)$$

donde  $z$  es un entero arbitrario y  $H$  es una fibra sobre  $\bar{\Pi}$ . Además, se puede elegir el homeomorfismo de tal manera que preserve o que invierta la orientación sobre  $\bar{\Pi}$ .

Observación: El teorema no afirma que se puede escoger el signo en (6) arbitrariamente.

Dem. (a) Supongamos que  $z=0$ . Para encontrar un homeomorfismo que invierta la orientación, pegamos sobre  $\bar{\Pi}$  un toro sólido ordinario  $V$  que tiene a  $Q$  como su meridiano y obtenemos un espacio  $\bar{F} + V$ . Elegimos sobre  $\bar{F} + V$  una curva simple cerrada  $W$



basada en un punto  $P$  interior a  $V$  que es ajena de las fibras excepcionales y que invierte la orientación. Deformamos a  $\bar{F} + V$  (preservando fibras) de tal manera que  $P$  recorre a  $W$  y al final  $V$  se mapea sobre sí mismo.

Entonces  $V$  y por tanto  $\bar{\Pi}$  se mapea sobre sí mismo bajo un homeomorfismo que invierte la orientación que manda a  $Q$  en  $Q' \sim +Q$  o en  $Q' \sim -Q$ , dependiendo de si la orientación de las fibras se preserva o se cambia a lo largo de  $W$ .

Finalmente removemos a  $V$  para obtener el mapeo deseado de  $\bar{F}$ .

- (b). Por (a), existe un mapeo que preserve fibras de  $\bar{F}$  y que mapea a  $Q + zH$  en  $\pm(Q + zH)$ , porque  $Q + zH$  es una curva cruzada, y que invierte la orientación sobre  $\bar{\Pi}$ . Como  $Q \sim -zH + (Q + zH)$ , por tanto  $Q$  se mapea en  $Q' \sim \pm(Q + zH)$ .

Para obtener un mapeo que preserve orientación, componemos el ma-

peo anterior con un homeomorfismo de  $\bar{F}$  que envíe a  $Q'$  en  $\pm Q'$  y que invierta la orientación sobre  $\bar{\Pi}$ .

Usaremos el lema para mostrar que  $F_s$  está determinado de manera única por su clase y por  $s$ , si  $s \geq 0$ .

Removemos las  $s$  fibras excepcionales. El resultado  $\bar{F}_s$  está determinado por la clase de  $F_s$  (= la clase de  $F$ ) y por  $s$ , porque  $\bar{F}_s = \bar{F}_0$ , si  $s = 1$  o  $\bar{F}_s = (\bar{F}_0$  agujerado  $(s-1)$  veces).

De  $\bar{F}_s$  obtenemos a  $F_s$  cerrando con  $s$  toros sólidos de multiplicidad  $\mu=2$ . Este cerrado es independiente de como el toro sellador  $\Omega$  es pegado (preservando fibras) sobre la frontera  $\bar{\Pi}$  de  $\bar{F}_s$ .

En efecto. Si  $Q$  es una curva cruzada,  $H$  una fibra de  $\bar{\Pi}$  y  $M$  es un meridiano de  $\Omega$ , entonces

$$M \sim 2Q + yH \quad (\text{sobre } \bar{\Pi}).$$

Mostraremos que el resultado es independiente de  $y$ .

Como  $M$  es una curva simple cerrada, por tanto  $(2, y) = 1$ , es decir,  $y$  es impar. Si  $y \equiv 1 \pmod{4}$ , existe un homeomorfismo que preserva fibras de  $\bar{F}_S$  que deja fijas puntualmente a todas las componentes de la frontera de  $\bar{F}_S$ , a excepción de  $\bar{\Pi}$  y tal que  $\bar{\Pi}$  se mapea preservando orientación y  $Q$  se mapea en

$$Q' \sim \pm (Q + 2\left(\frac{1-y}{4}\right)H),$$

por tanto  $M$  se mapea en

$$M' \sim 2Q' + yH' \sim \pm(2Q + H)$$

por el lema 7.

Si  $y \equiv -1 \pmod{4}$  elegimos un mapeo que preserva fibras de  $\bar{F}_S$  que invierte la orientación sobre  $\bar{\Pi}$  y que envía a  $Q$  en

$$Q' \sim \pm (Q + 2\left(\frac{1+y}{4}\right)H),$$

Por tanto  $M$  va a

$$M' \sim \mathbb{Z}(2Q + H)$$

Luego en vez de

$$M \sim 2Q + 4H$$

podemos elegir a  $M' \sim \mathbb{Z}(2Q + H)$  como meridiano del toro sellador. Por tanto  $F_s$  depende solo de  $\bar{F}_0$  y de  $s$ .

Si  $s=0$ , obtenemos  $F_0$  de  $\bar{F}_0$  cerrando con un toro sólido ordinario que tiene a una curva cruzada  $Q$  sobre  $\Pi_0$  como meridiano. Sobre  $\Pi_0$  existen exactamente dos curvas cruzadas esencialmente distintas.

Porque, por el lema 7,  $Q$  se puede mapear a  $Q' \sim \mathbb{Z}(Q + 2zH)$  mediante un mapeo que preserva fibras de  $\bar{F}_0$ .

Por tanto, si  $Q_0$  es una curva cruzada de  $\Pi_0$ , por ejemplo  $Q_0 = \bar{F}_0 \cap \Pi_0$ , donde  $\bar{F}_0$  es la superficie de órbitas

encajada en  $\bar{F}_0$  tenemos solamente dos casos:  $Q \sim Q_0$  o  $Q \sim Q_0 + H$  (es decir, podemos mapear a  $Q$  en  $Q_0$  o en  $Q_0 + H$ ).

Si  $\bar{F}_0$  se puede encajar en  $\bar{F}_0$  de tal manera que  $\bar{F}_0 \cap \Pi_0 = Q_0$ , entonces  $\bar{F}_0$  no puede encajarse en  $\bar{F}_0$  de tal manera que  $\bar{F}_0 \cap \Pi_0 = Q_0 + H$ , y viceversa. (ver §5)

Luego las dos curvas cruzadas  $Q_0$  y  $Q_0 + H$  son esencialmente diferentes, i.e. no existe un homeomorfismo que preserve fibras de  $\bar{F}_0$  en sí mismo que envíe a  $Q_0$  en  $(Q_0 + H)$ . Por tanto los espacios fibrados  $F_0$  y  $F_0'$  obtenidos de  $\bar{F}_0$  tomando a  $Q_0$  y a  $Q_0 + H$ , respectivamente, como meridiano del toro sellador, son diferentes. Porque un homeomorfismo que preserve fibras  $F_0 \rightarrow F_0'$  podría deformarse de tal manera que los toros selladores y por tanto los meridianos de  $F_0$  y  $F_0'$

coincidieran; habría por tanto un mapeo que preserva fibras de  $\bar{F}_0$  que enviaría a  $Q_0$  en  $\pm(Q_0 + H)$ .

Los dos espacios  $F_0$  y  $\bar{F}_0$  están por tanto determinados por  $\bar{F}_0$  y por el número  $b=0$  o  $b=1$ .

Supongamos ahora que conocemos a  $F_s$  ( $s \geq 0$ ). Entonces  $F$  está determinado de manera única por

$$\alpha_i, \beta_i \quad (\alpha_i > 2, 0 < \beta_i < \frac{1}{2}\alpha_i)$$

$$i = s+1, \dots, r.$$

En efecto, removiendo  $r-s$  fibras ordinarias arbitrarias de  $F_s$ , existe una única curva cruzada (no orientada)  $Q_i$  sobre cada toro frontera  $\Pi_i$ , a saber, el meridiano  $M_i$  del toro sólido ordinario removido. Elijiendo una fibra orientada  $H_i$  sobre  $\Pi_i$ , el meridiano  $M_i$  del nue-

vo toro sellador está determinado por

$$M_i \sim \alpha_i Q_i + \beta_i H_i,$$

debido a la ecuación (3). Pero como la orientación de  $Q_i$  y de  $H_i$  es arbitraria, tenemos junto con  $M_i$  otro meridiano posible:

$$M_i \sim \alpha_i Q_i - \beta_i H_i.$$

Por el lema 7 existe un homeomorfismo que preserva fibras del espacio con frontera que deja a  $\Pi_j$  fijo puntualmente para  $j \neq i$  y que mapen a  $\Pi_i$  bajo un homeomorfismo que invierte orientación sobre sí mismo tal que  $Q_i \mapsto \pm Q_i$ . Entonces

$M_i \mapsto \pm M_i \sim \pm(\alpha Q_i - \beta H_i)$ . Por tanto no importa cual de los meridianos  $M_i$  o  $M_i$  se elige para el toro sellador. Por tanto  $F$  está determinado de manera única por

su clase y los números  $\alpha_i, \beta_i, s$  y  $b$ .

Enunciamos este resultado en el:

Teorema 8 Un espacio fibrado no orientable  $F$  está determinado de manera única por un sistema de invariantes

$$(N_0; p | b; \alpha_1, \beta_1, \dots; \alpha_s, \beta_s, \alpha_{s+1}, \beta_{s+1}, \dots; \alpha_r, \beta_r)$$

o bien

$$(N_{nI}; r | b; \alpha_1, \beta_1, \dots; \alpha_s, \beta_s, \alpha_{s+1}, \beta_{s+1}, \dots; \alpha_r, \beta_r)$$

o bien

$$(N_{nII}; r | b; \alpha_1, \beta_1, \dots; \alpha_s, \beta_s, \alpha_{s+1}, \beta_{s+1}, \dots; \alpha_r, \beta_r)$$

o bien

$$(N_{nIII}; r | b; \alpha_1, \beta_1, \dots; \alpha_s, \beta_s, \alpha_{s+1}, \beta_{s+1}, \dots; \alpha_r, \beta_r).$$

$N$  significa que  $F$  es no orientable;  $o$  (respec.  $n$ ) significa que la superficie de órbitas es orientable (respec. no orientable). Los números  $\alpha_i, \beta_i$  determinan las fibras excepcionales.  $\alpha_i = 2$  y  $\beta_i = 1$ .



para  $i \leq s$ , y  $\alpha_i > 2$  y  $0 < \beta_i < \frac{1}{2} \alpha_i$ .  
 para  $i > s$ ,  $b$  tiene significado solo si  $s=0$ . En este caso  $b=0$  o  $b=1$  y determina el cerrado del espacio clasificador  $\overline{F}_0$  a  $F_0$ . Si  $s > 0$ , entonces  $F$  está determinado sin especificar  $a$  o  $b$ , y  $b$  se omite del símbolo.

Ejemplo. Sea  $F$  un espacio fibrado no orientable con una fibra excepcional de multiplicidad 3, con  $\overline{F}_0$  determinado por  $Nu I; \mathbb{R}$ . Se tiene que  $\overline{F}_0 \cong (\text{la superficie no orientable de género } k \text{ agujerada}) \times S^1$ .

Obtenemos los dos espacios fibrados distintos:

$$(Nu I; \mathbb{R} | 0; 3, 1) \text{ y } (Nu I; \mathbb{R} | 1; 3, 1).$$

Pero añadiendo una fibra de multiplicidad 2, ambos espacios se convierten en el mismo:

$$(Nu I; \mathbb{R} | -; 2, 1; 3, 1).$$

## 9. Espacios Cubiertos.

Sea  $\tilde{F}$  un espacio cobriente de  $F$ ,  $p: \tilde{F} \rightarrow F$  la proyección.

Supongamos que  $F$  es un espacio fibrado,  $H$  una fibra de  $F$ . Sea  $\tilde{H}$  una componente de  $p^{-1}(H)$ . Como  $p$  es localmente un homeomorfismo,  $\tilde{H}$  es una 1-variedad sin frontera, por tanto  $\tilde{H} \cong S^1$  o  $\tilde{H} \cong \mathbb{R}^1$ .

Sea  $S$  la colección de todas las curvas  $\tilde{H}$ , para todas las fibras  $H$  de  $F$ . Investigaremos cuando  $S$  es una fibration para  $\tilde{F}$ .

Sea  $\Omega_C$  una vecindad fibrada de una fibra  $C$  de  $F$  y sea  $\tilde{\Omega}_C$  una componente de  $p^{-1}(\Omega_C)$ . Entonces  $\tilde{\Omega}_C$  consiste de curvas de  $S$  y contiene a la curva  $\tilde{C}$  (que es una componente de  $p^{-1}(C)$ ) en su interior.  $\tilde{\Omega}_C$  está

determinada por  $\Omega_C$  y por un entero  $\sigma$  (incluido  $\infty$ ) que denota a la multiplicidad del cubriente  $\tilde{\Omega}_C \rightarrow \Omega_C$ .

Por tanto  $\tilde{C} \rightarrow C$  es un cubriente de multiplicidad  $\sigma$ .

Si  $\sigma < \infty$ , entonces todas las curvas de  $\tilde{\Omega}_C$  son cerradas (esto porque claramente, si  $\sigma < \infty$  y  $K \subset \Omega_C$  es un compacto, entonces  $p^{-1}(K) \cap \tilde{\Omega}_C$  es un compacto); Si  $\sigma = \infty$ , entonces todas son abiertas. Por tanto cada curva de  $S$  tiene una vecindad que consiste totalmente de curvas abiertas o totalmente de curvas cerradas de  $S$ . Por tanto  $\tilde{F}$  es la unión de dos conjuntos abiertos ajenos: el conjunto de curvas cerradas de  $S$  y el conjunto de curvas abiertas.

Como  $\tilde{F}$  es conexo, uno de estos dos

conjuntos es vacío.

Luego  $S$  no puede contener curvas cerradas y abiertas a la vez.

Si (todas) las curvas de  $S$  son cerradas, entonces  $S$  es una fibration para  $\tilde{F}$ , porque un cubriente

finito de una vecindad fibrada  $\Omega_c$  es de nuevo un toro sólido fibrado.

De ahora en adelante supondremos que  $S$  es una fibration para  $\tilde{F}$ .

Como el cubriente  $\tilde{\Omega}_c \rightarrow \Omega_c$  está completamente determinado por el entero  $\sigma$ , podemos calcular los invariantes  $\tilde{\mu}$  y  $\tilde{\nu}$  de  $\tilde{\Omega}_c$  a partir de los invariantes  $\mu$  y  $\nu$  de  $\Omega_c$  y de  $\sigma$ .

Cortamos a  $\tilde{\Omega} \tilde{c}$  en un cilindro fibrado. Tenemos que identificar los discos tapa y fondo bajo una rotación de

$$2\pi \frac{\bar{v}}{\bar{\mu}} = 2\pi \frac{\nu}{\mu} \sigma = 2\pi \nu \frac{\sigma / (\mu, \sigma)}{\mu / (\mu, \sigma)}$$

$(\mu, \sigma)$  es el máximo común divisor de  $\mu$  y  $\sigma$ . Por tanto, por la definición de los números característicos

$$\bar{\mu} = \frac{\mu}{(\mu, \sigma)}, \quad \bar{v} \equiv \nu \frac{\sigma}{(\mu, \sigma)} \pmod{(\bar{\mu})} \quad (1)$$

Por tanto en el cilindro  $\tilde{\Omega} \tilde{c}$  existen  $\bar{\mu} = \frac{\mu}{(\mu, \sigma)}$  rectas paralelas que forman una fibra ordinaria de  $\tilde{\Omega} \tilde{c}$ . Por tanto cada fibra ordinaria de  $\Omega c$  está cubierta por

por  $(\mu, 0)$  fibras ordinarias de  $\tilde{\Omega}\tilde{c}$ , pero la fibra central  $C$  está cubierta por solo una fibra  $\tilde{C}$  de  $\tilde{\Omega}\tilde{c}$ . Por tanto  $p: \tilde{F} \rightarrow F$  induce un mapeo continuo  $\tilde{p}$  de la superficie de orbitas  $\tilde{f}$  de  $\tilde{F}$  sobre  $f$ . Si  $c$  y  $\tilde{c}$  son los puntos correspondientes de las fibras  $C$  y  $\tilde{C}$  respectivamente, entonces, si  $(\mu, 0) > 1$ , el cubriente  $\tilde{f} \rightarrow f$  está ramificado sobre  $c$  con índice de ramificación  $(\mu, 0)$ . Luego el índice de ramificación divide siempre a la multiplicidad de la fibra excepcional  $C$ . Por tanto solo puntos excepcionales pueden ser puntos de ramificación.

Como  $\tilde{\mu} = \mu$  por (1), el cobriente  $\tilde{C}$  de  $C$  es una fibra ordinaria si  $C$  es ordinaria. Pero si  $C$  es excepcional ( $\mu > 1$ ), entonces  $\tilde{C}$  puede ser o no fibra excepcional.

Por ejemplo, identificando dos toros sólidos fibrados congruente mente con una fibra excepcional de multiplicidad  $\alpha$ , a lo largo de sus fronteras de tal manera que puntos congruentes estén identificados, obtendremos un espacio fibrado con invariantes  $(0_0; 0|-1; \alpha, \beta; \alpha, \alpha-\beta)$ . Tomando el cobriente de multiplicidad  $\alpha$  de cada uno de los toros sólidos e identificando los pun-



tos equivalentes, obtenemos un cubriente  $\tilde{F} \rightarrow F$  de multiplicidad  $\alpha$  sin fibras excepcionales, porque los invariantes en (1) son  $\mu = \alpha$ ,  $\sigma = \alpha$  y por tanto  $\bar{\mu} = 1$  para ambas fibras (excepcionales).

Si  $\tilde{H}$  y  $\tilde{H}'$  son dos fibras de  $\tilde{F}$  que cubren a dos fibras ordinarias  $H$  y  $H'$   $p$  y  $p'$  veces respectivamente, entonces  $p = p'$ . Porque uniendo a  $\tilde{H}$  y  $\tilde{H}'$  en  $\tilde{F}$  por una trayectoria cuya proyección en  $F$  no pasa por fibras excepcionales, como en una vecindad fibrada (suficientemente pequeña) de una fibra ordinaria, la multiplicidad del cubriente no cambia, ésta permanece

constante a lo largo de toda la trayectoria.

El cubriente universal  $\widehat{F}$  de  $F$  es un espacio fibrado si y solo si para una fibra  $H$  de  $F$ , una componente  $\widehat{H}$  de  $p^{-1}(H)$  es cerrada.

Entonces  $H$  está cubierta  $p$  veces por  $\widehat{H}$ ,  $p < \infty$ . Como  $\widehat{H} \simeq 0$  en  $\widehat{F}$  (porque es simplemente conexo),

$H^p \simeq 0$  en  $F$ . Por tanto

$\widehat{F}$  es un espacio fibrado si y solo si un múltiplo finito de alguna fibra de  $F$  es homotópico a cero en  $F$ .

Claramente si esto se cumple para una sola fibra  $H$ , se cumple para todas las fibras de  $F$ .

Teorema Sea  $M$  una variedad, entonces existe un cubriente doble  $\tilde{M} \rightarrow M$  tal que  $\tilde{M}$  es orientable.

Dem. Se omite.

Sea  $F$  un espacio fibrado no orientable y  $\tilde{F} \xrightarrow{p} F$  el cubriente doble orientable de  $F$ . Cualquier fibra  $H$  de  $F$  preserva orientación, porque  $H$  posee una vecindad (fibrada) homeomorfa a  $\mathbb{R} \times$  un toro sólido. Por tanto  $H$  se levanta a dos curvas cerradas  $\tilde{H}$  y  $\tilde{H}'$ , luego  $\tilde{F}$  es espacio fibrado y  $\sigma = 1$ . Por tanto  $p|_{\tilde{H}}: \tilde{H} \rightarrow H$  es un homeomorfismo que preserva fibras. Sea  $T: \tilde{F} \rightarrow \tilde{F}$  la involución que preserva fibras (sin puntos fijos) y que es la traslación cubriente no trivial.  $T$  invierte la orientación de  $\tilde{F}$ .

Como  $p_* \pi_1(\tilde{F})$  tiene índice dos en  $\pi_1(F)$  y es, por tanto, normal,  $\tilde{F}$  es un cubriente regular de  $F$ .

Sea  $(\tilde{M}, \beta)$  un cubriente regular de  $M$ ,  $\tilde{M}$  es  $n$ -variedad conexa orientable y es tal que todas sus traslaciones cubrientes preservan la orientación.

Sea  $x \in M$  y sea  $U$  una vecindad de  $x$  tal que  $\beta$  restringido a cada componente de  $\beta^{-1}(U)$  es un homeomorfismo.

Sea  $\tilde{U}$  una componente de  $\beta^{-1}(U)$ ,  $\tilde{x} := \beta^{-1}(x) \cap \tilde{U}$ . Sea  $\tilde{\mu}_{\tilde{x}}$  una orientación local en  $\tilde{x}$ . Entonces  $\beta_*(\tilde{\mu}_{\tilde{x}}) = \mu_x$  es una orientación local en  $x$ . Sea  $\mu$  la función que a cada  $x \in M$  le asocia la orientación local  $\mu_x$  inducida por  $\beta$ .  $\mu_x$  no depende de la elección de la vecindad  $\tilde{U}$ , porque si  $\tilde{U}'$  es

otra componente de  $\beta^{-1}(U)$ , entonces existe una traslación cubriente  $t$ , tal que  $t\tilde{U} = \tilde{U}'$ ; como  $t$  preserva orientación y  $\beta_* t_* = \beta_*$ , por tanto la orientación local  $\mu_x$  de  $\pi$  inducida por  $U'$  y  $\beta$  coincide con  $\mu_x$  (inducida por  $U$  y  $\beta$ ).

La condición de continuidad de la orientación de  $\tilde{M}$  implica la continuidad de  $\mu$  para  $M$ .

Por tanto si  $\tilde{M}$  es orientable, entonces  $M$  es orientable.

En nuestro caso, como  $F$  es no orientable y solo hay dos traslaciones cubrientes de  $\tilde{F}$  y  $T \neq \text{id}$ , por tanto  $T$  invierte orientación.

Además  $T$  induce una involución sin puntos fijos de  $\tilde{f}$ .

Por ejemplo, sea  $F$  el espacio  
 $(N_0; p | b; \alpha_1, \beta_1; \dots; \alpha_r, \beta_r)$ . (2)

Entonces  $\tilde{F}$  tiene  $2r$  fibras excepcionales; si  $H$  es una fibra excepcional con invariantes  $\alpha_1, \beta_1$ , entonces  $H$  está cubierta por dos fibras excepcionales  $\tilde{H}$  y  $\tilde{H}'$  con invariantes  $\alpha_1, \beta_1$  y  $\alpha_1, \alpha_1 - \beta_1$  respectivamente (por el teorema 6). Esto porque  $T$  mapea a  $\tilde{H}$  en  $\tilde{H}'$  e invierte la orientación de  $\tilde{F}$ .

Como  $\tilde{f}$  es un cubriente doble de  $f$ , por tanto  $\tilde{F}$  es orientable de género  $2r-1$ . Por tanto  $\tilde{F}$  es el espacio

$$(O_0; 2r-1 | \tilde{b}; \alpha_1, \beta_1; \dots; \alpha_r, \beta_r) \alpha_1, \alpha_1 - \beta_1; \dots; \alpha_r, \alpha_r - \beta_r). \quad (3)$$

Como  $\bar{F}$  admite un homeomorfismo que preserva fibras y que invierte orientación, los invariantes de  $\bar{F}$  son los mismos si la orientación de  $\bar{F}$  se invierte. Por el teorema 6,  $\tilde{F}$  tiene los invariantes

$$(0_0; 2p-1(-2r-\tilde{b}), \alpha_1, \beta_1, \dots, \alpha_r, \alpha_r-\beta_r, \dots, \dots; \alpha_r, \alpha_r-\beta_r) \quad (4)$$

Para que (3) y (4) sean iguales, se debe tener que  $\tilde{b} = -2r - \tilde{b}$ ; por tanto  $\tilde{b} = -r$ , es independiente de  $b$ .

De manera similar, para los otros casos:

Sea  $\bar{F}$  el doble cubriente orientable de  $F$

$$\left\{ \begin{array}{l} F = (N_0; p | b; \alpha_1, \beta_1, \dots; \alpha_r, \beta_r) \\ \tilde{F} = (O_0; 2p-1 | -r; \alpha_1, \beta_1, \dots; \alpha_r, \beta_r, \dots \\ \quad ; \alpha_1, \alpha_1 - \beta_1, \dots; \alpha_r, \alpha_r - \beta_r). \end{array} \right.$$

$$\left\{ \begin{array}{l} F = (N_n I; R | b; \alpha_1, \beta_1, \dots; \alpha_r, \beta_r) \\ \tilde{F} = (O_0; R-1 | -r; \alpha_1, \beta_1, \dots; \alpha_r, \beta_r; \dots \\ \quad \dots; \alpha_1, \alpha_1 - \beta_1, \dots; \alpha_r, \alpha_r - \beta_r) \end{array} \right.$$

$$\left\{ \begin{array}{l} F = (N_n II; R | b; \alpha_1, \beta_1, \dots; \alpha_r, \beta_r) \\ \tilde{F} = (O_n; 2R-2 | -r; \alpha_1, \beta_1, \dots; \alpha_r, \beta_r; \dots \\ \quad \dots; \alpha_1, \alpha_1 - \beta_1, \dots; \alpha_r, \alpha_r - \beta_r) \end{array} \right.$$

$$\left\{ \begin{array}{l} F = (N_n III; R | b; \alpha_1, \beta_1, \dots; \alpha_r, \beta_r) \\ \tilde{F} = (O_n; 2R-2 | -r; \alpha_1, \beta_1, \dots; \alpha_r, \beta_r; \dots \\ \quad \dots; \alpha_1, \alpha_1 - \beta_1, \dots; \alpha_r, \alpha_r - \beta_r). \end{array} \right.$$



En los dos últimos casos la superficie de órbitas  $\tilde{F}$  es no orientable porque hay curvas de un solo lado sobre  $\tilde{F}$  a lo largo de las cuales la orientación de las fibras se invierte, i.e., que preservan orientación sobre  $F$ .

Sea  $F$  un espacio fibrado con superficie de órbitas  $f$ . Sea  $\tilde{f}$  un cubriente de  $f$ ,  $\tilde{p}$  un punto sobre un punto  $p \in f$  y  $P$  un punto de  $F$  que se mapea en  $p$ . Sea  $\tilde{F}$  la colección de las parejas  $(P, \tilde{p})$ . Una vecindad de un punto  $(P_0, \tilde{p}_0)$  consiste de todos los puntos  $(P, \tilde{p})$  donde  $P$  está en una vecindad de  $P_0$  y  $\tilde{p}$  en una vecindad de  $\tilde{p}_0$ .

Definimos  $g: \tilde{F} \rightarrow F$  como  $g(P, \tilde{p}) := P$ , entonces  $g: \tilde{F} \rightarrow F$  es un cubriente de  $F$ . La multiplicidad de este cubriente es la multiplicidad del cubriente  $\tilde{f} \rightarrow f$ .

Si un punto  $P \in F$  recorre una fibra  $H$ , entonces  $(P, \tilde{p})$ , para un  $\tilde{p}$  fijo, recorre a la curva  $\tilde{H}$  que se proyecta uno a uno sobre  $H$ .

Por tanto  $\tilde{F}$  es un espacio fibrado y una vecindad fibrada  $\tilde{\Omega}_H$  en  $\tilde{F}$  se mapea sobre  $\Omega_H$  bajo un homeomorfismo que preserva fibras.

Por ejemplo, sea  $F$  el espacio orientable  $(O_n; i, b; \alpha, \beta, \dots, \gamma, \beta_r)$  con superficie de órbitas el plano proyectivo. Sea  $\tilde{F}$  la 2-estera. Entonces  $\tilde{F}$  es orientable (porque  $F$  lo es) y por tanto  $\tilde{F}$  es de clase  $(0_0; 0)$ . Orientando a  $\tilde{F}$  de tal manera que  $g: \tilde{F} \rightarrow F$  preserve orientación, las vecindades  $\tilde{\Omega}_H$  y  $\tilde{\Omega}_H'$  se mapean a la misma  $\Omega_H$  preservando orientación, y por tanto a la fibra excepcional con invariantes  $\alpha, \beta$ , le corresponden en

$\tilde{F}$  dos fibras excepcionales, ambas con invariantes  $\alpha, \beta$ .

Removiendo las fibras excepcionales de  $F$  y sellando con toros sólidos ordinarios y haciendo lo mismo en  $\tilde{F}$ , obtenemos a  $F_0$  y  $\tilde{F}_0$  sin fibras excepcionales. Como  $\tilde{F}_0$  es una doble cubierta de  $F_0$ , por tanto  $\tilde{b} = 2b$ .

Por tanto

$$\tilde{F} = (0_0; 0 | 2b; \alpha_1, \beta_1; \dots; \alpha_r, \beta_r; \alpha_1, \beta_1; \dots; \alpha_r, \beta_r).$$

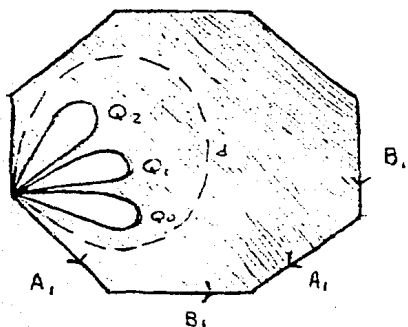
10. Grupo Fundamental.

Sea  $\bar{F}_0$  el espacio clasificador de un espacio fibrado  $F$ .

Cortamos a  $\bar{F}_0$  en un prisma fibrado ahuecado (como en § 5) pero de tal manera que el agujero toque al prisma a lo largo de la arista (una fibra)  $H$ . De manera similar removemos a los  $r$  toros sólidos ordinarios  $V_1, \dots, V_r$  (que deben

reemplazarse por toros excepcionales) de tal manera que toquen a  $H$ .

Entonces los  $r+1$  toros frontera  $\Pi_0, \Pi_1, \dots, \Pi_r$  interseca a la superficie



fondo en las curvas cruzadas  $Q_0, Q_1, \dots, Q_r$  (ver figura para  $p=2, r=2$ )

Sea  $\bar{F}_0 := \bar{F}_0 - \text{int}(V_1 \cup \dots \cup V_r)$

1er caso: La superficie de órbitas es orientable de género  $p \geq 0$ .

Sea  $D$  un toro fibrado en  $\bar{F}_0$  que tiene a  $H$  como arista, intersecta a la superficie foudo en la curva cruzada  $d$  y separa a los toros  $\Pi_0, \Pi_1, \dots, \Pi_r$  de las superficies que se proyectan en las aristas  $A_1, B_1, \dots, 4p, B_p$ .

Entonces  $D$  separa a  $\bar{F}_0$  en un toro sólido anudado  $X_1$  que contiene a los toros  $\Pi_0, \Pi_1, \dots, \Pi_r$  y en un espacio  $X_2$  tal que  $X_1 \cap X_2 = D$ .

Podemos pensar en  $X_1$  y  $X_2$  un "poco engordados" de tal manera que  $\bar{F}_0 = \text{int } X_1 \cup \text{int } X_2$  y  $X_1 \cap X_2$  es un abierto de  $\bar{F}_0$  que contiene  $d$  y que es del mismo tipo de homotopía que  $D$ .

Ahora:  $X_1$  es del mismo tipo de homotopía que  $\Pi_0, \Pi_1, \dots, \Pi_r$  pegados a lo largo de  $H$ , por tanto:

$$\pi_1(X_1) = \langle Q_0, Q_1, \dots, Q_r : Q_i H Q_i^{-1} = H \ (i=0, \dots, r) \rangle;$$

$X_2$  es del mismo tipo de homotopía que la unión de las superficies que se proyectan en  $A_1, B_1, \dots, A_p, B_p$  pegadas a lo largo de  $H$ .

La superficie que se proyecta en  $A_i$  (en  $B_i$ ) es un toro o una botella de Klein dependiendo de si la orientación de las fibras se preserva o se invierte a lo largo de  $A_i$  ( $B_i$ ), por tanto:

$$\pi_1(X_2) = \langle A_1, B_1, \dots, A_p, B_p, H :$$

$$A_i H A_i^{-1} = H^{\epsilon_i}, B_i H B_i^{-1} = H^{\epsilon_i}$$

$$(i=1, \dots, p; \epsilon_i, \epsilon_i = \pm 1) \rangle$$

donde  $\epsilon_i, (\epsilon_i) = +1$  o  $-1$  dependiendo de si la orientación de las fibras



se preserva o se invierte a lo largo de  $A_i$  ( $B_i$ ).

Como

$$\pi_1(x_1, \cap x_2) \cong \pi_1(D) = \{d, H: d H d^{-1} = H\}$$

y como  $d \simeq Q_0 Q_1 \cdots Q_r$  en  $x_1$  y

$d \simeq A_1 B_1 A_1^{-1} B_1^{-1} \cdots A_p B_p A_p^{-1} B_p^{-1}$  en  $x_2$

por tanto (Tma. de Seifert-Van Kampen)

$$\pi_1(\overline{F}_0) = \pi_1(x_1 \cup x_2) = \{A_1, B_1, \dots, A_p, B_p, Q_0, Q_1, \dots, Q_r, H:$$

$$A_i H A_i^{-1} = H^{\epsilon_i}, \quad B_i H B_i^{-1} = H^{\epsilon_i}$$

$$(i = 1, \dots, p; \epsilon_i, \epsilon_2 = \pm 1)$$

$$Q_0 Q_1 \cdots Q_r = A_1 B_1 A_1^{-1} B_1^{-1} \cdots A_p B_p A_p^{-1} B_p^{-1}$$

$$Q_j H Q_j^{-1} = H \quad (j = 0, 1, \dots, r) \quad (1)$$

para  $p=0$  obtenemos las relaciones

$$Q_0 Q_1 \cdots Q_r = 1$$

$$Q_j H Q_j^{-1} = H \quad (j = 0, 1, \dots, r) \quad (2)$$

2do caso: La superficie de orbitas es no orientable de genero  $k$ .

De manera totalmente análoga al caso anterior obtenemos:

$$\pi_1(\bar{F}_0) = \langle A_1, \dots, A_r, Q_0, Q_1, \dots, Q_r, H \rangle$$

$$A_i H A_i^{-1} = H^{\epsilon_i} \quad (i=1, 2, \dots, r; \epsilon_i = \pm 1)$$

$$Q_0 Q_1 \dots Q_r = A_1^{-1} \dots A_r^{-1}$$

$$Q_j H Q_j^{-1} = H \quad (j=0, 1, \dots, r) \quad (3)$$

$\pi_1(F)$  se obtiene de  $\pi_1(\bar{F}_0)$  añadiendo  $r+1$  relaciones (de nuevo por Seifert-Van Kampen), que corresponden a los  $r+1$  toros selladores de los toros frontera  $\Pi_0, \Pi_1, \dots, \Pi_r$ . Estas son

$$Q_0 H^0 = Q_1^{-\alpha_1} H^{\beta_1} = \dots = Q_r^{-\alpha_r} H^{\beta_r} = 1 \quad (4)$$

Por ejemplo,  $Q_1^{-\alpha_1} H^{\beta_1} = 1$  significa que el meridiano  $M_1 \sim \alpha_1 Q_1 + \beta_1 H_1$  del toro sellador que pertenece a  $\Pi_1$  es nullo-

motópico en el toro sellador.

Por ejemplo el grupo fundamental del espacio  $(0, \infty) \times \prod_{j=1}^r (0, \infty) \times \prod_{j=1}^r (0, 2\pi)$  tiene las relaciones

$$Q_0 H^0 = Q_1^{-1} H^1 = \dots = Q_r^{-1} H^r = Q_0 Q_1 \dots Q_r = 1$$

$$Q_j H Q_j^{-1} = 1 \quad (j=0, 1, \dots, r). \quad (5)$$

Añadiendo las relaciones

$Q_0 = Q_1 = \dots = Q_r = H = 1$  obtenemos de  $\pi_1(F)$  el grupo  $\pi_1(f)$  de la superficie de órbitas  $f$ .

Geométricamente podemos ver esto como sigue: el mapeo proyección  $F \rightarrow f$  induce un epimorfismo  $\pi_1(F) \rightarrow \pi_1(f)$  y por tanto  $\pi_1(f)$  es un grupo cociente de  $\pi_1(F)$ . De manera análoga  $H_1(f)$  es un grupo cociente de  $H_1(F)$  (esto es cierto también para espacios fibrados abiertos).

Investigaremos los espacios fibrados con grupo fundamental finito.

Una condición necesaria para que el grupo fundamental de  $F$  sea finito, es que el grupo fundamental de la superficie de órbitas  $f$  sea finito, porque el último es cociente del primero. Por tanto  $f$  es una 2-esfera o un plano proyectivo.

Si  $f$  es una 2-esfera, entonces (5) son las relaciones del grupo fundamental de  $F$ . Añadiendo  $H=1$  (i.e., dividiendo entre el subgrupo normal generado por  $H$ ) obtenemos el grupo

$$G = \langle Q_1, \dots, Q_r : Q_1^{*1} = \dots = Q_r^{*r} = Q_1 \dots Q_r = 1 \rangle$$

Si  $r=1$ , tenemos

$$G = \langle Q_1 : Q_1^{*1} = Q_1 = 1 \rangle = \langle - : - \rangle$$

Si  $r=2$ , usando las equivalencias de presentaciones de Tietze, obtenemos

$$(\mathcal{Q}_1, \mathcal{Q}_2: \mathcal{Q}_1^{\alpha_1} = \mathcal{Q}_2^{\alpha_2} = \mathcal{Q}_1 \mathcal{Q}_2 = 1)$$

$$\uparrow \mathcal{Q}_1^{\alpha_2} \Leftrightarrow \text{consecuencia de } \mathcal{Q}_2^{\alpha_1} \text{ y } \mathcal{Q}_1 \mathcal{Q}_2$$

$$(\mathcal{Q}_1, \mathcal{Q}_2: \mathcal{Q}_1^{\alpha_1} = 1, \mathcal{Q}_2^{\alpha_2} = 1, \mathcal{Q}_1 = \mathcal{Q}_2^{-1}, \mathcal{Q}_1^{\alpha_2} = 1)$$

$$\uparrow \mathcal{Q}_2^{\alpha_2} \Leftrightarrow \text{consecuencia de } \mathcal{Q}_1^{\alpha_1} \text{ y } \mathcal{Q}_1 \mathcal{Q}_2$$

$$(\mathcal{Q}_1, \mathcal{Q}_2: \mathcal{Q}_1^{\alpha_1} = 1, \mathcal{Q}_1 = \mathcal{Q}_2^{-1}, \mathcal{Q}_1^{\alpha_2} = 1)$$

$$\uparrow \mathcal{Q}_2 \text{ está en términos de } \mathcal{Q}_1$$

$$(\mathcal{Q}_1: \mathcal{Q}_1^{\alpha_1} = \mathcal{Q}_1^{\alpha_2} = 1)$$

Por tanto, el grupo de (5) es cíclico (finito o infinito).

Si  $r > 3$ , entonces  $\bar{G} = \langle \mathcal{Q}_1, \mathcal{Q}_2, \mathcal{Q}_3, \mathcal{Q}_4: \mathcal{Q}_1^{\alpha_1} = \dots =$

$$= \mathcal{Q}_4^{\alpha_4} = \mathcal{Q}_1 \mathcal{Q}_2 \mathcal{Q}_3 \mathcal{Q}_4 = 1 \rangle \Leftrightarrow \text{cociente de } G, \text{ y}$$

se tienen las equivalencias de presentaciones siguientes:

$$(Q_1, Q_2, Q_3, Q_4: Q_1^{x_1} = Q_2^{x_2} = Q_3^{x_3} = Q_4^{x_4} = Q_1 Q_2 Q_3 Q_4 = 1)$$



$$(Q_1, Q_2, Q_3, Q_4: Q_1^{x_1} = Q_2^{x_2} = Q_3^{x_3} = 1, Q_4^{x_4} = 1, Q_4 = (Q_1 Q_2 Q_3)^{-1}, (Q_1 Q_2 Q_3)^{x_4} = 1)$$



$$(Q_1, Q_2, Q_3: Q_1^{x_1} = Q_2^{x_2} = Q_3^{x_3} = (Q_1 Q_2 Q_3)^{x_4} = 1)$$

Por tanto  $\bar{G} \cong (\mathbb{Z}_{x_1} * \mathbb{Z}_{x_2} * \mathbb{Z}_{x_3}) / \langle (z_1 z_2 z_3)^{x_4} \rangle$

donde  $z_i$  es el generador de  $\mathbb{Z}_{x_i}$ .

Como, por ejemplo, el elemento  $(z_1 z_2)^k$  es no trivial en  $\mathbb{Z}_{x_1} * \mathbb{Z}_{x_2} * \mathbb{Z}_{x_3}$  y no está en el subgrupo normal generado por  $(z_1 z_2 z_3)^{x_4}$  para cada  $k \in \mathbb{Z}$ , por tanto  $\bar{G}$  y consecuentemente  $G$  es infinito para  $r > 3$ . Luego el grupo (5) es infinito para  $r > 3$ .

El siguiente hecho se enuncia sin demostración:

"Para  $r=3$ , el grupo  $G$  es finito, solo si es un grupo platónico, i.e., solo si  $(\alpha_1, \alpha_2, \alpha_3)$  es una de las ternas  $(2, 2, n), (2, 3, 3), (2, 3, 4), (2, 3, 5)$  ( $n \geq 2$ ).

Para estas ternas también el grupo  $(5)$  es finito."

Si  $f$  es el plano proyectivo, entonces  $F$  es el espacio

$$(O_n; 1 | b; \alpha_1, \beta_1, \dots; \alpha_r, \beta_r) \quad (7)$$

porque una 3-variedad no orientable (cerrada) tiene grupo fundamental infinito.

El espacio (7) tiene una doble cubierta orientable, a saber

$$(O_0, 0 | 2b; \alpha_1, \beta_1; \dots; \alpha_r, \beta_r; \alpha_r, \beta_r)$$

Este espacio tiene grupo fundamental a menos que  $r=1$ .

Se sigue el:

Teorema 9 Un espacio fibrado  $F$  con grupo fundamental finito tiene al plano proyectivo o a la 2-esfera como superficie de órbitas. En el primer caso  $F$  tiene a lo más una fibra excepcional, en el segundo caso  $F$  tiene a lo más tres fibras excepcionales. Si  $F$  tiene tres fibras excepcionales, estas tienen que ser de multiplicidades  $(2, 2, n)$ ,  $(2, 3, 3)$ ,  $(2, 3, 4)$  o  $(2, 3, 5)$ .



## 11. Fibraciones de $S^3$ (Lista Completa).

Sea  $F$  un espacio fibrado tal que  $\pi_1(F) = 1$ . Por tanto su superficie de órbitas  $f$  es homeomorfa a  $S^2$  y  $F$  es el espacio

$$(0_0; 0 | b; \alpha_1, \beta_1; \dots; \alpha_r, \beta_r)$$

Por el teorema 9, una condición necesaria para que  $\pi_1(F)$  sea finito es que  $r \leq 3$ .

Para  $r=3$ , el grupo cociente (6) de  $\pi_1(F)$ , donde  $F$  es como en el teorema 9, es un grupo platónico y por tanto es no trivial. Luego si  $\pi_1(F) = 1$ , entonces  $r \leq 2$ .

Para  $r=0$ ,  $\pi_1(F) = |Q_0, H: Q_0 H^b = Q_0 = 1| = |H: H^b = 1|$ . Por tanto  $b = \pm 1$  y

$(0_0; 0 | 2)$  y  $(0_0; 0 | -1)$  son los únicos espacios fibrados sin fibras excepcionales. Por el teorema 6, éstos difieren únicamente por su orien-

fación y son fibraciones de  $S^3$  mediante círculos (curvas no acudadas) porque no hay fibras excepcionales.

Para  $r=1$ ,  $\pi_1(F) = |Q_0, Q_1, H: Q_0 H^3 = Q_0 Q_1 =$

$$= Q_1^{-1} H^3 = 1, Q_1 H Q_1^{-1} = H| =$$

$$= |Q_0, Q_1, H: H^3 = Q_0^{-1}, Q_1 = Q_0^{-1}, Q_1^{-1} H^3 = 1, Q_1 H Q_1^{-1} = H|$$

$$= |Q_1, H: H^3 = Q_1, H^3 \alpha_1 + \beta_1 = 1|$$

Por tanto,  $b\alpha_1 + \beta_1 = \pm 1$  es necesario y suficiente para que  $\pi_1(F) = 1$ .

Ahora bien,  $\alpha_1$  ( $\geq 2$ ) es arbitrario y para  $b, \beta_1$  hay dos soluciones  $b=0$  y  $\beta_1=1$  o  $b=-1$  y  $\beta_1=\alpha_1-1$ .

Los dos espacios  $(0_0; 0 | 0; \alpha_1, 1)$  y  $(0_0; 0 | -1; \alpha_1, \alpha_1-1)$  difieren solamente en su orientación (teorema 6) y por tanto solo hay un espacio fibrado simplemente conexo (salvo orientación) con una sola

fibra excepcional de orden  $\alpha_1$ . Este espacio es por tanto la fibración por curvas traza de  $S^3$  con valores  $m=1$ ,  $n=\alpha_1$ .

Para  $r=2$ ,  $\pi_1(F)$  es cíclico de orden  $|b\alpha_1\alpha_2 + \beta_1\alpha_2 + \beta_2\alpha_1|$ . La ecuación:

$$b\alpha_1\alpha_2 + \beta_1\alpha_2 + \beta_2\alpha_1 = \pm 1$$

tiene solución solo si  $(\alpha_1, \alpha_2) = 1$ . Pero para un par dado de primos relativos  $\alpha_1, \alpha_2$  ( $\geq 2$ ), hay exactamente dos soluciones para  $b, \beta_1, \beta_2$  donde  $0 < \beta_1 < \alpha_1$ ,  $0 < \beta_2 < \alpha_2$ . Los espacios correspondientes difieren solo en su orientación. Esto se probará en la siguiente sección para una  $r$  arbitraria.

Por tanto solo hay una fibración (salvo orientación) para una pa-

reja de fibras excepcionales de multiplicidades coprimas, lo que coincide con las fibricaciones de  $S^3$  descritas en §3. Se tiene el

Teorema 10 Un espacio fibrado cerrado simplemente conexo es  $S^3$ . Cual quier fibricación de  $S^3$  está determinada por dos enteros positivos primos relativos  $m$  y  $n$ . Para  $m=n=1$  no hay fibras excepcionales; si solo  $m$  (o  $n$ ) es 1, hay una fibra excepcional de orden  $n$  ( $m$ ). Si  $m$  y  $n$  son distintos de 1,  $m$  y  $n$  son las multiplicidades de las fibras excepcionales. Todas las fibricaciones de  $S^3$  coinciden con las del §3.

## 12. Espacios de Poincaré Fibrados.

Sea  $M$  un grupo abeliano finitamente presentado

$$M = \langle x_1, \dots, x_r; p_1, \dots, p_s \rangle.$$

Entonces cada relación es una combinación lineal de los generadores

$$p_i = a_{i1}x_1 + \dots + a_{ir}x_r \quad (a_{ij} \in \mathbb{Z})$$

y definimos la  $s \times r$ -matriz  $P = (a_{ij})$  como la matriz de presentación de  $M$  correspondiente a la presentación dada.

Esto es, los renglones de  $P$  son los coeficientes de las relaciones relativos a los generadores.

Conocer a  $P$  es lo mismo que conocer la presentación específica a la que corresponde. Por tanto  $P$  determina a  $M$  salvo isomorfismo de grupos abelianos.

El grupo presentado por una matriz dada  $P$  no cambia, salvo isomorfismo de grupos abelianos, al realizar cualquiera de las siguientes operaciones sobre  $P$ :

- (a) intercambiar dos renglones o dos columnas
- (b) sumar a cualquier renglón una combinación lineal de otros renglones
- (c) sumar a cualquier columna una combinación lineal de otras columnas
- (d) multiplicar una fila o una columna por  $-1$
- (e) reemplazar a  $P$  por la matriz

$$\begin{array}{cccc} 1 & ? & ? & ? \\ 0 & & & \\ 0 & & & \\ \vdots & & & \end{array} \left| \begin{array}{c} \\ \\ \\ \end{array} \right. P$$

- (f) el inverso de (e)



- (g) añadir un nuevo renglón que es una combinación lineal de renglones de  $P$
- (h) borrar un renglón que es una combinación lineal de otros renglones de  $P$ .

Las operaciones (a)-(d) corresponden a cambios de base.

Las operaciones (e)-(f) corresponden a equivalencias de presentaciones de Tietze:

- (e) corresponde a introducir un nuevo generador y una relación que lo define en términos de los generadores viejos; (f) corresponde a quitar un generador redundante; (g) y (h) corresponden a añadir o quitar relaciones redundantes.

Se enuncia la siguiente proposición (sin demostración) que es una adaptación del teorema de Tietze al caso presente.

Proposición Dos matrices con entradas en  $\mathbb{Z}$  representan a grupos abelianos isomorfos si y solo si, una se puede transformar en la otra mediante un número finito de aplicaciones de las operaciones  $(a) \rightarrow (h) +$

Determinaremos cuales espacios son espacios de Poincaré, esto es, cuales espacios tienen el primer grupo de homología trivial y que no son homeomorfos a  $S^3$ .

Si  $H_1(F) = 1$ , entonces  $H_1(f) = 1$ ; por tanto  $f \cong S^2$  y  $F$  es  $(0, 0] \times (\alpha_1, \beta_1) \times \dots \times (\alpha_r, \beta_r)$ .

$H_1(F)$  es la abelianización de  $\pi_1(F)$  y tiene los  $r+2$  generadores

$$Q_0, Q_1, \dots, Q_r, H$$

y además de ser conmutativo, tiene las relaciones

$$Q_0 H^0 = Q_1^{\alpha_1} H^{\beta_1} = \dots = Q_r^{\alpha_r} H^{\beta_r} = Q_0 Q_1 \dots Q_r = 1$$

En notación aditiva

$$\begin{array}{rcl} Q_0 & + bH & = 0 \\ \alpha_1 Q_1 & + \beta_1 H & = 0 \\ & \vdots & \\ & \alpha_r Q_r + \beta_r H & = 0 \\ Q_0 + Q_1 + \dots + Q_r & & = 0 \end{array} \quad (1)$$

Sea  $P$  la matriz de presentación de  $H_1(F)$  correspondiente a la presentación anterior. Entonces  $P$  es una matriz cuadrada de tamaño  $(r+2) \times (r+2)$ .

Si  $H_1(F) = 1$ , entonces podemos transformar a  $P$  mediante las operaciones

(a) - (f) en la matriz identidad de tamaño  $r+2$ . En otras palabras,  $P$  es invertible en  $\mathbb{Z}$ , lo que es equivalente a que

$$\Delta = \det \begin{pmatrix} 1 & 0 & \dots & 0 & b_1 \\ 0 & \alpha_1 & \dots & 0 & \beta_1 \\ \vdots & \vdots & & & \vdots \\ \vdots & \vdots & & & \vdots \\ 0 & 0 & \dots & \alpha_r & \beta_r \\ 1 & 1 & \dots & 1 & 0 \end{pmatrix} = \pm 1 \quad (2)$$

Obtenemos la ecuación:

$$\Delta = b_1 \alpha_1 \dots \alpha_r + \beta_1 \alpha_2 \dots \alpha_r + \alpha_1 \beta_2 \alpha_3 \dots \alpha_r + \dots + \alpha_1 \alpha_2 \dots \alpha_{r-1} \beta_r = E \quad (E = \pm 1) \quad (3)$$

Si invertimos la orientación de  $F$ , i.e., si consideramos  $(0_0; 0_{1-r-b}; \alpha_1, \alpha_1 - \beta_1; \dots; \alpha_r, \alpha_r - \beta_r)$ , obtenemos el determinante  $\Delta' = -\Delta$ . Por tanto  $\varepsilon (= \pm 1)$  determina la orientación de  $F$ .

Para resolver (3) con  $\varepsilon = 1$ , suponemos dados a  $\alpha_1, \dots, \alpha_r$  ( $\geq 2$ ) y trataremos de resolver para  $b, \beta_1, \dots, \beta_r$ .

Para  $r=0$  y  $r=1$  obtenemos  $b=1$  y  $b\alpha_1 + \beta_1 = 1$  que se discutieron en la sección anterior.

Podemos suponer por tanto que  $r \geq 2$ . No existe solución de (3) si dos  $\alpha_i$  tienen un común divisor mayor que 1.

Supongamos por tanto que las  $\alpha_i$  son primos relativos dos a dos. Entonces

$$\text{m. c. d.} (\alpha_1 \dots \alpha_r, \alpha_2 \dots \alpha_r, \alpha_1 \alpha_3 \dots \alpha_r, \dots, \alpha_1 \alpha_2 \dots \alpha_{r-1}) = 1$$

Por tanto existe una solución  $b, \beta_1, \dots, \beta_r$  y  $(\beta_i, x_i) = 1$ ; de otra manera el lado derecho de (3) tendría un factor común distinto de 1.

Pero  $\beta_i$  no necesariamente satisface que  $0 < \beta_i < x_i$ .

Como  $b - x_i, \beta_1, \dots, \beta_i + x_i, \dots, \beta_r$  también es solución de (3), podemos por tanto normalizar a  $\beta_i$  para  $1 \leq i \leq r$ .

Esta solución normalizada es única, porque si  $b', \beta'_1, \dots, \beta'_r$  es otra solución normalizada de (3), entonces

$$(b-b')x_1 \dots x_r + (\beta_1 - \beta'_1)x_2 \dots x_r + \dots = 0$$

Esto implica que  $\beta_i - \beta'_i \equiv 0 \pmod{(x_i)}$ , por tanto  $\beta_i = \beta'_i$ .

Esta solución de (3) completa la demostración del teorema 11. Luego

para  $r=2$  los espacios fibrados con el primer grupo de homología trivial son homeomorfos a  $S^3$ . Para  $r \geq 2$  existen espacios de Poincaré, porque por el teorema II una fibration de  $S^3$  tiene a lo más dos fibras excepcionales. Se sigue el

Teorema II Un espacio fibrado de Poincaré ( $\neq S^3$ ) tiene al menos tres fibras excepcionales; sus multiplicidades  $x_1, \dots, x_r$  son primas relativas dos a dos. Recíprocamente, para cualquier  $r \geq 3$  enteros primos relativos dos a dos  $\geq 2$ , existe un único espacio fibrado de Poincaré que tiene  $r$  fibras excepcionales con las multiplicidades dadas.

13. Construcción de Espacios  
de Poincaré a partir de  
Núcleos Toroidales.



Sea  $k$  un nodo en  $S^3$ ,  $V$  una vecindad de  $k$  tal que  $V \cong D^2 \times S^1$ ; sea  $A = \overline{S^3 - V}$ ,  $\Pi = \partial A$ .

Se tiene la sucesión exacta (Mayer-Vietoris)

$$H_2(S^3) \rightarrow H_1(\Pi) \rightarrow H_1(A) \oplus H_1(V) \rightarrow H_1(S^3)$$

Como  $H_1(\Pi) \cong \mathbb{Z} \oplus \mathbb{Z}$ ,  $H_1(V) \cong \mathbb{Z}$  y

$H_1(S^3) \cong H_2(S^3) \cong 0$ , por tanto

$$H_1(A) \oplus \mathbb{Z} \cong \mathbb{Z} \oplus \mathbb{Z}$$

Luego  $H_1(A)$  es un grupo cíclico libre generado por un meridiano  $M$  de  $V$  sobre  $\Pi$ . Si  $B$  es una curva simple cerrada sobre  $\Pi$  que intersecciona a  $M$  en un punto,  $B \sim xM$  (en  $A$ ) y podemos suponer que  $x=0$  reemplazando a  $B$  (s. es necesario) por  $B - xM$ . Entonces  $B$  está determi-

nado de manera única pidiendo que  $M \cap B$  sea un punto y  $B \cap \partial A$  en  $A$  (salvo orientación y deformaciones de  $\Pi$ ).

Cerrando a  $A$  con un toro sellador  $V'$  que tiene como meridiano a

$$M' \sim M + \eta B \quad (\text{sobre } \Pi, \eta \neq 0) \quad (1)$$

obtenemos un espacio cerrado  $R = A \cup V'$  tal que  $H_1(R) = 0$ , porque el homomorfismo inducido por las inclusiones

$\Pi \hookrightarrow A, \Pi \hookrightarrow V'$  es tal que

$$H_1(\Pi) \longrightarrow H_1(A) \oplus H_1(V')$$

$$(1, 0) \longmapsto (1, 0)$$

$$(0, 1) \longmapsto (1, \eta)$$

y es por tanto un monomorfismo.

Como se tiene la sucesión exacta

$$H_1(\Pi) \longrightarrow H_1(A) \oplus H_1(V') \longrightarrow H_1(R) \longrightarrow 0$$

tenemos por tanto la sucesión exacta

$$0 \rightarrow H_1(R) \rightarrow 0$$

y por tanto  $H_1(R) = 0$ .

Supongamos ahora que  $R$  es un nudo torcido. Tales nudos son fibras ordinarias de las fibraciones de  $S^3$  dadas en la sección 3, que están caracterizadas por dos enteros primos relativos  $m$  y  $n$  ( $zn$ ).

Removemos la fibra ordinaria  $R$ .

Entonces una fibra  $H$  de  $M$  se puede deformar en  $n$  veces el eje  $z$  (después de proyectar estereográficamente como en §3) y como el eje  $z$  es homólogo a  $mM$  en  $A$  (con una orientación adecuada de  $M$ ), tenemos que  $H \sim mnM$  (en  $A$ ). Por tanto  $H - mnM \sim 0$ .

en  $A$ , i.e.,  $H = B$ . Por (1)  $M' \sim M + qB \sim$   
 $\sim (1 - qmn)M + qH$  sobre  $\Pi$ . Como  $M$  es  
 una curva cruzada sobre  $\Pi$ , el toro  
 sellador tiene una fibra de multi-  
 plicidad  $|qmn - 1|$ , porque  $m, n > 1$  (de  
 otra manera  $R$  estaría desanuda-  
 do y no obtendríamos un espacio  
 de Poincaré), luego  $|qmn - 1| \geq \max\{m, n\} >$   
 $> 1$ . Por tanto  $R$  es el espacio de  
 Poincaré con tres fibras excepcio-  
 nales de multiplicidad  $m, n$  y  
 $|qmn - 1|$ . Además como  $|q_1mn - 1| \neq$   
 $\neq |q_2mn - 1|$  si  $q_1 \neq q_2$ , por tanto dos  
 espacios de Poincaré obtenidos del  
 mismo nudo toroidal con diferen-  
 tes  $q$ 's no son homeomorfos.  
 Finalmente, dos espacios de Poin-  
 caré obtenidos de nudos toroi-

dales distintos nunca son homeomorfos. Porque si un espacio de Poincaré con fibras excepcionales  $\alpha_1 < \alpha_2 < \alpha_3$  se obtiene de un nudo toroidal, entónces solo puede ser el nudo  $m = \alpha_1$ ,  $n = \alpha_2$ , porque  $|7mn - 1| \geq \max\{n, m\}$ .

Esto implica de paso que dos nudos toroidales  $m, n$  y  $m', n'$  con  $m < n$  y  $m' < n'$  son equivalentes solo si  $m = m'$  y  $n = n'$ , porque solo en este caso coinciden los espacios de Poincaré que se construyen de ellos. Resumimos en el

Teorema 12. Un espacio de Poincaré se puede construir de un nudo toroidal si y solo si puede fibrase y la fibración tiene exac-

tamente tres fibras excepcionales de multiplicidades  $\alpha_1 < \alpha_2 < \alpha_3$ , donde  $\alpha_1, \alpha_2, \alpha_3$  son enteros primos relativos dos a dos ( $>1$ ) y  $\alpha_3 = |q\alpha_1\alpha_2 - 1|$  para algún  $q \in \mathbb{Z}$ .

Un espacio de Poincaré tal solo puede construirse de un nudo toroidal de manera única.

14. Espacios que no pueden  
Fibrarse.

Sea  $F$  un espacio fibrado (cerrado o abierto). Sea  $H$  una fibra ordinaria, o un punto de  $F$  y  $w$  una curva cerrada que empieza y termina en  $o$ . Trasladando a la fibra  $H$  a lo largo de  $w$ ,  $H$  regresa como  $H' = \pm H$ . Por tanto, como elementos del grupo fundamental de  $F$ ,  $w^{-1} H w = H^{\pm 1}$ . Por tanto si una 3-variedad  $M$  se puede fibrar, entonces  $\pi_1(M)$  debe contener un elemento  $H$  tal que para cada elemento  $w \in \pi_1(M)$ ,  $w^{-1} H w = H^{\epsilon(w)}$ , donde  $\epsilon(w) = \pm 1$ .

Esta es una condición no trivial, porque mostraremos que una fibra ordinaria  $H$  representa al elemento trivial del grupo si y solo si el es-



pacio fibrado es  $S^3$  o un espacio liente con una fibración que se puede describir explícitamente. En particular, si el grupo fundamental es infinito, entonces  $H$  es no trivial.

Teorema 14 Un espacio abierto simplemente conexo no puede fibrase.

Dem. Supongamos que  $F$  es un espacio abierto simplemente conexo con superficie de órbitas  $f$ . Entonces  $f \cong$  un disco abierto.

Caso (a)  $F$  no tiene fibras excepcionales.

Como  $\pi_1(F) = 1$ ,  $H$  es frontera de un disco con singularidades  $E$  contenido en  $F$ . La imagen de  $E$  sobre  $f$  es un disco con singularidades  $e$  que puede cubrirse con una vecindad

de orbitas  $w$  (porque  $f$  es abierto y simplemente conexo).  $E$  está, por tanto, contenido en la vecindad fibrada  $\Omega$  correspondiente a  $w$ , i.e.  $H \approx 0$  en el toro sólido  $\Omega$ , lo que es una contradicción.

Caso (b)  $F$  tiene al menos una fibra excepcional  $C$  de multiplicidad  $\alpha$  ( $\geq 1$ )

Removiendo a  $C$ , obtenemos un espacio  $\bar{F}$  cuya superficie de orbitas  $\bar{f}$  es un disco abierto agujerado. Usando, por ejemplo, la sucesión de Mayer-Vietoris para  $(F; \bar{F}, \text{vecindades de } C)$ , se tiene que  $H_1(\bar{F})$  es libre de rango 1, generado por un meridiano  $M$  del toro sólido removido que se mapea  $\alpha$  veces sobre la curva frontera  $\partial$  de  $\bar{f}$ ,  $\alpha \geq 2$ . El mapeo proyección  $\bar{F} \rightarrow \bar{f}$  induce un epi-

morfismo  $H_1(\bar{F}) \rightarrow H_1(\bar{f})$ . Como  $H_1(\bar{f})$  es cíclico infinito,  $M$  se debe mapear a un generador  $\pm l$  de  $H_1(\bar{f})$ ; pero  $M \mapsto \alpha l$  y  $\alpha > 1$ , lo que es una contradicción.  $\dagger$

El teorema anterior implica que  $\mathbb{R}^3$  no puede fibrase. Proyectando estereográficamente una fibración de  $S^3$  en el espacio euclideo, el último se llena de curvas que parecen una fibración; solo una curva, el eje  $z$ , no es cerrada.

Teorema 15 Si en un espacio fibrado  $F$ , una fibra  $H$  o un múltiplo finito de  $H$  es homotópico a 0, entonces  $F$  es cerrado y  $\pi_1(F)$  es finito.

Dem. El cubriente universal  $\tilde{F}$  de  $F$  es un espacio fibrado (§9) que es

Cerrado por el teorema anterior (por tanto  $\tilde{F} \cong S^2$ ) y por tanto el cubriente  $\tilde{F} \rightarrow F$  tiene un número finito de hojas.

Teorema 10 Si  $F$  es un espacio fibrado (cerrado o abierto) en el que una fibra ordinaria es homotópica a  $0$ , entonces  $F$  es un espacio leute. Cualquier espacio leute admite una fibration tal.

Dem. Por el teorema anterior  $\pi_1(F)$  es finito. Aplicamos el teorema 9.

Si  $f \cong S^2$  y  $F$  tiene tres fibras excepcionales, entonces

$$\pi_1(F) = \langle Q_0, Q_1, Q_2, Q_3, H: Q_0 H Q_0^{-1} = Q_1^{-1} H Q_1^{-1}, \\ Q_0 Q_1 Q_2 Q_3 = 1, Q_3 H Q_3^{-1} = H \rangle \quad (1)$$

$(\alpha_1, \alpha_2, \alpha_3)$  es una de las ternas platónicas. Eliminando a  $Q_0$  e incluyendo la relación  $H^2=1$ , obtenemos un grupo cociente con relaciones

$$\bar{Q}_i^{\alpha_i} \bar{H}^{\delta_i} = \bar{Q}_1 \bar{Q}_2 \bar{Q}_3 \bar{H}^{\delta_4} = \bar{H}^2 = 1$$

$$\bar{Q}_i \bar{H} \bar{Q}_i^{-1} = \bar{H} \quad (i=1,2,3) \quad (2)$$

$\delta_1, \delta_2, \delta_3, \delta_4$  son 0 o 1 dependiendo de si  $\beta_1, \beta_2, \beta_3, b$  son pares e impares respectivamente. Tomando nuevos generadores, podemos suponer siempre que  $\delta_1 = \delta_2 = \delta_3 = 1$  y  $\delta_4 = 0$ , porque en las ternas platónicas  $(\alpha_1, \alpha_2, \alpha_3)$ , algún exponente, digamos  $\alpha_2 = 2$ ; entonces  $\beta_2 = 1$  ( $0 < \beta_i < \alpha_i$ ); por tanto  $\delta_2 = 1$ . Si  $\alpha_1$  es impar,  $\beta_1$  podría ser par y  $\delta_1 = 0$ .

En este caso tomamos como nue-

vo generador a  $Q_1'$  definido por  $\bar{Q}_1 = Q_1' \bar{H}$ . La relación  $\bar{Q}_1^{\alpha_1} \bar{H}^{\beta_1} = 1$  se convierte en  $Q_1'^{\alpha_1} \bar{H}^{\alpha_1 + \beta_1} = 1$  y  $\alpha_1 + \beta_1$  es impar, por tanto  $\bar{H}^{\alpha_1 + \beta_1} = \bar{H}$ . Por tanto s.p.g.  $\delta_1 = \delta_2 = \delta_3 = 1$ . Si  $\delta_4 = 1$ , definimos a  $Q_2'$  por  $\bar{Q}_2 = Q_2' \bar{H}$ . Entonces  $\delta_4 = 0$  y como  $\alpha_2 = 2$ , las otras relaciones no cambian. Por tanto

$$Q_1'^{\alpha_1} = Q_2'^{\alpha_2} = Q_3'^{\alpha_3} = \bar{H}$$

$$Q_1' Q_2' Q_3' = 1, \quad \bar{H}^2 = 1 \quad (3)$$

Los grupos definidos por estas relaciones son (para las ternas platónicas) los grupos platónicos binarios.  $\bar{H}$  tiene orden 2, de lo contrario, el grupo definido por (3) es el mismo que

$$|x_2, x_3: (x_2 x_3)^{\alpha_1} = x_2^{\alpha_2} = x_3^{\alpha_3} = 1|$$

Y en este último, el elemento  $x_3 x_2$  no tiene orden finito.

Por tanto  $H$  no tiene orden 1 en  $\pi_1(F)$ , luego  $H \neq 0$  en  $F$ .

Si  $f \cong P^2$ , entonces  $r=1$  o  $r=0$ .

Para  $r=1$ ,  $\pi_1(F)$  tiene las relaciones

$$A H A^{-1} H = 1, Q_0 Q_1 = A^2, Q_j H Q_j^{-1} = H \quad (j=0, \dots)$$

$$Q_0 H^p = 1 = Q_0^{-1} H^p. \quad (*)$$

Eliminando a  $Q_0$  y añadiendo la relación  $H^2=1$ , obtenemos un grupo cociente con relaciones:

$$\bar{A}^2 \bar{Q}_1^{-1} \bar{H}^{\delta_1} = \bar{Q}_1^{-1} \bar{H}^{\delta_2} = 1, \bar{H}^2 = 1,$$

$$\bar{A} \bar{H} \bar{A}^{-1} = H, \bar{Q}_1 \bar{H} \bar{Q}_1^{-1} = \bar{H}.$$

Eliminando a  $\bar{Q}_1$ , obtenemos el grupo abeliano con relaciones

$$\bar{H}^2 = 1, \quad \bar{A}^{2\alpha_1} \bar{H}^{\delta_1} = 1$$

donde  $S_1, S_2$  y  $S_3$  son  $0$  o  $1$ . En este grupo abeliano  $\bar{H}$  no tiene orden  $1$ ; por tanto  $H \neq 0$  en  $F$ .

Si  $r=0$ , tenemos  $\alpha_1=1$  y obtenemos el mismo resultado

El caso restante es que  $f \cong S^2$  y  $F$  tiene a lo más dos fibras excepcionales.

Descomponemos a  $f$  en dos discos cada uno teniendo a lo más un punto excepcional. Esto corresponde a una descomposición de  $F$  en dos toros sólidos  $V_1, V_2$ .

Por tanto  $F$  es un espacio leute o  $S^2 \times S^1$ .  $F \neq S^2 \times S^1$  porque una fibra en  $S^2 \times S^1$  no es homotópica a  $0$ .



Teorema 17 Si una variedad (abierta o cerrada)  $M$  no simplemente conexa se puede fibrar, entonces  $\pi_1(M)$  tiene un elemento  $H \neq 1$  tal que  $w^{-1} H w = H^{\epsilon(w)}$ ,  $\epsilon(w) = \pm 1$  para cada  $w \in \pi_1(M)$ .

Dem. Si una fibra  $H = 1$  en  $\pi_1(M)$ , entonces  $M$  es un espacio simplemente conexo; si una fibra  $H \neq 1$  en  $\pi_1(M)$ , el resultado se sigue del primer párrafo de esta sección. +

Sean  $RA$  y  $RB$  dos 3-variedades. La suma conexa de  $RA$  y  $RB$ , denotada como  $RA \# RB$ , se obtiene removiendo de cada una una 3-bola y pegando las dos 2-esteras resultantes.

Si  $A$  y  $B$  son los grupos fundamentalles de  $RA$  y  $RB$ , entouces el grupo fundamental de  $RA \# RB$  es, por el teorema de Seifert-Van Kampen, el producto libre  $A * B$  de  $A$  y  $B$ .

Cada elemento de  $A * B$ , que no es el elemento identidad, se puede reducir a una forma normalizada, en la que los terminos de  $A$  y de  $B$  diferentes de la identidad se alternan. Dos elementos del producto libre son iguales si y solo si sus formas normalizadas coinciden. Por ejemplo,

$$A_1 B_1 A_2 B_{j_2} \cdots A_r B_{j_r} = A_1' B_1' A_2' B_{j_2}' \cdots A_r' B_{j_r}'$$

si y solo si.

$$s=r \quad \text{y} \quad A_i = A_i', B_j = B_j', \dots, A_r = A_r', B_j = B_j'$$

Lema 3 Si  $A$  y  $B$  son grupos no triviales, entonces el producto libre  $A * B$  tiene un elemento  $H$  como en el teorema anterior si y solo si  $A$  y  $B$  tienen orden 2.

Dem Supongamos que  $A$  y  $B$  tienen orden 2, sean  $x \in A - \{1\}$  y  $y \in B - \{1\}$ ,

$$\text{entonces } x(xy)x^{-1} = yx^{-1} = (xy)^{-1}$$

$$\text{y } y(xy)y^{-1} = yx = (xy)^{-1}, \text{ por tanto}$$

$$\text{para cada } w \in A * B, \quad w(xy)w^{-1} = (xy)^{e(w)}$$

$$\text{con } e(w) = \pm 1.$$

Supongamos que existe un elemento  $H \in A * B$  con la propiedad de que

$$wHw^{-1} = H^{-1}, \text{ por tanto } H \notin A \text{ y } H \notin B,$$

porque si  $w \in B$ , ent.  $wHw^{-1} = H^{-1}$  no

puede ser un elemento de  $A$ .

De manera similar  $H \notin B$ .

Como  $H \notin A$ , entonces  $H$  no conmuta con ningún elemento no trivial de  $A$ , porque, por ejemplo,  $aHa^{-1}$  no tiene la misma forma normalizada que  $H$ .

Por tanto para  $a \in A - \{1\}$ ,  $aHa^{-1} = H^{-1}$ .

Si  $a' \in A - \{1\}$ , entonces  $a'Ha'^{-1} = H^{-1}$ ,

por tanto  $a'^{-1}aHa^{-1}a' = H$ , luego,

$a^{-1}a' = 1$ . Por tanto cada elemento

$a' \neq 1$  de  $A$  es  $a^{-1}$ , en particular  $a = a^{-1}$ ,

i.e.  $A = \mathbb{Z}_2(a)$ . Lo mismo se cumple

para  $B$ . +

Se tiene el

Teorema 18 La suma conexa de dos 3-variedades no simplemente conexas puede fibrase si y solo si ambas variedades tienen grupo fundamental de orden 2.

## BIBLIOGRAFIA

1. H. Seifert, "Topology of 3-dimensional fibered spaces", Acta Math. 60 (1933), 147-283
2. D.B.A. Epstein, "Curves on 2-manifolds and isotopies", Acta Math. 115 (1966), 83-107.
3. B. Gray, "Homotopy theory", Academic Press, New York, 1975
4. J. Hempel, "3-manifolds", Ann. of Math Studies 86, University Press, New Jersey, 1976
5. W. Massey, "Introducció a la topologia algebraica", Reverté, Barcelona, 1972
6. W. Massey, "Singular homology theory", Springer Verlag, New York, 1980.

7. E. Moise, "Geometric topology in dimensions 2 and 3", Springer Verlag, New York, 1977.
8. M. H. A. Newman, "Elements of the topology of plane sets of points", University Press, Cambridge, 1951.
9. D. Rolfsen, "Knots and Links", Publish or Perish, Berkeley, 1976.
10. J. Vick, "Homology theory", Academic Press, New York, 1973.